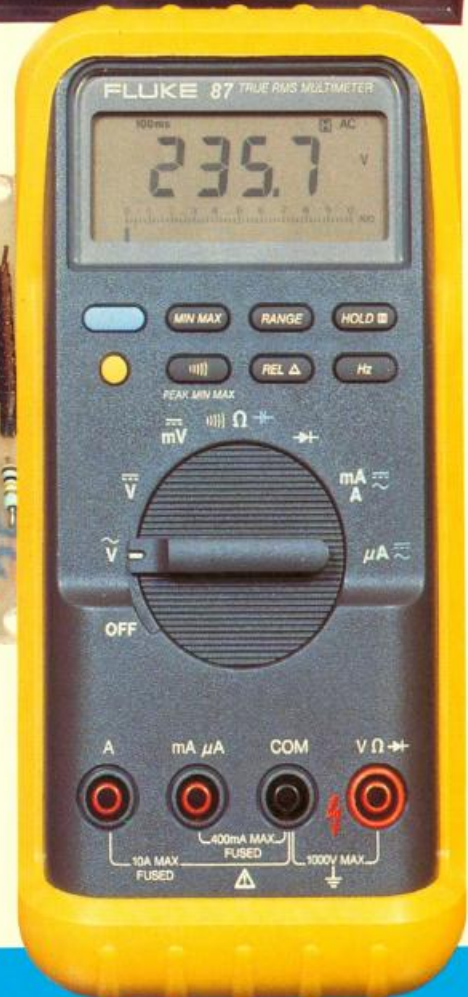
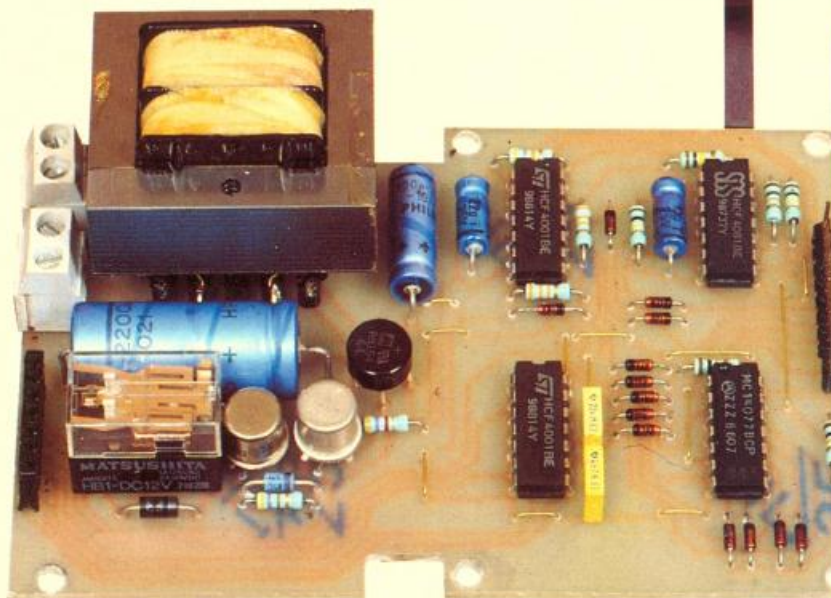


# Electronique pratique

**COMMUTATEUR AUTOMATIQUE**  
**DEUX GÉNÉRATEURS DE FONCTIONS**  
**COMMANDE D'ESSUIE-VITRE AR**  
**TESTEUR DE CÂBLES**  
**MULTIMÈTRE FLUKE 87**  
**BADGE OPTIQUE, etc.**



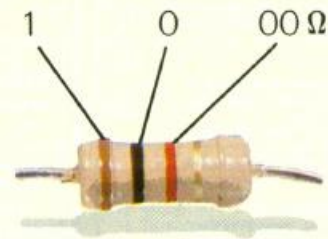
T 2437 - 124 - 20,00 F

MARS 1989



Sommaire détaillé page 42

# Electronique pratique



1 2 3 Tolérance : or  $\pm 5\%$ , argent  $\pm 10\%$

1 <sup>re</sup> bague 1 <sup>re</sup> chiffre	2 <sup>e</sup> bague 2 <sup>e</sup> chiffre	3 <sup>e</sup> bague multiplicateur
1	0	$\times 1$
2	1	$\times 10$
3	2	$\times 100$
4	3	$\times 1\,000$
5	4	$\times 10\,000$
6	5	$\times 100\,000$
7	6	$\times 1\,000\,000$
8	7	
9	8	
	9	

## SOMMAIRE N° 124 – MARS 1989

### REALISEZ VOUS-MEMES

<i>Un testeur de composants</i>	43
<i>Deux générateurs de fonctions</i>	47
<i>Une commande d'essuie-vitre AR</i>	53
<i>Un simulateur de pannes</i>	59
<i>Un badge optique</i>	71
<i>Un testeur de câbles</i>	87
<i>Un commutateur d'alimentation</i>	95
<i>Un sélecteur stéréophonique</i>	99

### EN KIT

<i>Mini-enceintes amplifiées 7 W EXPE 34 ETC</i>	84
<i>Compteur universel à 4 chiffres VELLEMAN</i>	105

### PRATIQUE ET INITIATION

<i>Le multimètre FLUKE 87</i>	66
<i>Fiche technique 4053</i>	109
<i>Initiation (4<sup>e</sup> partie)</i>	115

### DIVERS

<i>Nos Lecteurs</i>	129
<i>Encart WEKA central pour une moitié du tirage de 6 pages numérotées I à VI et pour l'autre moitié de 4 pages numérotées de I à IV.</i>	

FICHE TECHN.



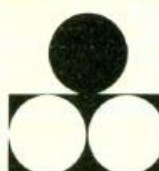
CONFORT



AUTO



JEUX



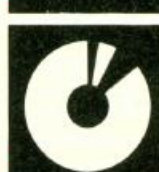
MODELISME



MESURES



HIFI



GADGETS



INITIATION



ADMINISTRATION-REDACTION-VENTES : Société des Publications Radio-Électriques et Scientifiques.

Société anonyme au capital de 300 000 F.  
2 à 12, rue Bellevue, 75940 Paris Cedex 19.  
Tél. : 42.00.33.05 - Télex PVG 230 472 F

Directeur de la publication : M. SCHOCK  
Directeur honoraire : Henri FIGHIERA  
Rédacteur en chef : Bernard FIGHIERA  
Maquettes : Jacqueline BRUCE

Couverture : M. Bonhomme. Avec la participation de C. Pichon, G. Isabel, D. Roverch, F. Rivère, R. Knoerr, G. Martin, J. Gagnepain, P. Wallerich, A. Garrigou.  
La Rédaction d'Électronique Pratique décline toute responsabilité quant aux opinions formulées dans les articles, celles-ci n'engagent que leurs auteurs.

PUBLICITE : Société Auxiliaire de Publicité, 70, rue Compans, 75940 Paris Cedex 19 - Tél. : 42.00.33.05 (lignes groupées) CCP Paris 3793-60

Directeur commercial : Jean-Pierre REITER  
Chef de publicité : Pascal DECLERCK  
Promotion : Société Auxiliaire de Publicité

Mauricette ELHINGER  
70, rue Compans, 75019 Paris. Tél. : (1) 42.00.33.05  
Direction des ventes : Joël PETAUTON  
Abonnements : Odette LESAUVAGE

Voir nos tarifs (spécial abonnements, p. 34).

En nous adressant votre abonnement, précisez sur l'enveloppe « SERVICE ABONNEMENTS », 2 à 12, RUE BELLEVUE, 75940 PARIS CEDEX 19.  
Important : Ne pas mentionner notre numéro de compte pour les paiements par chèque postal - Prix d'un numéro : 20 F.

Les règlements en espèces par courrier sont strictement interdits.

ATTENTION ! Si vous êtes déjà abonné, vous faciliterez notre tâche en joignant à votre règlement soit l'une de vos dernières bandes-adresses, soit le relevé des indications qui y figurent. ● Pour tout changement d'adresse, joindre 2,20 F et la dernière bande.



« Le précédent numéro a été tiré à 96 000 ex. »

# UN TESTEUR DE COMPOSANTS



Les modèles bicourbes représentent actuellement la grande majorité des oscilloscopes vendus. Cependant, peu d'entre eux sont équipés d'un traceur.

Le montage proposé à nos lecteurs permet de réaliser, sur l'écran d'un oscilloscope, le diagramme  $I = f(V)$  de composants. Il renseigne alors sur les caractéristiques et la bonne santé des éléments soumis au test.

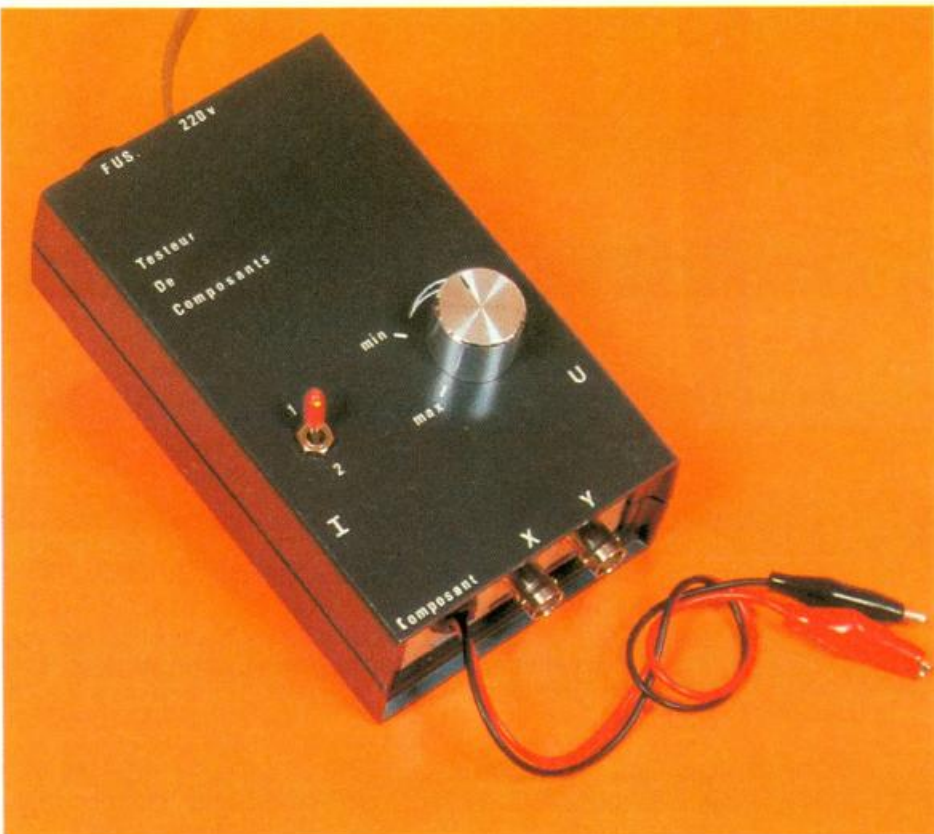
## CARACTERISTIQUES DU TESTEUR

(relevées sur la maquette)

- tension de test : réglable de 0 V à  $\approx 8$  V efficaces, en circuit ouvert ;
- courant de test :  $\approx 0,8$  mA ou 3,7 mA efficaces, en court-circuit ;
- fréquence du test : 50 Hz ;
- composants testables : résistances, condensateurs, inductances, diodes, Zener, transistors, réseaux R.L.C., etc.

## PRINCIPE DE FONCTIONNEMENT

Le synoptique de la **figure 1** nous renseigne de manière explicite sur la constitution de l'appareil. Le composant testé, soumis à une tension sinusoïdale d'amplitude réglable, voit son courant limité par une résistance (shunt). L'entrée X d'un oscilloscope (déviations horizontales) se branchera aux bornes de l'élément, tandis que l'entrée Y (déviations verticales) se connectera aux bornes de la résistance limitatrice. Si l'on



se réfère à la loi d'Ohm ( $V = R \cdot I$ ), cette tension prélevée sera image du courant.

Il suffit seulement de positionner l'oscilloscope en mode X - Y, supprimant ainsi la base de temps. Apparaît alors sur l'écran la caractéristique  $I = f(V)$  du composant testé.

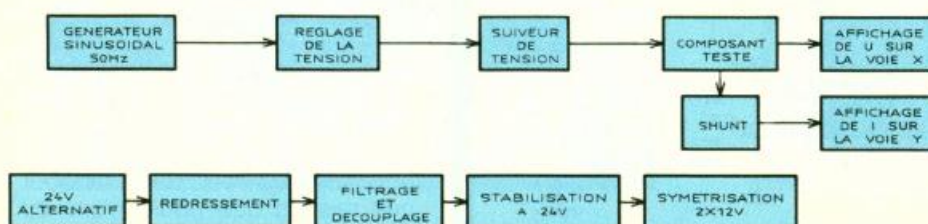
## FONCTIONNEMENT ELECTRONIQUE

(fig. 2)

- L'alimentation : un transformateur abaisse la tension de 220 V du réseau EDF à  $2 \times 24$  V. Son primaire est alimenté à travers un fusible de protection (FUS) et l'interrupteur  $I_1$ .

Le pont de diodes moulé  $PT_1$  redresse les 24 V disponibles aux bornes d'un des secondaires.  $C_1$  assure le filtrage tandis que  $C_2$ ,  $C_3$  en assurent le découplage. Le circuit intégré  $CI_1$  stabilise, pour finir, la tension à 24 V.

Pour la suite du montage, nous



1 Synoptique : le composant testé, soumis à une tension sinusoïdale d'amplitude réglable, voit son courant limité par une résistance shunt.



Photo 2. – Aperçu du montage introduit à l'intérieur d'un coffret « Retex ».

nous devons d'avoir à disposition une tension symétrique. Il nous suffit pour la produire d'utiliser le montage suivant :

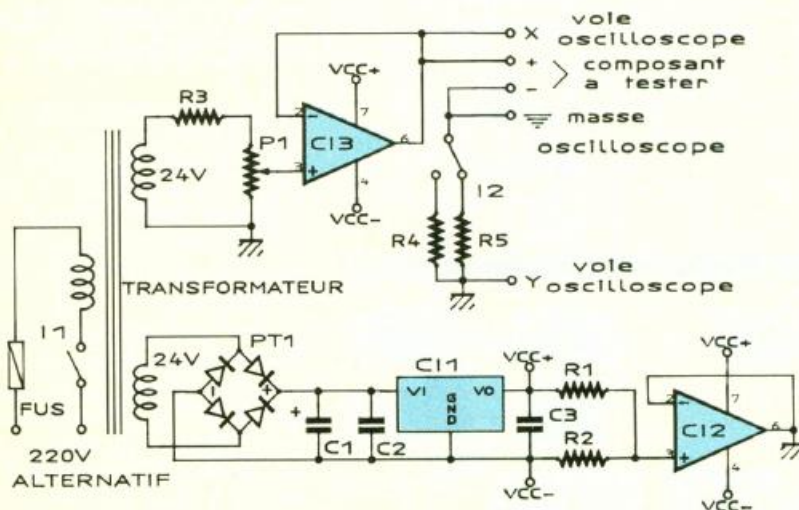
– Deux résistances,  $R_1$  et  $R_2$ , de même valeur, forment un pont diviseur de tension. On obtient, sur leur point commun,  $24\text{ V}/2$ , soit

$12\text{ V}$ . L'amplificateur opérationnel  $C1_2$ , connecté en suiveur de tension, délivrera sur sa sortie la même amplitude que celle appliquée sur son entrée non inverseuse (e+), soit  $12\text{ V}$ . Si l'on prend pour *référence masse* sa sortie, on mesurera :

- +  $12\text{ V}$  entre + Vcc et la masse ;
- -  $12\text{ V}$  entre la masse et - Vcc ;
- donc une tension symétrique  $2 \times 12\text{ V}$  par rapport à la masse.

## 2

Le montage révèle d'emblée l'utilisation d'un transformateur deux fois  $24\text{ V}$ . On associe à ce dernier deux intégrés 741.



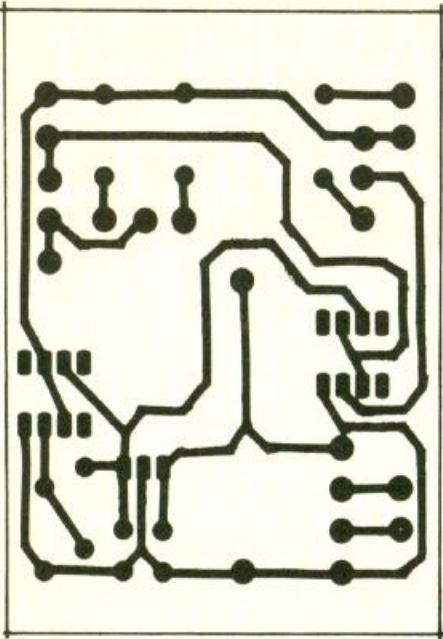
### DE L'UTILITE D'UN SUIVEUR DE TENSION OU AMPLIFICATEUR DE GAIN UNITE

Il est somme toute courant d'entendre qu'un tel amplificateur soit inutile. Nous en voulons pour preuve que le gain se limite bien souvent au gain en tension, dans l'esprit des gens, ce dont il n'est pas question ici.

En pratique, le suiveur de tension possède une impédance d'entrée élevée (de plusieurs  $M\Omega$ ), une faible impédance de sortie (inférieure à l'ohm), un gain en tension égal à l'unité et un gain en courant élevé. Ce sont pour ces raisons que nous avons eu recours à ce montage.

# 3

On ne peut rêver un plus simple tracé de circuit imprimé, publié ici grande nature.



## UN GENERATEUR SINUSOIDAL SIMPLE

Le système choisi est on ne peut plus simple. En effet, au lieu d'utiliser CI spécialisés, filtres et autres schémas habituels, nous avons fait appel à *Electricité de France* pour nous venir en aide. Pourquoi ne pas requérir la tension délivrée par le secondaire d'un transformateur, connecté sur le réseau d'alimentation ?

Cette dernière, prélevée sur l'un des deux enroulements 24 V, alimente un pont diviseur de tension variable, grâce au potentiomètre P<sub>1</sub>, précédant le suiveur de tension monté autour de CI<sub>3</sub>. Cette partie du montage permet de régler l'amplitude du signal, appliquée au composant testé (ex. : jonction B-e d'un transistor, fragile en inverse). Cet élément verra son courant limité par R<sub>4</sub> ou R<sub>5</sub>. Il ne restera alors plus qu'à connecter la voie X aux bornes du composant soumis au test, et la voie Y, aux bornes de la résistance limitatrice, faisant office de shunt d'ampèremètre.

Si vous disposez d'une inversion du canal Y sur votre oscilloscope, mettez la en service afin d'obtenir l'axe des Y dans le sens correct (vers le haut).

## REALISATION PRATIQUE

### 1° Le circuit imprimé

Donné à la figure 3, on le réalisera à l'aide de verre époxy, pour des raisons de solidité mécanique. On pourra soit exécuter un calque du tracé puis insoler une

plaque présensibilisée, soit dessiner directement le circuit sur le cuivre, à l'aide de transfert type Mécanorma. Ces symboles, présentés sous la forme de planches recouvertes d'une feuille de protection, reprennent les lettres, chiffres, ronds, lignes droites, courbes... habituels. On les applique à l'aide d'un crayon tendre ou d'une spatule.

Après passage au perchlorure de fer tiède ( $\approx 30^\circ\text{C}$ ), on rincera abondamment à l'eau claire, puis on perçera le circuit séché à :

- 0,8 ou 1 mm pour l'ensemble des composants ;
- 1,3 mm pour les cosses-poinçards.

### 2° L'implantation (fig. 4)

Elle ne posera aucun problème particulier si l'on prend soin de l'orientation du pont moulé PT<sub>1</sub>, du condensateur C<sub>1</sub> et des trois circuits intégrés (voir fig. 6). CI<sub>2</sub> et CI<sub>3</sub> se monteront de préférence sur des supports, permettant, en cas de destruction, une interchangeabilité particulièrement simplifiée. L'ensemble de la maquette pourra parfaitement s'insérer dans un boîtier *Retex* référence *Elbox RE 1*.

### 3° Le câblage (fig. 5)

Sur le circuit primaire du transformateur, il faudra isoler chacune des connexions avec de la gaine, évitant ainsi tout contact accidentel avec le potentiel 220 V. On utilisera également des passe-fils pour les traversées de façade (cordon secteur et fiches crocodiles), éliminant ainsi tout endommagement des isolants électriques.

# 4

Implantation des éléments réduite à sa simple expression.

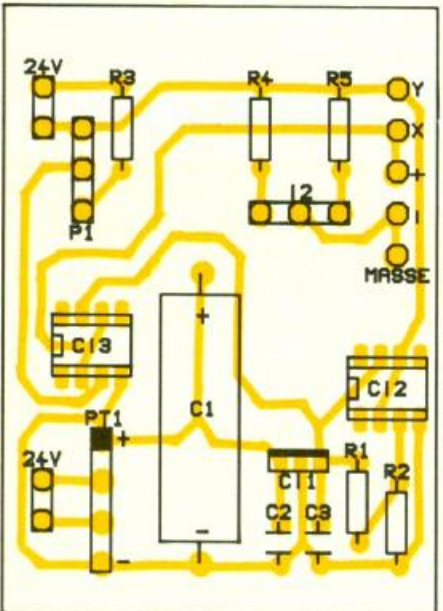
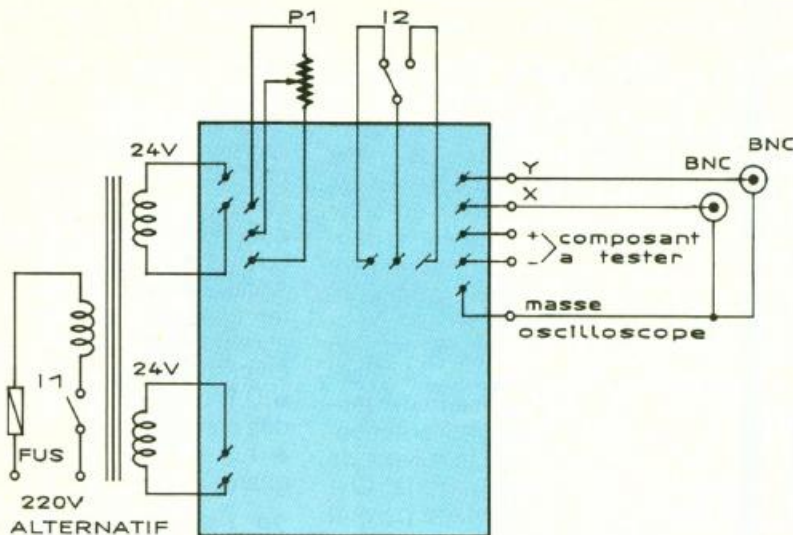


Photo 3. – Gros plan sur le pont redresseur (en vert).



Photo 4. – Utilisation de fiche BNC « châssis ».





## UTILISATION

- mettre sous tension l'oscilloscope ;
- régler :
  - les deux canaux sur GND ;
  - les deux commutateurs de tension sur 5 V ;
  - le mode de déclenchement sur alterné ;
  - l'inversion de la trace de Y ;
- aligner les traces sur la ligne centrale de l'écran ;
- régler les deux canaux sur DC ;
- mettre sous tension la maquette en laissant le circuit de test ouvert ;
- relier les connexions X et Y de l'oscilloscope et du testeur, par des câbles coaxiaux BNC/BNC ;
- commuter l'oscilloscope en mode X-Y ;
- aligner, si nécessaire, la trace horizontale obtenue sur la ligne centrale, à l'aide du bouton de position du canal Y ;
- court-circuiter les cordons de test, puis aligner la trace, si nécessaire, sur la ligne médiane verticale, à l'aide du bouton de position des deux traces.

Le testeur et l'oscilloscope sont à présent réglés. Lors de l'affichage d'une courbe, la tension  $V_x$  sur l'axe des x (abscisse), relevée aux bornes du composant, correspond réellement à celle indiquée par l'oscilloscope.

La valeur du courant traversant le composant (axe des Y, en ordonnée), aura pour valeur :

- en position 1 :

$$I = \frac{V_{\text{oscilloscope en Y}}}{10\,000\ \Omega}$$

- en position 2 :

$$I = \frac{V_{\text{oscilloscope en Y}}}{2\,200\ \Omega}$$

- les valeurs calculées seront justes à 5 % près ou à 1 % près, suivant la précision de  $R_4$  et de  $R_5$ .

## REMARQUES

1° L'oscilloscope connecté en mode X-Y voit sa base de temps inhibée. Si aucun signal n'est injecté sur ses entrées, un point lumineux reste stationnaire sur l'écran. En restant dans cette situation, on brûle la surface à cet endroit. Pour l'éviter, on diminuera sensiblement l'intensité lumineuse du spot.

2° Lors du test d'un condensateur, il faudra impérativement décharger au préalable la capacité, afin d'éviter toute destruction de la maquette. De même, en cas de test de composants en circuit, on devra obligatoirement couper la tension d'alimentation de l'élément considéré.

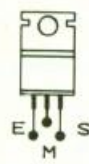
## CONCLUSION

Le faible coût d'un tel montage devrait inciter bon nombre de possesseurs d'oscilloscopes à le réaliser.

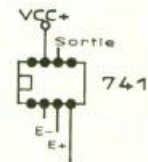
Cet appareil, très simple en définitive, rendra de grands services en testant rapidement vos composants. Il sera le complément idéal de la sonde logique/ testeur de continuité parue en novembre 1988.

Christophe PICHON

7824



REGULATEUR 24V



Pont redresseur rectangulaire



## LISTE DU MATERIEL

- $R_1, R_2$  : 10 k $\Omega$  (marron, noir, orange)
- $R_3$  : 27 k $\Omega$  (rouge, violet, orange)
- $R_4$  : 10 k $\Omega$  (marron, noir, orange)
- $R_5$  : 2,2 k $\Omega$  (rouge, rouge, rouge)
- $P_1$  : potentiomètre linéaire de 10 k $\Omega$
- $C_1$  : 220  $\mu$ F/63 V axial
- $C_2$  : 220 nF
- $C_3$  : 100 nF
- $CI_1$  : 7824 (régulateur de tension 24 V)
- $CI_2, CI_3$  : 741 (amplificateur opérationnel)
- $PT_1$  : pont redresseur rectangulaire
- 1 porte-fusible façade
- 1 fusible en verre 80 mA
- 1 interrupteur
- 1 inverseur – un contact
- 1 transformateur 220 V, 2 x 24 V, 3 VA minimum, à enroulements séparés
- 2 supports de circuit intégré 8 pattes
- 2 fiches BNC châssis
- 2 pinces-crocodile (rouge et noire)
- 2 passe-fils
- 1 boîtier Retex, référence Elbox RE 1
- 1 cordon secteur
- Cosses pour CI, soudure, vis, bouton pour potentiomètre, fils électriques, etc.

# GENERATEURS DE FONCTIONS



Le générateur de fonctions fait partie intégrante du laboratoire de l'électronicien au même titre que l'oscilloscope ou le multimètre. Cet appareil assez onéreux, il faut le dire, s'il est acheté dans le commerce, peut faire l'objet d'une réalisation d'amateur pour peu que l'on ne soit pas tenté par des fréquences trop hautes et par un étalonnage ultra-précis.

Nous vous proposons donc deux versions d'un tel appareil, une première très économique ne délivrant que des signaux rectangulaires et une seconde plus performante permettant d'obtenir en plus des signaux triangulaires et sinusoïdaux au moyen d'un unique circuit intégré spécialisé d'un prix très abordable, compte tenu de ses performances et de sa mise en œuvre facile.

## A - PRINCIPE DU FONCTIONNEMENT

On appelle générateur de fonctions un appareil qui produit au choix ou simultanément un signal rectangulaire ou carré, triangulaire ou encore sinusoïdal. Outre le fait d'avoir une tension à une fréquence déterminée pour la production de sons audibles divers, on utilise encore ce dispositif pour étudier à l'aide de l'oscilloscope la courbe de réponse en fréquence d'un amplificateur électronique ou pour la mise au point d'un égaliseur ou autre correcteur de tonalité. On peut également tester la sensibilité exacte des filtres actifs de type passe-bande, coupe-bande, passe-haut ou passe-bas. Dans les synthétiseurs, on utilise les formes d'onde triangulaires et rectangulaires en raison de leur richesse en harmoniques. Ces circuits portent alors le nom de VCO (Voltage Controlled Oscillator) et une variation de tension externe permet de faire évoluer la fréquence de sortie dans de très larges proportions.

Le signal carré est généré très aisément à l'aide d'un simple multivibrateur ou oscillateur astable à



courant de faire appel à quelques portes logiques de type NAND ou NOR. C'est d'ailleurs cette solution qui sera retenue dans notre première réalisation qui utilise un vulgaire circuit C-MOS 4011. En commutant quelques condensateurs et avec un simple potentiomètre, on peut construire un oscillateur rudimentaire certes, mais suffisamment pratique pour bon nombre d'applications.

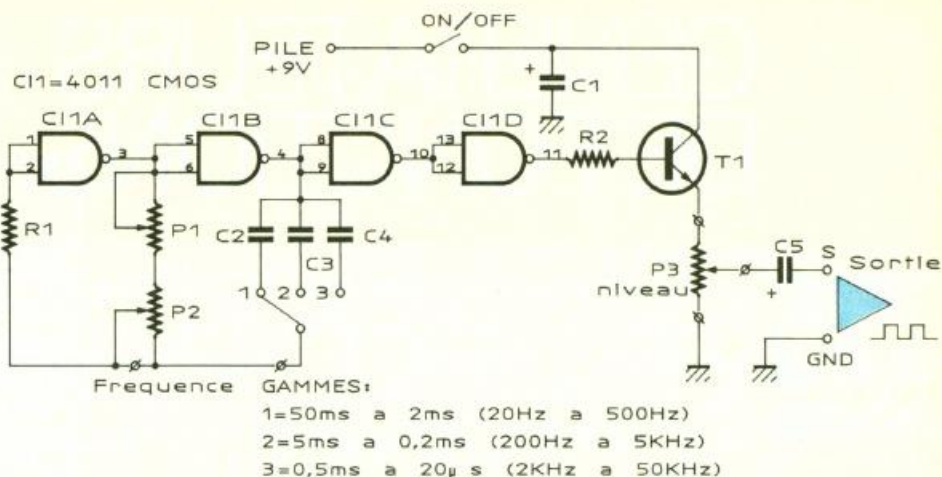
La seconde version d'un générateur de fonctions plus performant fait usage d'un circuit intégré spécial de chez EXAR et porte la référence XR 2206. Ce circuit s'accommode de peu de compo-

sants externes pour un schéma d'application standard, en ne perdant pas de vue que nous ne chercherons pas à atteindre la qualité d'une réalisation professionnelle, surtout dans les hautes fréquences. Il délivre simultanément un signal rectangulaire et au choix un signal triangulaire ou un autre sinusoïdal par une commutation externe. Habituellement, le signal sinusoïdal est produit par un oscillateur LC à transistor, mais sa mise au point est délicate. On trouve aussi les oscillateurs à déphasage ou ceux à filtre sélectif utilisant un ampli-op. Une autre méthode

1

Le schéma de principe fait essentiellement appel à un 4011.

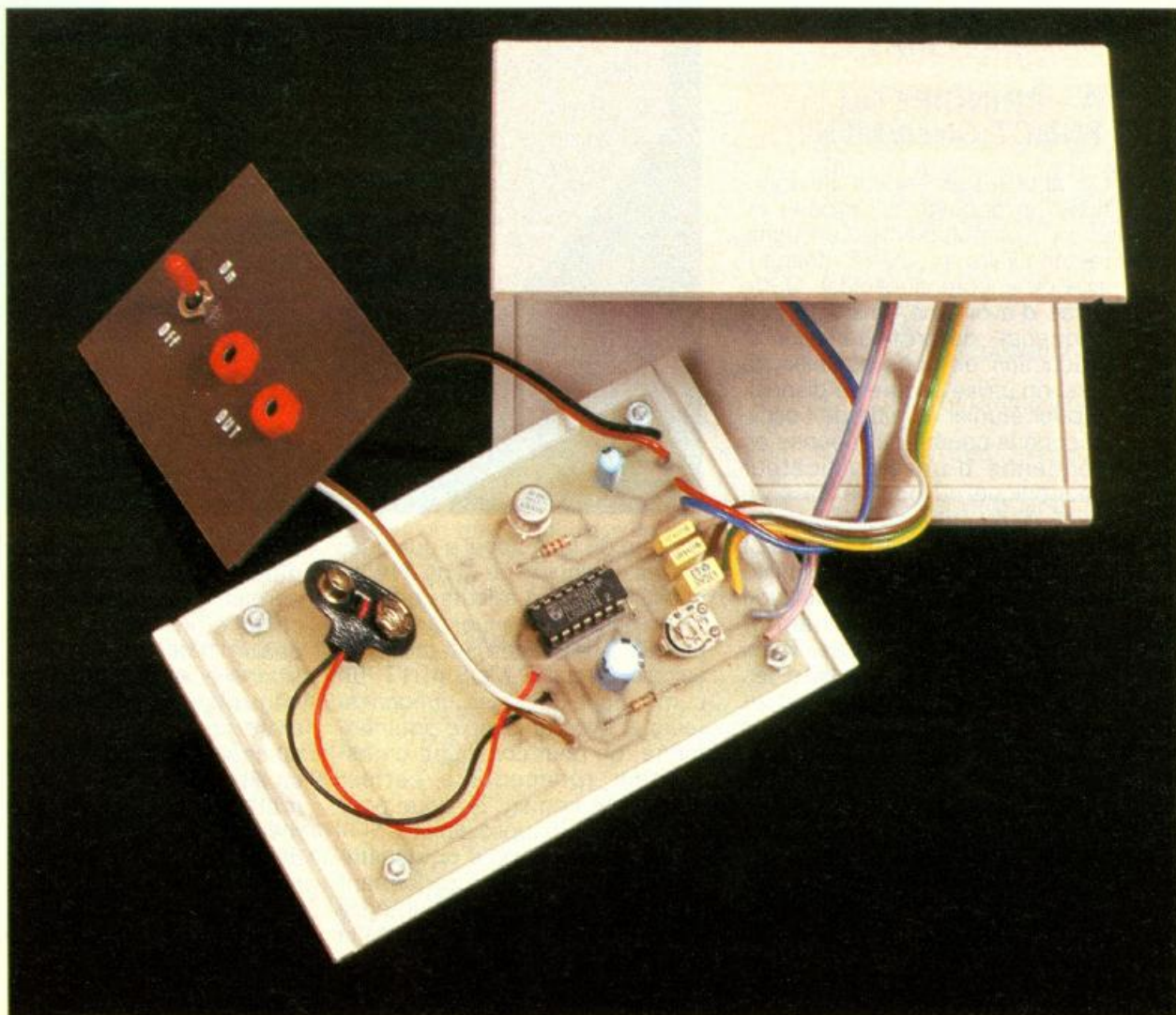
consiste à produire un signal en dents de scie à l'aide d'un oscillateur à relaxation faisant appel par exemple au désormais célèbre mais dépassé transistor unijonction 2N 2646. Il est aisé ensuite de produire une courbe triangulaire utilisant un générateur de courant constant pour charger un condensateur et le décharger très vite par un transistor (intégrateur de Miller). La transformation du signal triangulaire en signal carré est tout aussi simple en exploitant les propriétés d'un trigger de Schmitt. On peut obtenir cela également par écrêtage progressif avec une série de diodes par exemple ou encore en faisant appel à un transistor à effet de champ surmodulé d'une manière symétrique. Nous nous contenterons d'exploiter les possibilités du circuit EXAR sans nous étendre davantage sur le principe de son fonctionnement interne. La gamme des fréquences va de moins de 1 Hz à plus de



100 kHz, donc largement de quoi couvrir le spectre audible ! De multiples réglages permettront d'obtenir des courbes satisfaisantes tant du point de vue de la symétrie que de la distorsion. La fréquence de sortie sera évaluée à l'aide de la relation  $F$

$= 1/RC$  en hertz. Les valeurs recommandées pour la résistance  $R$  seront comprises entre 4 k $\Omega$  et 200 k $\Omega$ , tandis que celles du condensateur s'échelonnent de 1 nF à 100  $\mu$ F au moyen d'un commutateur en plusieurs gammes.

Photo 2. - On pourra introduire le montage à l'intérieur d'un coffret économique de la Tôlerie Plastique.



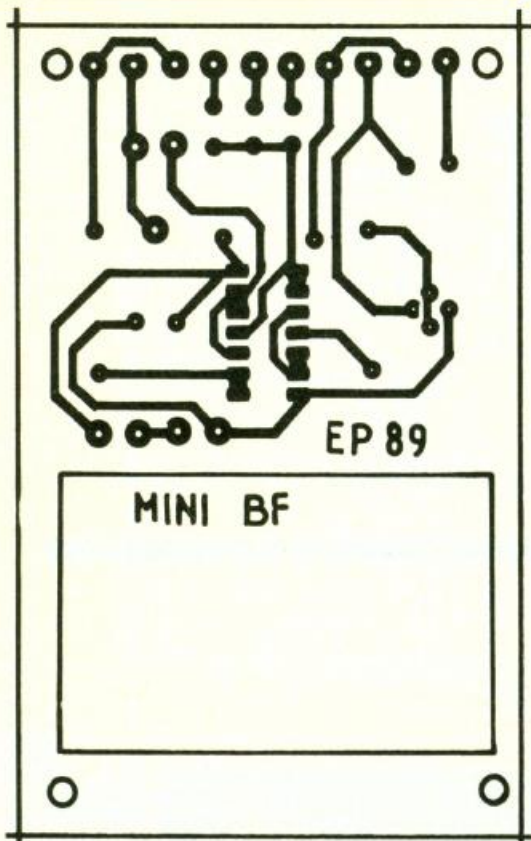


Photo 3. - Utilisation du circuit intégré le moins cher.

## B - ANALYSE DU SCHEMA ELECTRONIQUE

### 1° Version mini-générateur BF C-MOS 4011

Vous trouverez ce petit schéma à la **figure 1** ; son prix de revient dérisoire devrait inciter bon nombre de lecteurs à entreprendre sa construction. Les portes NAND A et B forment un classique oscillateur astable dont il est possible de calculer la fréquence à l'aide de la relation :

$$F = 1/0,6 \cdot R \cdot C$$

La composante R de la formule est constituée en fait par la résistance R<sub>1</sub>, l'ajustable P<sub>1</sub> et le potentiomètre de réglage P<sub>2</sub> à variation linéaire. L'autre élément variable est l'un des trois condensateurs C<sub>2</sub>, C<sub>3</sub> ou C<sub>4</sub> qui déterminent la gamme des fréquences qui sont les suivantes :

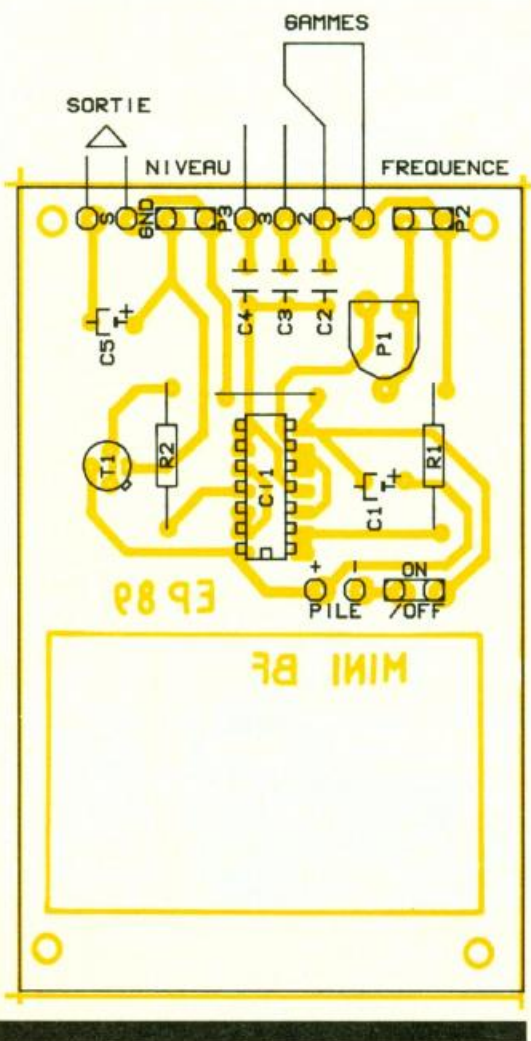
- de 20 Hz à 500 Hz soit de 50 ms à 2 ms ;
- de 200 Hz à 5 kHz soit de 5 ms à 0,2 ms ;
- de 2 kHz à 50 kHz soit de 0,5 ms à 20 μs ;

plages qui, on le constatera se recouvrent parfaitement. Les portes C et D également montées en inverseurs acheminent le signal carré à travers la résistance R<sub>2</sub> sur la base du transistor T<sub>1</sub> qui alimente à son tour le potentiomètre de réglage d'amplitude (niveau) dont le curseur est relié enfin à la sortie du circuit. Une simple alimentation sur une petite pile de 9 V fera l'affaire, ou au besoin on peut monter six éléments de piles DE 1,5 V dans un coupleur adapté (piles R<sub>6</sub>).

### 2° Version EXAR XR 2206

Cette seconde version plus performante se retrouve à la **figure 4**. Le cœur du montage est bien sûr le circuit intégré à 16 broches qui assure à lui seul le gros du travail. Le constructeur préconise une tension de 10 à 26 V, nous opterons pour une alimentation classique sur secteur, réglée à 12 V par le circuit 7812 bien connu. Une alimentation symétrique pour notre version simplifiée ne sera pas nécessaire. La tension positive est appliquée sur la broche 4, tandis que le niveau bas ou masse se retrouve à la borne 12 du circuit.

Les divers condensateurs C<sub>5</sub>, C<sub>6</sub>, C<sub>7</sub> et C<sub>8</sub> produisent des fréquences s'étalant de moins de 1 Hz à environ 100 kHz en quatre gammes. Les fréquences supérieures sont quelquefois moins régulières et sujettes à quelques déformations. Le réglage fin des fréquences sera obtenu simplement en manipulant le potentiomètre P<sub>5</sub> en face avant. Quelques ajustables sont nécessaires dans le circuit pour ajuster parfaitement la forme des divers signaux et plus particulièrement le signal triangulaire ou sinusoïdal. Ces deux signaux sont disponibles sur la broche 2 du circuit EXAR l'un après l'autre selon que le contact placé entre les broches 13 et 14 est fermé ou non. S'il l'est, on insère l'ajustable P<sub>2</sub> dans le circuit et on récupère un signal sinusoïdal à la broche 2. L'ouverture du contact entre ces deux broches produit sur la même borne un signal triangulaire, d'une amplitude plus forte que le signal précédent.



**4** Cette seconde version plus performante emploie un XR 2206 qui résume toutes les fonctions.

Cette constatation justifie le pont diviseur  $R_8$ - $R_9$  qui met au même niveau les signaux issus de cette borne. La sélection s'opère simplement à l'aide du commutateur à deux circuits trois directions. De même, le signal carré sera prélevé sur la borne 11 et à travers le pont diviseur  $R_3$ - $R_4$  est acheminé lui aussi vers le potentiomètre d'amplitude  $P_6$ . A noter que l'ajustable de niveau  $P_3$  n'agit pas sur l'amplitude du signal carré, mais seulement sur les deux autres signaux.

Ce schéma somme toute fort simple permet de réaliser un générateur de fonctions très acceptable sans avoir à investir des frais trop élevés.

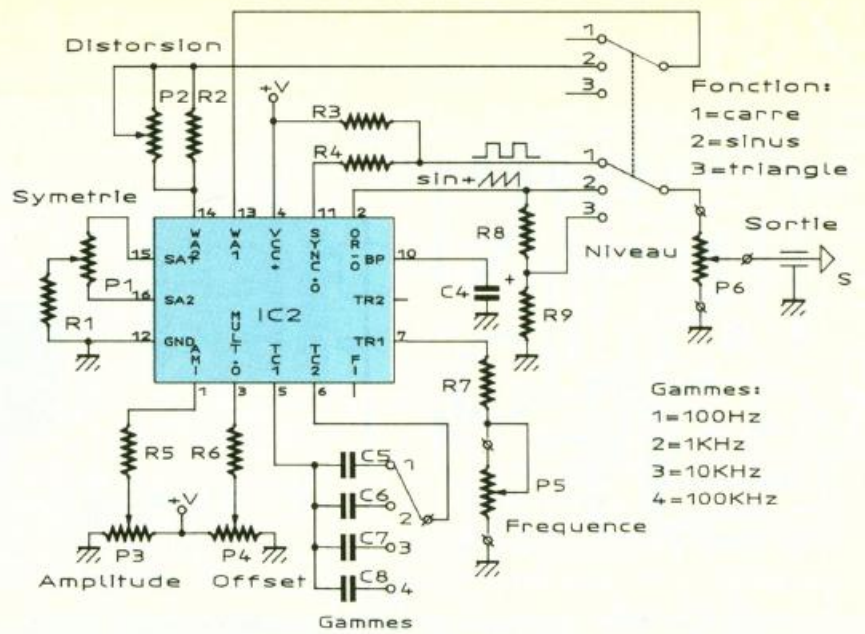
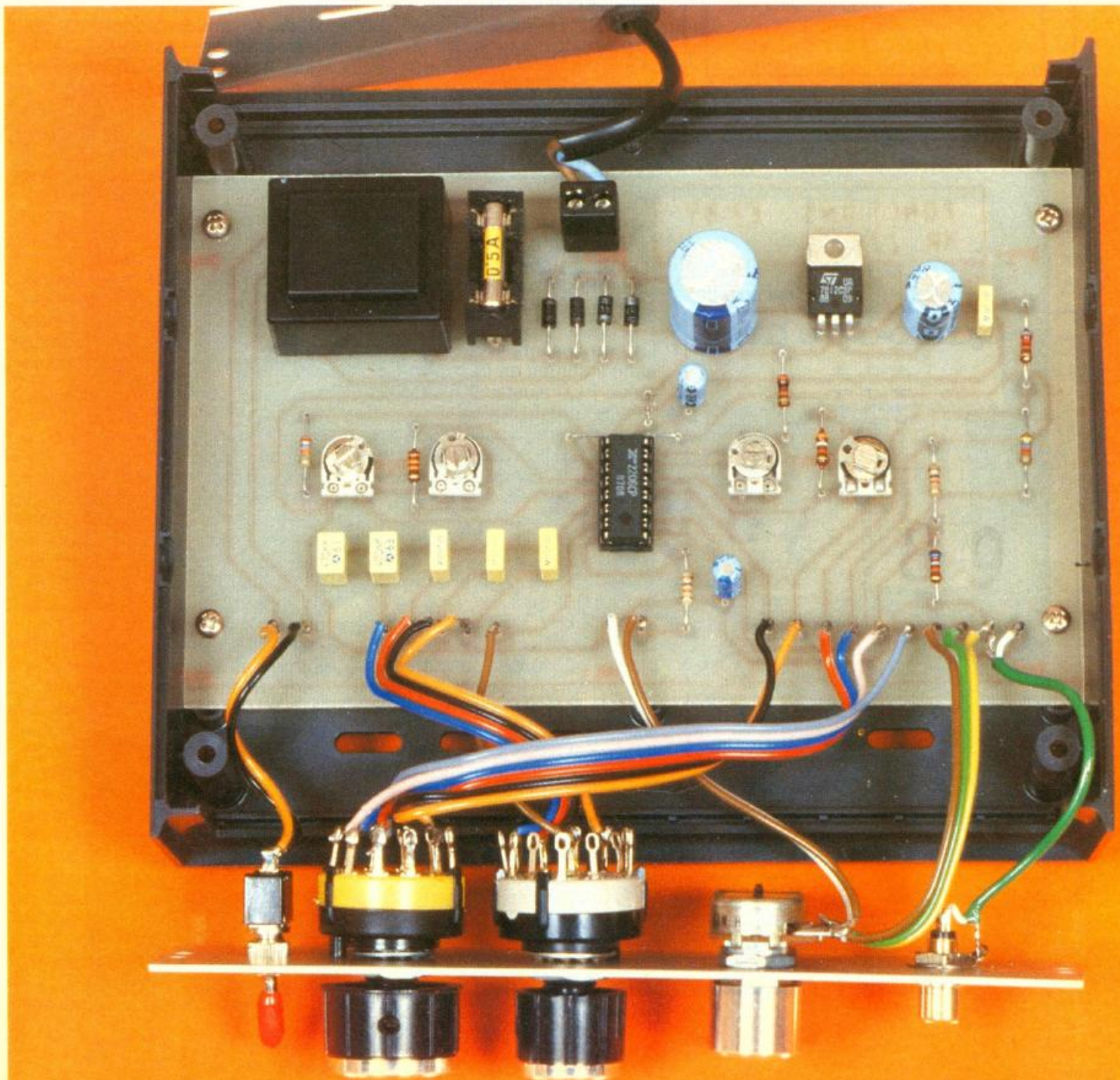
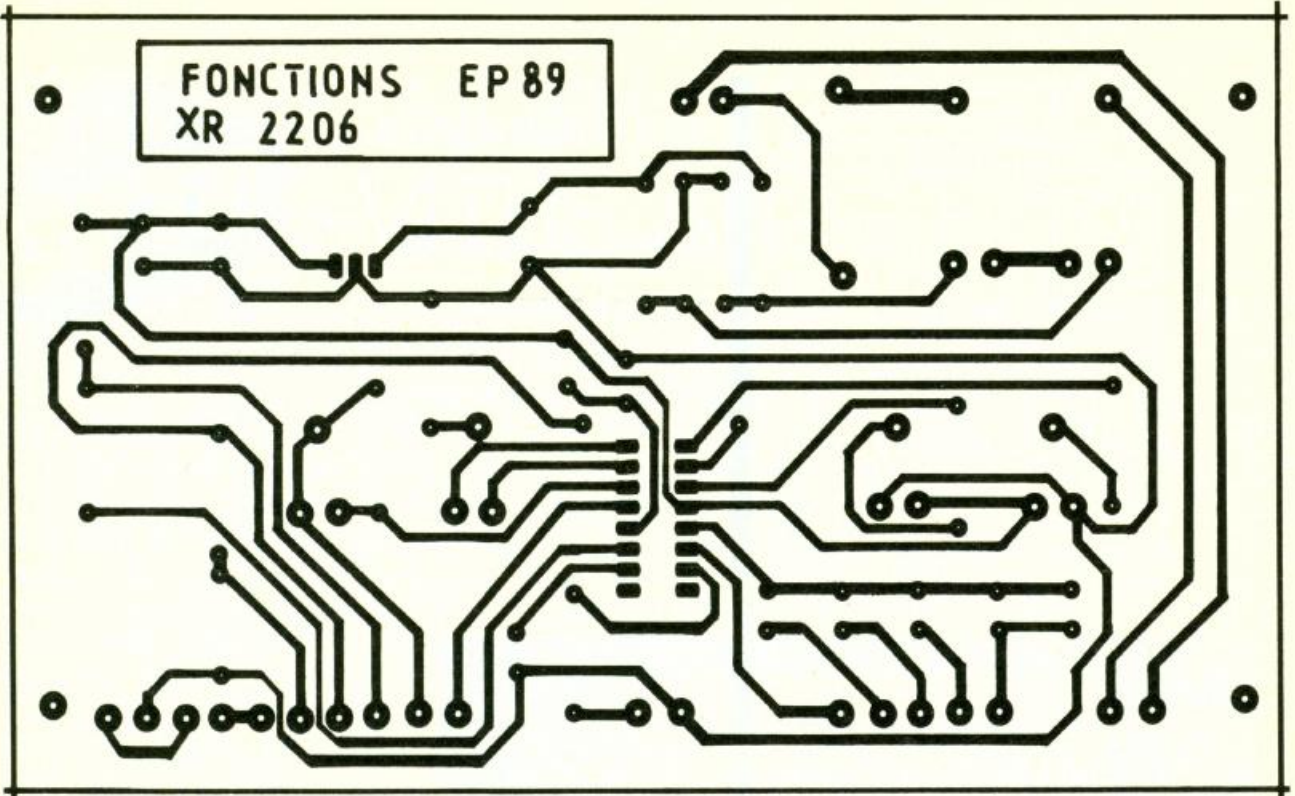


Photo 4. - Une implantation claire et aérée des composants facilitera le montage.



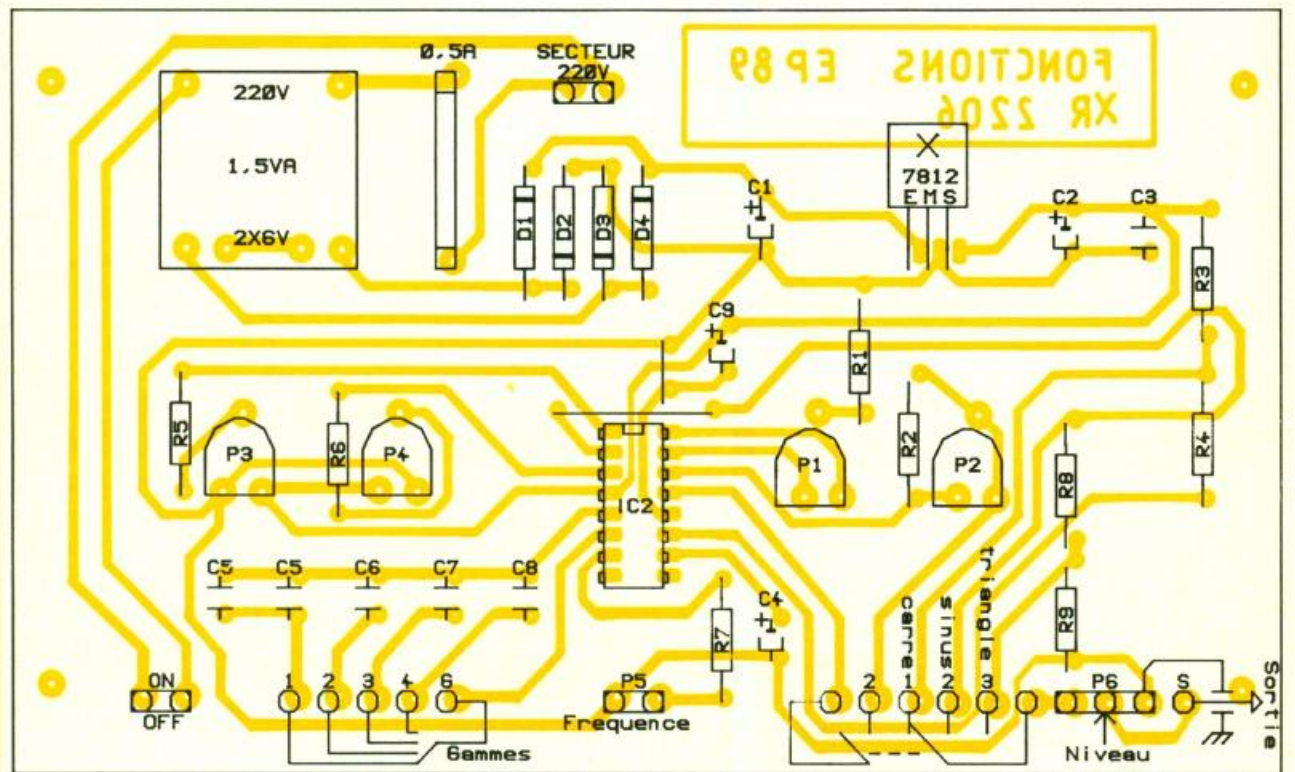
# 5

Compte-tenu du nombre de composants « discret », une carte imprimée plus grande s'avère nécessaire.



# 6

L'implantation des éléments comporte deux straps de liaison qu'il conviendra de ne pas oublier.



Avec un minimum de soin, l'amateur pourra se construire un appareil satisfaisant et pour peu qu'il possède un oscilloscope, il réussira à faire un étalonnage très soigné.

Nous pensons par ailleurs que seuls les possesseurs d'un oscilloscope trouveront un intérêt à construire cette maquette en raison de sa nature et de ses applications.

## C - REALISATION PRATIQUE

Nous avons volontairement bien séparé les deux réalisations pour permettre au lecteur d'entreprendre la construction du modèle de son choix. Le circuit imprimé de la première version est très restreint et se trouve à l'échelle 1 à la figure 2. Il se reproduira aisément à l'aide de quelques trans-

ferts directs ou par un procédé photographique. Le circuit imprimé du générateur utilisant le XR 2206 est plus important déjà, et vous trouverez son dessin à la figure 5. Il vous sera possible de modifier ses dimensions selon le modèle de coffret retenu. Nous avons déniché un coffret Retex très facile à mettre en œuvre et d'un aspect très plaisant avec ses deux pieds escamotables avants (voir photos). Les figu-

res 3 et 6 indiquent clairement la place des divers composants ainsi que les raccordements extérieurs assez nombreux pour chaque version.

La mise au point du premier module à circuit C-MOS 4011 est quasi nulle, si ce n'est un léger tarage par l'ajustable  $P_1$ . La seconde version est plus performante et on peut s'attendre de ce fait à une procédure de réglage plus compliquée. Sans oscilloscope, le réglage est relativement ardu car on travaille en aveugle ; même en utilisant un petit amplificateur, il n'est pas évident à l'oreille de déterminer si la forme d'une onde est correcte ou non. Avec un oscilloscope, le vôtre ou celui d'un ami, d'un club ou d'un réparateur Hi-Fi, les choses sont plus simples. Après avoir choisi la forme d'onde triangulaire à l'aide du commutateur à trois directions et sur une gamme de fréquences moyennes, on cherchera l'amplitude maximale sans écrêtage à l'aide de  $P_3$ . Les sommets du triangle devront être parfaitement « pointus » vers le haut et vers le bas. L'ajustable d'offset  $P_4$  lui aussi devrait être positionné de manière à n'occasionner aucune ligne horizontale dans le signal triangulaire. En fait, ces deux réglages sont à effectuer simultanément.

En commutant sur la sinusoïde, les ajustables  $P_1$  et  $P_2$  permettront d'obtenir une courbe parfaite, bien « arrondie » aux sommets et surtout parfaitement symétrique. Le retour sur la triangulaire ne doit faire apparaître aucune déformation de ce premier signal. Les amplitudes seront en principe identiques et atteignent environ 1,5 V crête, réglable cette fois-ci par le potentiomètre de niveau  $P_6$ . Le signal carré n'a besoin d'aucune mise en forme et doit être parfait du premier coup. Son amplitude est identique en raison du pont diviseur  $R_3$ - $R_4$ . Le changement de gamme ne doit pas déformer exagérément les courbes, mais une légère altération dans les fréquences extrêmes n'est pas à écarter et reste sans remède.

Nous sommes persuadés que vous saurez exploiter au mieux les possibilités de votre nouvel appareil de laboratoire et ne regretterez pas les quelques efforts consentis à sa réalisation.

Guy ISABEL

## D - LISTE DES COMPOSANTS

### A. Mini-générateur BF

#### 1. Semi-conducteurs

$IC_1$  : portes NAND A, B, C, D, C-MOS 4011

$T_1$  : transistor NPN 2N1711 ou équivalent

#### 2. Résistances (toutes valeurs 1/4 W)

$R_1$  : 15 k $\Omega$  (marron, vert, orange)

$R_2$  : 1 k $\Omega$  (marron, noir, rouge)

$P_1$  : ajustable horizontal 1 k $\Omega$  pas 2,54 mm

$P_2$  : potentiomètre 100 k $\Omega$  variation linéaire

$P_3$  : potentiomètre 10 k $\Omega$  variation linéaire

#### 3. Condensateurs

$C_1$  : chimique vertical 100  $\mu$ F/16 V

$C_2$  : plastique 470 nF

$C_3$  : plastique 47 nF

$C_4$  : plastique 4,7 nF

$C_5$  : chimique vertical 10  $\mu$ F/16 V

#### 4. Divers

Boîtier Tôlerie Plastique

Coupleur pression pour pile 9 V

Inter miniature

Support à souder 14 broches

2 bornes banane isolées

3 boutons pour commutateur et potentiomètres

1 commutateur rotatif 1 circuit 3 directions

Epoxy, fil souple, visserie

### B. Générateur de fonctions XR 2206

$IC_2$  : générateur de fonctions XR 2206 CP de EXAR.

4 diodes 1N4007 redressement

Régulateur intégré 12 V positifs 7812

#### 2. Résistances (toutes valeurs 1/4 W)

$R_1$  : 100  $\Omega$  (marron, noir, marron)

$R_2$  : 390  $\Omega$  (orange, blanc, marron)

$R_3$  : 820  $\Omega$  (gris, rouge, marron)

$R_4$  : 4,7 k $\Omega$  (jaune, violet, rouge)

$R_5$  : 27 k $\Omega$  (rouge, violet, orange)



Photo 5. - Belle présentation du montage en coffret Retex, modèle avec béquilles.

$R_6$  : 33 k $\Omega$  (orange, orange, orange)

$R_7$  : 10 k $\Omega$  (marron, noir, orange)

$R_8$  : 1 k $\Omega$  (marron, noir, rouge)

$R_9$  : 680  $\Omega$  (bleu, gris, marron)

$P_1$  : ajustable horizontal 47 k $\Omega$  (symétrie)

$P_2$  : ajustable horizontal 1 k $\Omega$  (distorsion)

$P_3$  : ajustable horizontal 100 k $\Omega$  (amplitude)

$P_4$  : ajustable horizontal 10 k $\Omega$  (offset)

$P_5$  : potentiomètre 220 k $\Omega$  A (fréquence)

$P_6$  : potentiomètre 100 k $\Omega$  A (niveau)

#### 3. Condensateurs

$C_1$  : chimique vertical 2 200  $\mu$ F/25 V

$C_2$  : chimique vertical 470  $\mu$ F/25 V

$C_3$  : plastique 2,2 nF

$C_4$  : chimique vertical 22  $\mu$ F/25 V

$C_5$  : plastique 1  $\mu$ F (2 fois 470 nF en parallèle)

$C_6$  : plastique 100 nF

$C_7$  : plastique 10 nF

$C_8$  : plastique 1 nF

$C_9$  : chimique vertical 47 à 100  $\mu$ F/25 V

#### 4. Divers

Boîtier plastique Retex

Transformateur à picots 220/12 V 1,5 VA

Porte-fusible + cartouche sous verre 0,5 A

Support à souder 16 broches

Bornes soudé-vissé 2 plots

1 commutateur 2 circuits 3 directions (fonctions)

1 commutateur 1 circuit 4 directions (gammes)

Interminiature

Prise châssis Cinch + fiche et câble blindé

Passe-fil, cordon secteur

Picots à souder, fil souple multicolore

# COMMANDE ESSUIE-VITRE AR



De nombreux véhicules sont désormais équipés d'un essuie-vitre arrière. Cet équipement se révèle, en effet, indispensable, notamment pour les modèles à 5 portes. Il est cependant regrettable de constater que la commande s'effectue par un simple bouton-poussoir qui actionne, de surcroît, la pompe de lave-vitre.

L'électronique peut, une fois de plus, nous venir en aide de manière efficace avec un nombre limité de composants. Le dispositif que nous vous proposons permettra un balayage par intermittence de l'essuie-vitre arrière. Nous avons profité de l'occasion pour dissocier lave-vitre et essuie-vitre, afin d'autoriser quelques balayages supplémentaires après action du lave-vitre.

Comme vous pouvez vous en douter, ce montage sera particulièrement simple à mettre en œuvre, afin de rendre la réalisation accessible à tous. L'investissement sera étonnamment faible en regard des possibilités de ce dispositif.

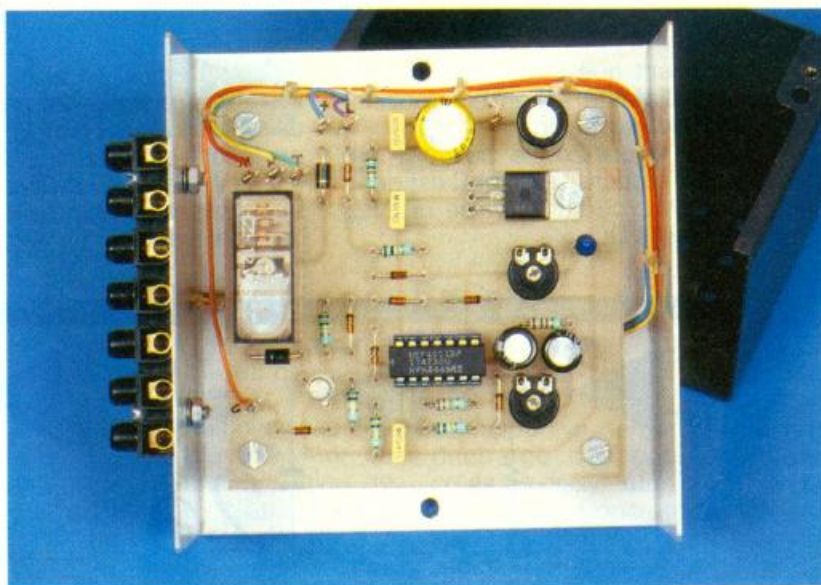
## I - PRINCIPE DE FONCTIONNEMENT

La **figure 1** représente le schéma synoptique de notre montage. L'interrupteur « cadenceur » commande, par le biais d'un étage adaptation, un oscillateur très basse fréquence. Ce dernier présente la particularité d'être assymétrique (nous verrons plus loin la raison) et réglable.

La sortie de l'oscillateur attaque, par l'intermédiaire d'un étage interface, le relais commandant le moteur de l'essuie-vitre.

Le bouton-poussoir de lave-vitre alimente directement la pompe électrique. Simultanément, un temporisateur est sollicité afin de maintenir, quelques secondes après l'arrêt de la pompe, le relais de l'essuie-vitre. Dans ces conditions, quelques balayages supplémentaires garantissent une vitre arrière propre.

Une synchronisation a également été prévue, afin d'éviter un ba-



layage par le cadenceur, juste après l'action du lave-vitre. Terminons par l'alimentation qui est régulée, assurant un fonctionnement constant malgré les variations de tension de la batterie.

## II - FONCTIONNEMENT ELECTRONIQUE

L'examen du schéma de principe laisse apparaître l'emploi d'un seul circuit intégré logique (4011). Les lecteurs habitués reconnaîtront les portes A et B montées en oscillateur. Ce montage comporte des particularités qui méritent quelques explications supplémentaires.

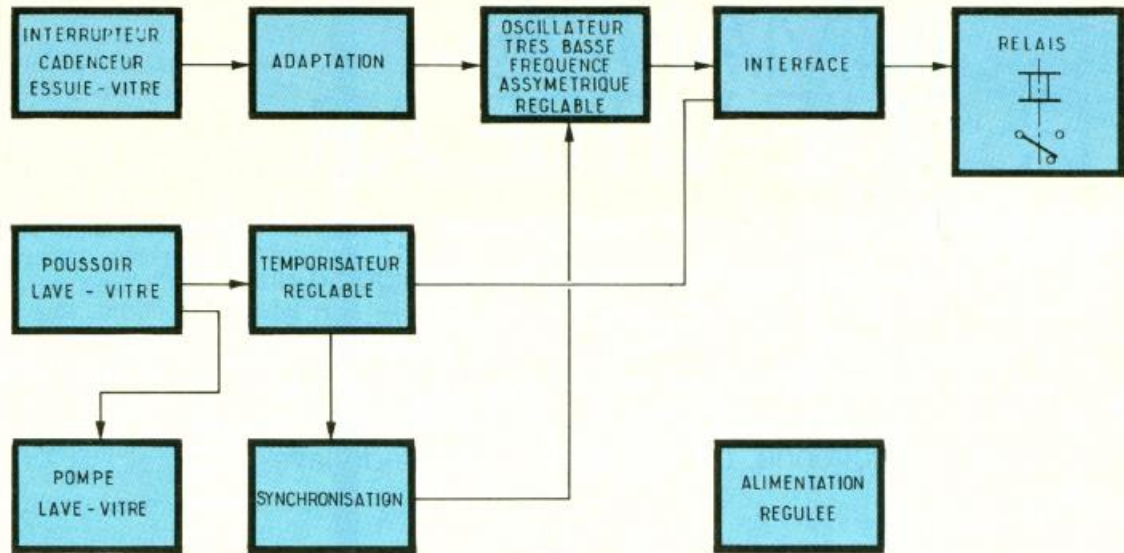
Le déroulement des différentes phases est représenté par les **figures 2**. En 2a, l'oscillateur est au repos, car son entrée est au niveau 0 (NV<sub>0</sub>) avec bien sûr 0 V.

La sortie C présente donc un NV<sub>1</sub>, tandis que la sortie D ne peut être qu'au NV<sub>0</sub>. La borne + du condensateur C est donc chargée à + 5 V par R<sub>b</sub>. Cette tension se retrouve sur l'entrée B.

Si nous commandons l'oscillateur par un NV<sub>1</sub> en A, la sortie C passera au NV<sub>0</sub>, ce qui garantira un NV<sub>1</sub> en D. Le condensateur qui était chargé à 5 V conserve cette charge momentanément. Nous retrouvons donc, au point E, 10 V (5 V + 5 V). Le rôle de R<sub>a</sub> est capital à cet instant, car c'est elle qui limite à 5 V la tension appliquée à B.

En 2c, nous observons la décharge de C via R<sub>b</sub> et la sortie C. Le seuil de basculement de l'entrée N est d'environ 2,5 V. La tension sur la borne + de C passera progressivement de 10 V à 2,5 V. Nous remarquons à ce

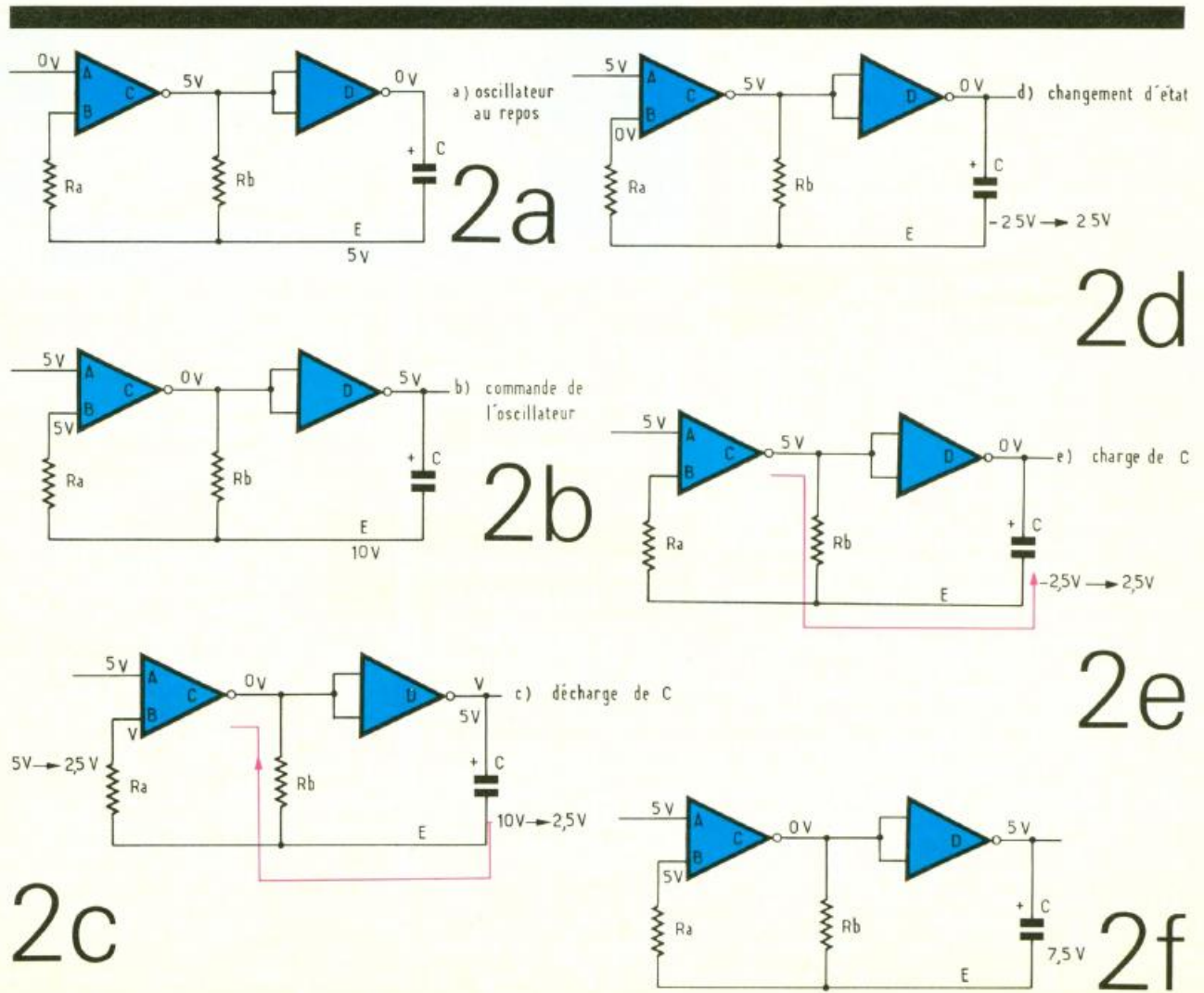
1 *Synoptique : l'interrupteur « cadenceur » commande, par le biais d'un étage d'adaptation, un oscillateur très basse fréquence. La sortie sur relais rend le montage universel.*



moment que le condensateur C est alimenté à l'envers (polarité positive sur sa borne -). A la figure 2d, le basculement s'est produit. Le point C est donc au  $NV_1$ , ce qui entraîne un  $NV_0$  en sortie D.

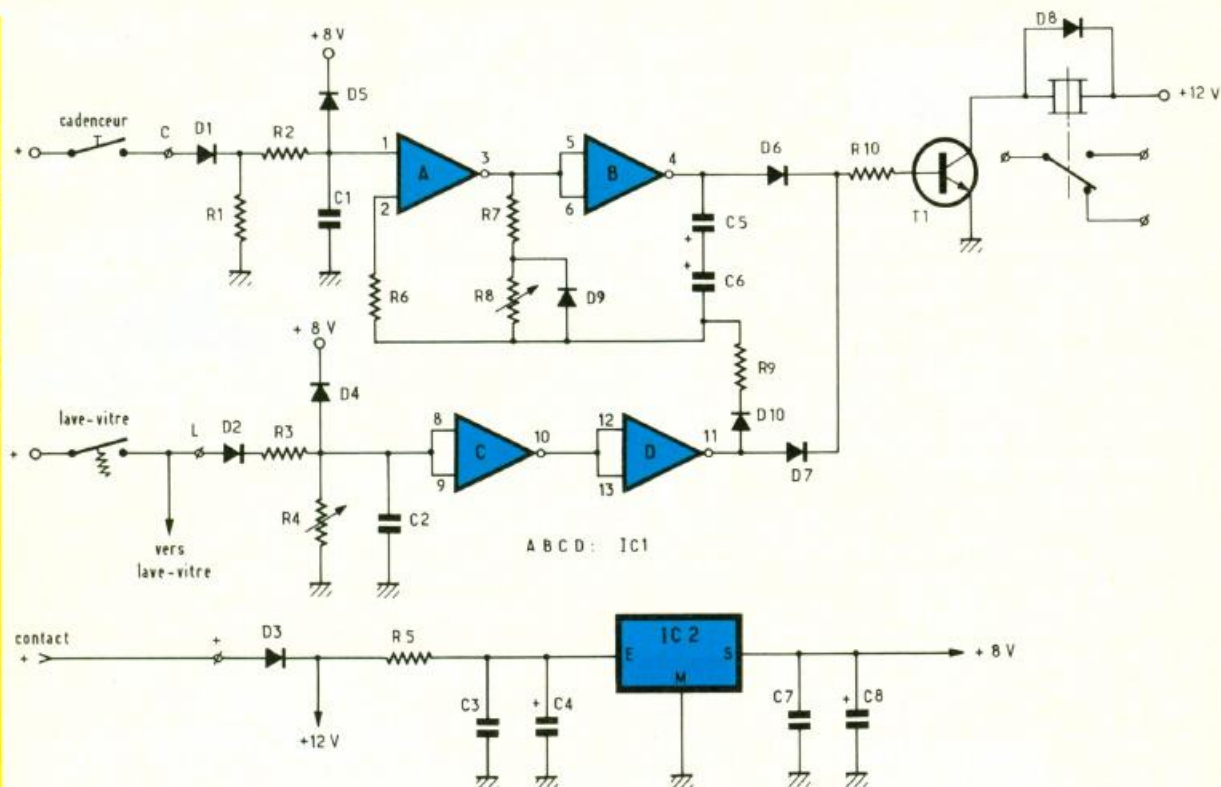
La charge de C va alors s'effectuer selon la figure 2e par la sortie C et  $R_b$ . Le point E passera progressivement de  $-2,5\text{ V}$  à  $+2,5\text{ V}$ . Le condensateur C retrouvera progressivement ses polarités normales. La tension de

$2,5\text{ V}$  sera également appliquée à l'entrée B, qui autorisera le basculement des portes comme indiqué à la figure 2f. Nous nous retrouverons selon la figure 2c, et ainsi de suite. Cette petite démonstration n'est pas



# 3

L'examen du schéma de principe laisse apparaître l'emploi d'un seul circuit intégré 4011. Les lecteurs habitués reconnaîtront les portes A et B montées en oscillateur.



dénuée d'intérêt, pour montrer la nécessité d'utiliser pour C un modèle non polarisé. Un condensateur polarisé ne serait pas détruit, mais, alimenté en inverse, il présente un courant de fuite important qui risquerait de bloquer l'oscillateur.

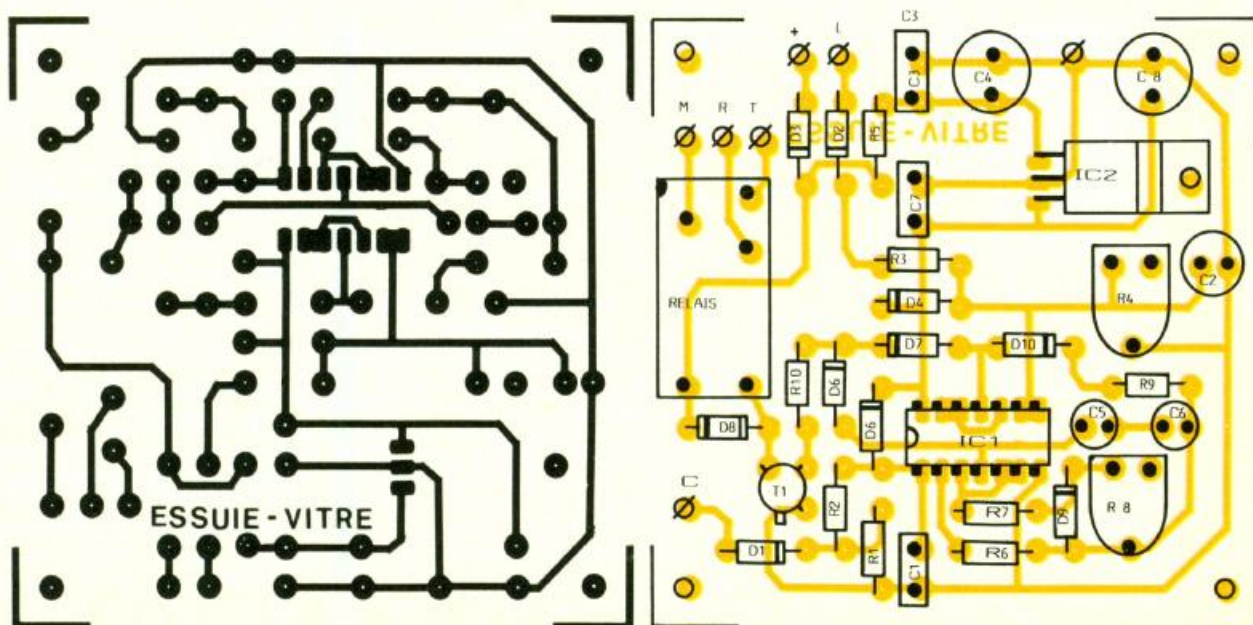
Pour revenir à la figure 3, l'action sur l'interrupteur « cadenceur » permet l'application d'un NV<sub>1</sub> sur l'entrée A<sub>1</sub> via D<sub>1</sub> et R<sub>2</sub>. Aussitôt,

comme nous l'avons vu précédemment, la sortie B<sub>4</sub> présente un signal pulsé à très basse fréquence.

Celui-ci autorise la polarisation de T<sub>1</sub> via R<sub>10</sub> et D<sub>6</sub>. Le transistor, en conduisant, alimente le relais de façon cyclique. Nous remarquons la présence de D<sub>9</sub> sur l'ajustable R<sub>8</sub> de valeur importante. Cette disposition permet de garantir une décharge rapide

des condensateurs C<sub>5</sub> et C<sub>6</sub> par R<sub>7</sub> uniquement, tandis que la charge sera plus longue du fait de la présence de R<sub>8</sub>.

Le rapport du temps de charge-décharge des condensateurs crée une dissymétrie en sortie de l'oscillateur. Concrètement, le relais sera alimenté pendant une seconde (temps pour lancer le moteur de l'essuie-vitre). En revanche, il sera au repos durant 1



4 Le tracé du circuit imprimé publié grandeur nature se reproduira facilement à l'aide de transfert « Mecanorma ».

5 Côté implantation des éléments, seul le relais peut amener à modifier légèrement le tracé suivant son type.

à 25 secondes, selon la position de  $R_8$ .

Nous avons vu précédemment que le condensateur de l'oscillateur devait être non polarisé. Or la valeur du condensateur à employer nécessite l'utilisation d'un modèle chimique, donc polarisé. L'astuce consiste à prévoir deux condensateurs chimiques en série, mais en opposition (par exemple le + relié avec le +).

Le fonctionnement du temporisateur reste particulièrement simple. Lors de l'action sur le poussoir du lave-vitre,  $C_2$  se charge rapidement, via  $D_2$  et  $R_3$ . Nous retrouvons donc un NV<sub>1</sub> sur les entrées  $C_8$  et  $C_9$ . La sortie  $C_{10}$  passe alors au NV<sub>0</sub>, tandis que la sortie  $D_{11}$  présente un NV<sub>1</sub>.

$T_1$  est polarisé par  $D_7$  et  $R_{10}$ . En conduisant, il permet l'alimentation du relais. Dès le relâchement du poussoir, la pompe de lave-vitre s'arrête. En revanche,  $C_2$  reste chargé un certain temps selon la position de  $R_4$ . Durant ce délai, le moteur de l'essuie-vitre continue à être alimenté.

Parallèlement, l'ensemble des condensateurs  $C_5$  et  $C_6$  est chargé par  $D_{10}$  et  $R_9$ . Cette disposition permet d'initialiser l'oscillateur durant la temporisation de lave-vitre.

A l'issue de quelques secondes, les entrées  $C_8$  et  $C_9$  reçoivent un NV<sub>0</sub>. La sortie  $D_{11}$  repasse au NV<sub>0</sub>. Le transistor  $T_1$  se bloque et le relais repasse à sa position de repos.

Remarquons la présence des dio-

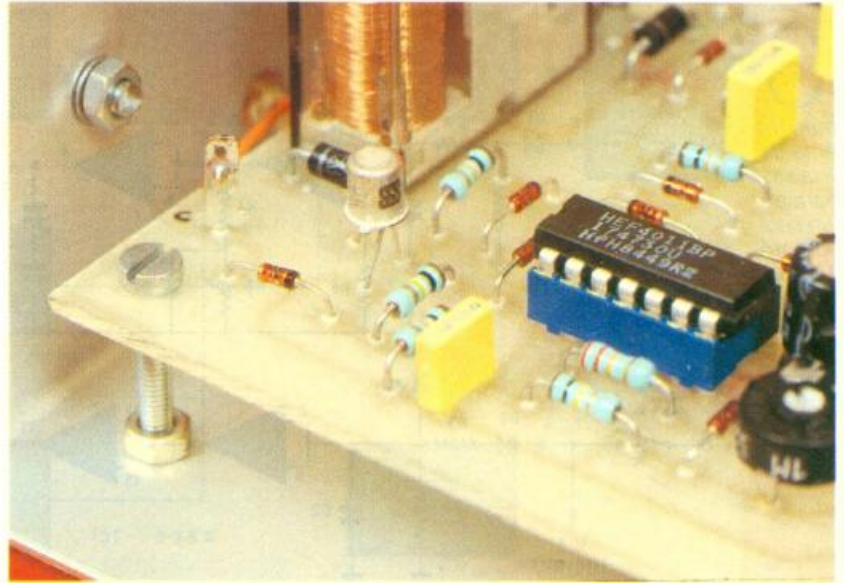


Photo 2. – Des vis et des écrous servent d'entretoises de fortune.

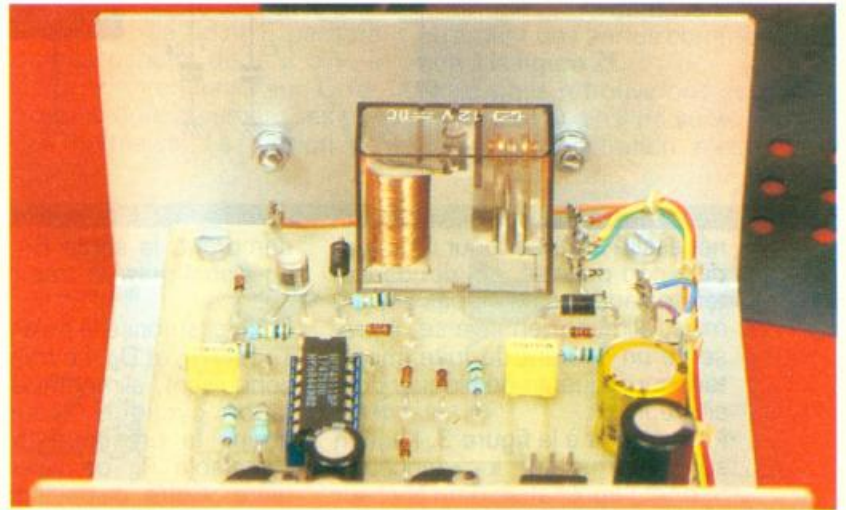
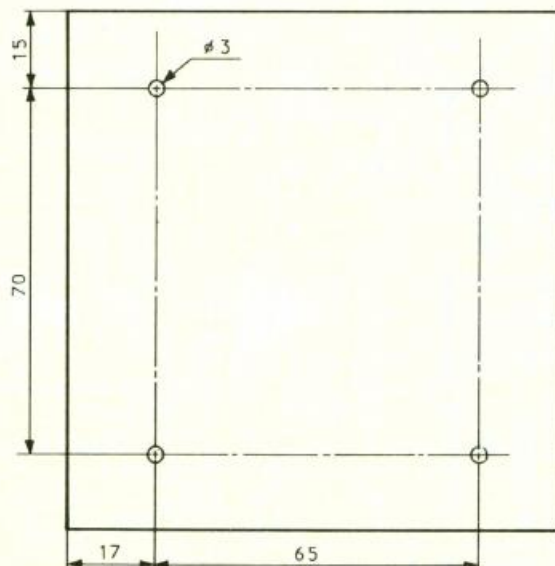


Photo 3. – Attention au type de relais lors de l'implantation.

6

Le fond du coffret ESM sera percé conformément au plan de perçage ci-contre.



des  $D_4$  et  $D_5$ , destinées à protéger les entrées des portes logiques, car l'alimentation des poussoirs et des interrupteurs provient du + 12 V.

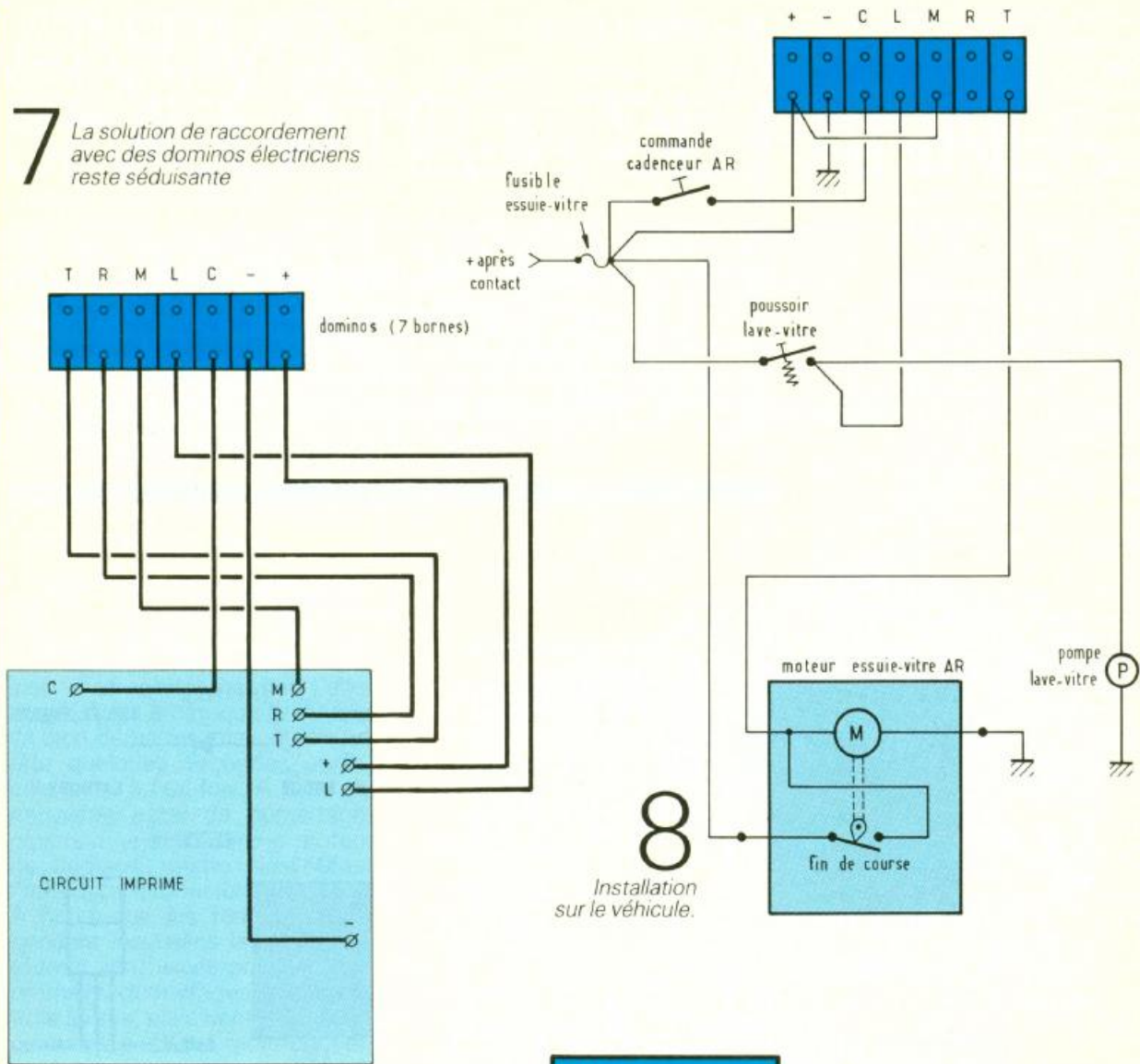
Nous terminerons par l'alimentation, régulée à 8 V par  $IC_2$ . La résistance  $R_5$  protège ce dernier contre les surtensions issues du circuit électrique du véhicule. N'oublions pas que l'entrée des régulateurs n'apprécie pas les tensions supérieures à 30 V.

### III – REALISATION PRATIQUE

#### a) Circuit imprimé

Le tracé retenu est représenté à la figure 4. Le dessin est suffisamment aéré pour autoriser le recours à la gravure directe pour les lecteurs débutants non équi-

## 7 La solution de raccordement avec des dominos électriques reste séduisante

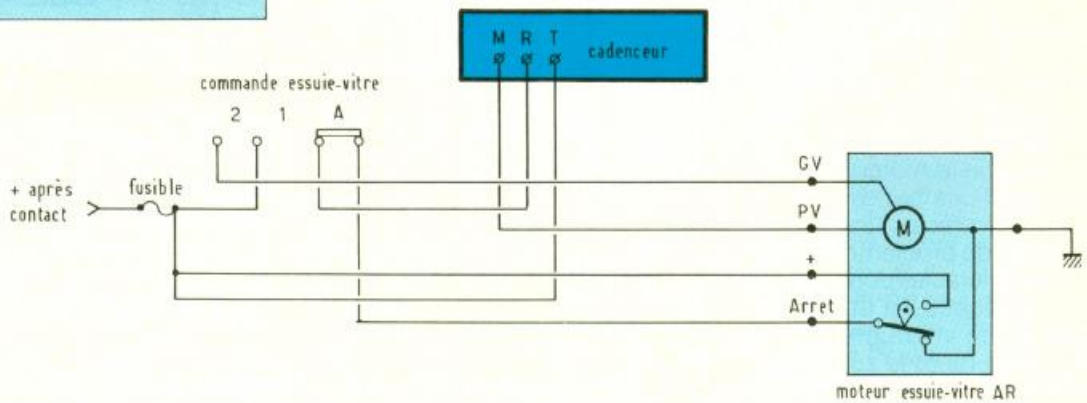


8

Installation sur le véhicule.

9

Il conviendra de bien repérer les divers contacts du moteur d'essuie-vitre et du relais.



pés. Rappelons cependant que la méthode photographiée, outre le gain de temps non négligeable, permet d'éviter toute erreur de reproduction. Il conviendra de respecter les dimensions préconisées afin de faciliter l'insertion ultérieure dans le boîtier. Plonger la plaque dans le perchlorure de fer tiède tout en agitant régulièrement.

A l'issue de cette opération, procéder à un rinçage soigné. Après séchage, effectuer les différents perçages (0,8 mm pour le CI, 1 mm pour les petits composants, 1,2 mm pour les éléments plus importants, et enfin 3 mm pour les trous de fixation). Repérer l'affectation de chaque connexion extérieure selon la figure 5 avec un marqueur fin per-

manent, de manière à faciliter le câblage et une éventuelle maintenance ultérieure. L'implantation des composants ne doit pas poser de problème majeur. Néanmoins, nous conseillons de prévoir un support pour IC<sub>1</sub>, le coût de cet élément reste dérisoire en regard des avantages qu'il procure. Selon l'usage, il est préférable de

commencer par les composants bas (diodes, résistances), pour finir par le relais et les condensateurs verticaux.

Cette opération se terminera par un contrôle systématique afin de détecter toute anomalie, notamment au niveau des soudures, de la valeur et de l'orientation des composants.

## b) Montage final

Procéder au perçage du fond du coffret selon la **figure 6**. Prévoir également, à l'arrière du boîtier, la fixation du domino d'électricien à 7 bornes.

Fixer la carte imprimée dans le coffret à l'aide d'entretoises. Une solution particulièrement économique et efficace consiste à employer des boulons de 3 mm avec écrous et contre-écrous. Cette astuce présente, en outre, l'avantage de faciliter le réglage en hauteur du circuit.

Réaliser le câblage interne conformément à la **figure 7**. N'hésitez pas à prévoir du fil de couleur. L'opération de câblage n'en sera que plus aisée, et le risque d'erreur, minimisé.

Après un dernier contrôle de routine, on pourra insérer le circuit intégré sur son support, en veillant, bien sûr, à son orientation.

## IV - MONTAGE SUR LE VEHICULE

Ce montage est prévu, à l'origine, pour commander un essuie-vitre arrière. Le raccordement, dans ce cas, est représenté à la **figure 8**. Il est facile de remarquer que le moteur de l'essuie-vitre doit comporter 3 fils.

Dans ce cas précis, l'installation ne pose pas de problème particulier. Il est préférable, pour des raisons esthétiques, d'utiliser un poussoir et un interrupteur semblable à ceux montés sur le véhicule.

Il est possible d'employer ce dispositif pour l'essuie-vitre avant. Dans ce cas, la commande est légèrement plus complexe, du fait du circuit de freinage électrique du moteur en fin de course. L'installation à prévoir est donnée à la **figure 9**. Le montage de l'interrupteur et du poussoir reste identique.

## V - ESSAI FINAL

Après une ultime vérification, mettre le contact du véhicule. Appuyer sur le poussoir du lave-vitre : la pompe fonctionne, ainsi que l'essuie-vitre. Au relâchement, les balais continuent quelques manœuvres avant de revenir au repos. Eventuellement, régler cette temporisation par  $R_4$ . Agir sur l'interrupteur « cadencé ». L'essuie-vitre doit effectuer un balayage par intermittence. Au besoin, régler la fréquence du balayage par l'ajustable  $R_8$ .

La mise au point est terminée. Il conviendra cependant de placer le boîtier à l'abri de l'humidité. La solution idéale est, bien sûr, sous la planche de bord, à proximité de la platine de fusibles.

Ce montage, peu coûteux et très simple à réaliser, facilitera grandement l'utilisation de l'essuie-vitre, en évitant la commande manuelle si fastidieuse à l'usage. Votre essuie-vitre arrière vous chagrinerait, et vous avez un emplacement libre pour un interrupteur sur votre tableau de bord. Inutile de vous faire un dessin...

Daniel ROVERCH

## LISTE DES COMPOSANTS

$R_1$  : 10 k $\Omega$  (brun, noir, orange)  
 $R_2$  : 100 k $\Omega$  (brun, noir, jaune)  
 $R_3$  : 10 k $\Omega$  (brun, noir, orange)  
 $R_4$  : ajustable 1 M $\Omega$  horizontal  
 $R_5$  : 100  $\Omega$  (brun, noir, brun)  
 $R_6$  : 100 k $\Omega$  (brun, noir, jaune)  
 $R_7$  : 22 k $\Omega$  (rouge, rouge, orange)  
 $R_8$  : ajustable 1 M $\Omega$  horizontal  
 $R_9$  : 2,2 k $\Omega$  (rouge, rouge, rouge)  
 $R_{10}$  : 10 k $\Omega$  (brun, noir, orange)

$C_1$  : 100 nF plaquette  
 $C_2$  : 10  $\mu$ F 25 V tantale  
 $C_3$  : 100 nF plaquette  
 $C_4$  : 100  $\mu$ F 25 V chimique vertical  
 $C_5$  : 47  $\mu$ F 25 V chimique vertical  
 $C_6$  : 47  $\mu$ F 25 V chimique vertical  
 $C_7$  : 100 nF plaquette  
 $C_8$  : 220  $\mu$ F 25 V chimique vertical

$D_1$  : 1N4148  
 $D_2$  : 1N4148  
 $D_3$  : 1N4004  
 $D_4$  : 1N4148  
 $D_5$  : 1N4148  
 $D_6$  : 1N4148  
 $D_7$  : 1N4148  
 $D_8$  : 1N4004

$T_1$  : 2N2222  
 $IC_1$  : 4011  
 $IC_2$  : régulateur 7808

1 support DIL 14  
 1 relais Finder 12 V 1 RT 10 A réf. 40.31 ou équivalent  
 1 domino électricien 7 bornes  
 1 circuit imprimé  
 1 coffret ESM EM 10/05  
 Fils, vis, picots, etc.

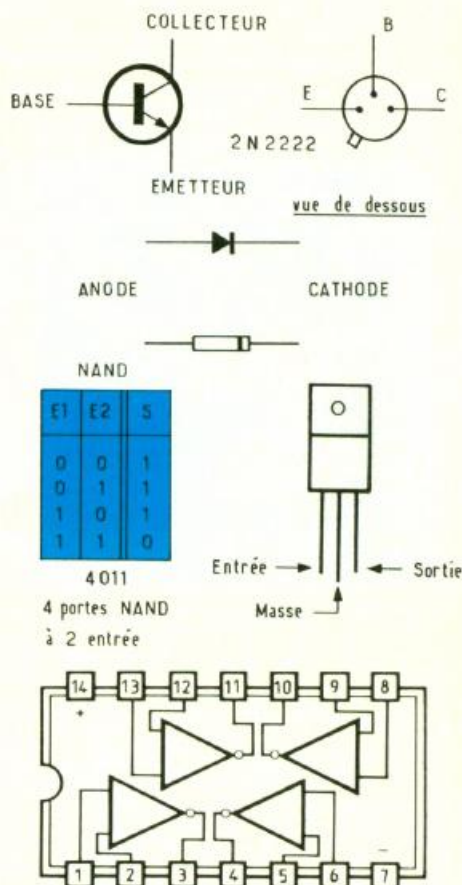
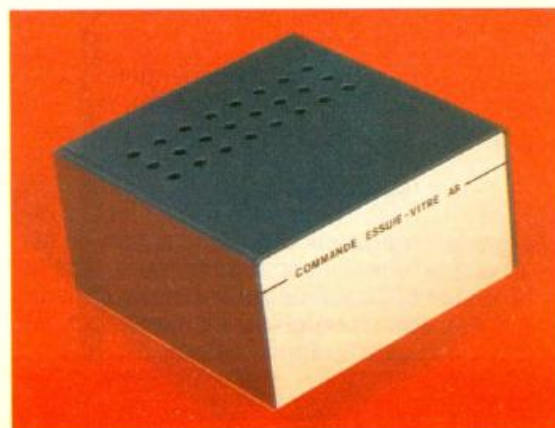


Photo 4. - Une mise en coffret robuste ESM s'avère indispensable.



# ANTIVOL : SIMULATEUR DE PANNES



Les alarmes signalant l'effraction des véhicules automobiles sont utiles et se généralisent. Mais, dans certains cas, elles ne suffisent pas. L'étude proposée permet d'empêcher le vol du véhicule, même si l'alarme ne démarre pas ou est neutralisée, et c'est l'essentiel demandé à une protection.

## PRESENTATION

Le but est de décourager l'éventuel voleur en faisant croire que la voiture présente une panne. Le montage doit donc donner l'illusion d'un problème sur l'allumage, c'est-à-dire que le moteur va bien démarrer, mais qu'il s'arrête quelques secondes après, cela jusqu'à huit fois. A partir du neuvième essai de démarrage, plus rien ne se passe, le moteur ne démarre même plus. C'est l'arrêt total et pour longtemps.

A noter que les temporisations pendant lesquelles le moteur va tourner sont fixées pour les cinq premiers démarrages ; pour les trois autres, elles sont aléatoires, ce qui ne peut que renforcer l'effet de panne...

## PRINCIPE

Le schéma de la figure 1 montre le principe.

Lorsque l'interrupteur  $I_1$  est basculé en position « marche », on coupe le circuit d'allumage et on l'oblige à passer par un contact de relais. Dès lors, c'est ce relais ( $R_2$ ) qui permettra ou pas la mise en route du moteur de la voiture. Comme l'entrée E du montage arrive sur deux contacts ouverts du relais et que l'entrée X n'est alimentée que lorsque le démarreur de la voiture est lancé par la position fugitive du Nieman, on voit que le montage ne consomme aucun courant au repos.

Chaque fois que le démarreur est lancé, l'entrée horloge d'un compteur décimal est excitée, ses dix sorties passeront successivement à l'état haut, apportant à chaque fois une nouvelle tem-



porisation, la sortie n° 10 devra, elle, interdire tout nouveau redémarrage.

## FONCTIONNEMENT

Lorsque l'entrée X est excitée pour la première fois (portée à + 12 V),  $C_5$  et  $C_6$  ne sont pas chargés, toutes les sorties du  $Cl_1$  sont à « 0 », le relais RL peut donc coller, alimenté via  $D_5$ ,  $D_6$  et  $T_4$  qui se sature puisqu'un courant de base peut circuler dans  $R_4$ . Les contacts B et M se ferment, B autorise l'alimentation du circuit d'allumage et M a un rôle d'automaintien qui alimente  $Cl_1$  et  $Cl_2$  via  $R_{14}$ ,  $R_{13}$ ,  $D_7$  ;  $T_2$  se

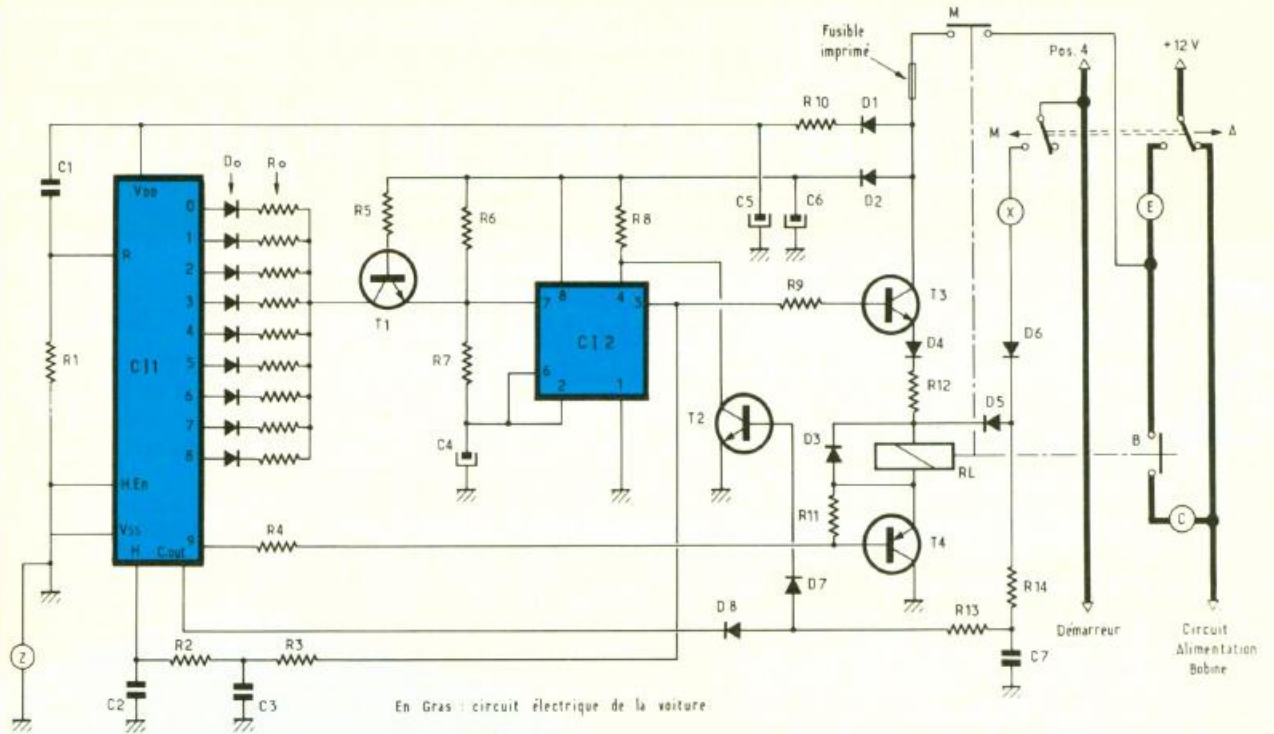
trouve donc saturé et force la sortie du  $Cl_2$  à « 0 ».

Dès que le moteur est lancé et que l'entrée X se trouve désexcitée,  $T_2$  se bloque,  $C_6$  est encore chargé, la sortie de  $Cl_2$  passe à « 1 »,  $T_3$  se sature et le relais RL reste collé, le moteur continue à tourner.  $T_2$  en se bloquant permet à  $C_4$  de se charger via  $R_7$  et  $R_6/R_0$ .

Dès que  $Cl_2$  se déclenche, sa sortie repasse à « 0 »,  $T_3$  se bloque, le relais n'est plus alimenté, B et M s'ouvrent, le moteur s'arrête,  $C_6$  se décharge rapidement dans  $Cl_2$ ,  $T_1$  se bloque. Le blocage de  $T_1$  permet à  $C_5$  de garder sa charge, puisqu'il n'alimente que  $Cl_1$  (C.MOS ne

# 1

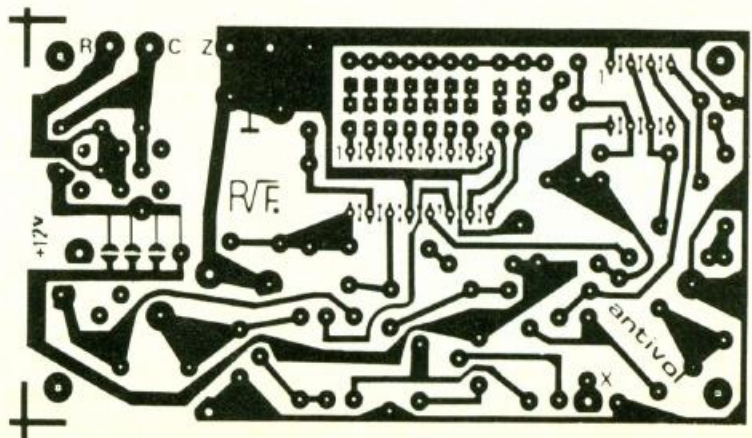
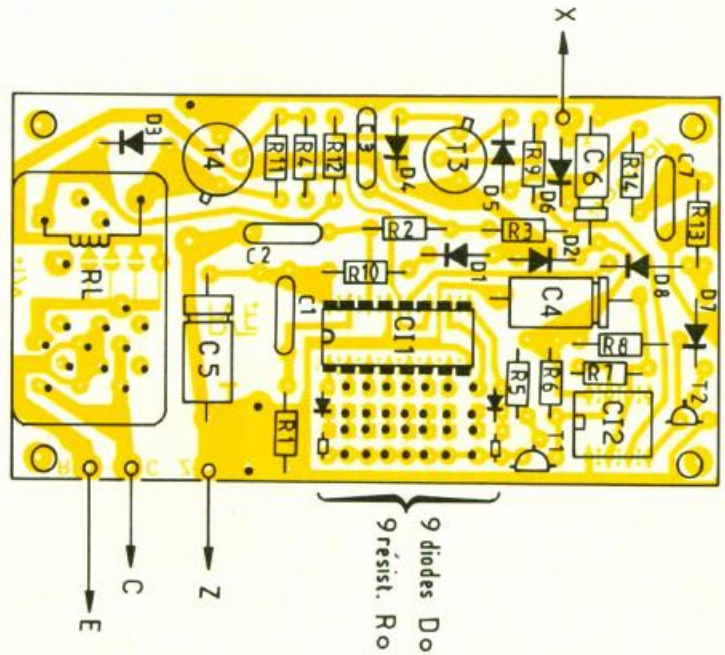
Lorsque l'interrupteur  $I_1$  est basculé en position « marche », on coupe le circuit d'allumage et on oblige à passer par un contact de relais.



En Gras : circuit électrique de la voiture

consommant quasiment rien), dont les sorties ne peuvent plus débiter de courant, les diodes  $D_0$  empêchant tout retour de sortie à sortie. La sortie de  $CI_1$  qui était à « 1 » garde son état ;  $C_1$  garde sa charge et empêchera un reset lors de la toute prochaine tentative de mise en route du moteur. Un cycle identique se reproduira pour les cinq premiers lancements de moteur. A chaque fois, au moment où la sortie de  $CI_2$  passe à « 1 », l'horloge du  $CI_1$  est excitée et la sortie suivante passe à 1 ; si les  $R_0$  diffèrent d'une sortie à l'autre, le temps pendant lequel le moteur va tourner différera à chaque fois et l'illusion d'une panne sera accentuée.

Lors du cinquième lancement, lorsque la sortie du  $CI_2$  fait passer la sortie 5 du  $CI_1$  à « 1 », la sortie « carry out » passe à « 0 » et y restera pendant les prochains lancements (voir fonctionnement du  $CI_1$  figure 6). Cette sortie à « 0 » empêche  $T_2$  de se saturer via  $D_8$ . Donc pour les temporisations sur les sorties 6, 7 et 8 de  $CI_1$ ,  $C_4$  se chargera dès que l'entrée X sera alimentée et le moteur tournera durant le temps de la temporisation moins le temps de lancement. Il faudra donc prévoir sur ces trois positions des valeurs de  $R_0$  telles que le moteur puisse un peu tourner après un temps de lancement de plusieurs secondes. Ce temps reste à l'appréciation de chacun... et à la façon dont la voiture réagit. On voit

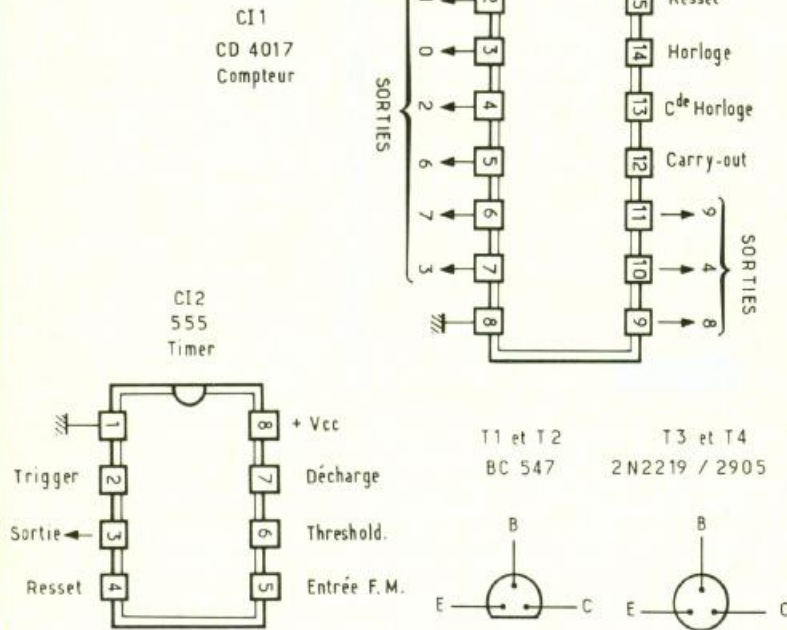


# 2

Le tracé du circuit imprimé permet de placer tous les éléments sur une plaquette de faibles dimensions.

# 3

Il est important de rappeler le brochage des divers composants.



donc bien que sur ces trois positions la durée d'allumage du moteur est aléatoire. Lorsque arrive le neuvième essai de lancement du moteur, c'est la sortie n° 9 du CI<sub>1</sub> qui va passer à « 1 », cela supprime le courant de base de T<sub>4</sub> (PNP) ; RL ne peut donc plus être alimenté, le mo-

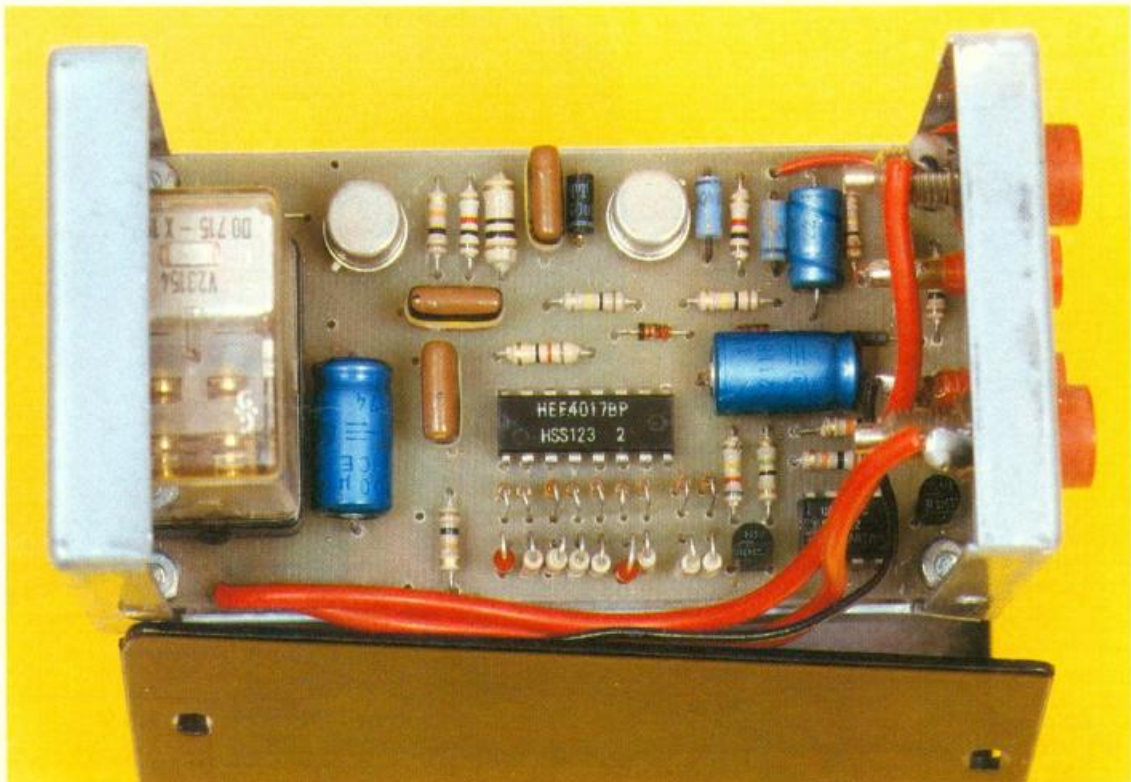
teur ne peut donc plus démarrer. Cet état durera tant que C<sub>5</sub> sera assez chargé pour que la sortie 9 du CI<sub>1</sub> soit vue à l'état haut par la base de T<sub>4</sub> et tant que celui-ci sera donc assez bloqué pour empêcher RL de coller. Ce temps est très long, dépend de la qualité de C<sub>5</sub> (certains courants de

fuite de condensateurs de récupération sont supérieurs au courant consommé par un circuit C.MOS). Si, à la fin de ce temps, on essaie à nouveau de lancer le moteur, c'est la sortie 0 du CI<sub>1</sub> qui déterminera la temporisation suivant sa R<sub>0</sub>. R<sub>14</sub>-C<sub>7</sub> et R<sub>2</sub>C<sub>2</sub>, R<sub>3</sub>C<sub>3</sub> sont des filtres anti-rebond pour éviter des problèmes dus aux variations brusque de la tension de la batterie durant l'alimentation du démarreur d'une voiture.

## REALISATION PRATIQUE

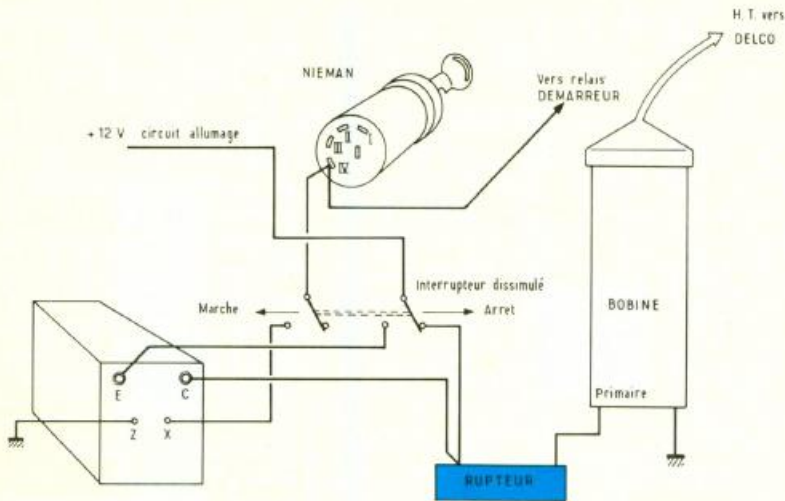
Le circuit imprimé ne pose pas de problème particulier, il sera ajusté à l'intérieur du boîtier et tenu par quatre vis de 3 mm à travers de petites entretoises. Les neuf diodes D<sub>0</sub> et les neuf résistances R<sub>0</sub> sont implantées verticalement. Il n'y a pas de réglage et le montage doit fonctionner immédiatement. Pour les temporisations, voici des valeurs relevées expérimentalement avec C<sub>4</sub> = 100 μF, R<sub>0</sub> = 10 kΩ, R<sub>0</sub> = 33 kΩ, R<sub>0</sub> = 56 kΩ, R<sub>0</sub> = 100 kΩ, R<sub>0</sub> = 150 kΩ, R<sub>0</sub> = 220 kΩ, R<sub>0</sub> = ∞, T = 3,7 s, T = 7 s, T = 10 s, T = 15,5 s, T = 20 s, T = 26 s, T = 1 mn 15 s. Le relais est fixé sur son support pour circuit imprimé.

Photo 2. - Comme d'usage, le module épouse les dimensions du coffret.



# 4

Le branchement sur la voiture réclamera une attention particulière au niveau du « Nieman ».



On remarquera sur le circuit imprimé figure 2 que le contact B de RL est constitué par trois contacts en parallèle. Le fusible est imprimé avec trois rechanges si une panne ou un faux branchement fait que l'un des fusibles se coupe ; mettre une goutte de soudure pour en établir un nouveau dans une des « pastilles » fendues.

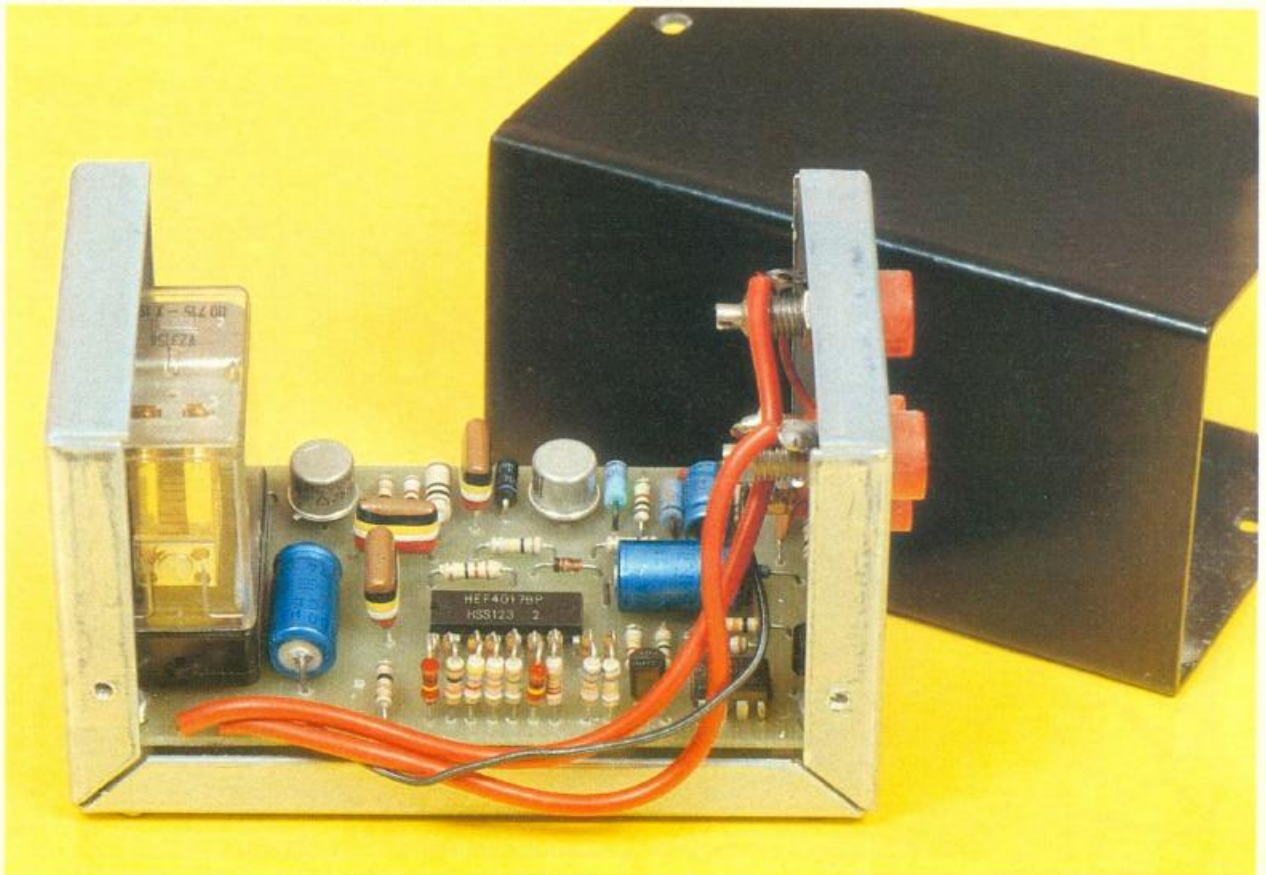
Pour le branchement sur la voiture, l'entrée X peut être reliée sur la cosse IV du Nieman. Bien repérer le circuit primaire de la bobine, ne pas se tromper de fil

au moment de couper pour insérer l'interrupteur ; celui-ci sera bien camouflé. Le raccordement au boîtier se fait par deux fiches bananes mâles  $\varnothing 5$  mm pour les entrées E et C et mâles  $\varnothing 3$  mm pour les entrées X et Z. Cacher le boîtier (fig. 4).

Enfin, pour savoir si oui ou non, une fois tout bien monté, cela ressemble bien à une panne, faites faire un essai par votre garagiste sans lui dire votre installation...

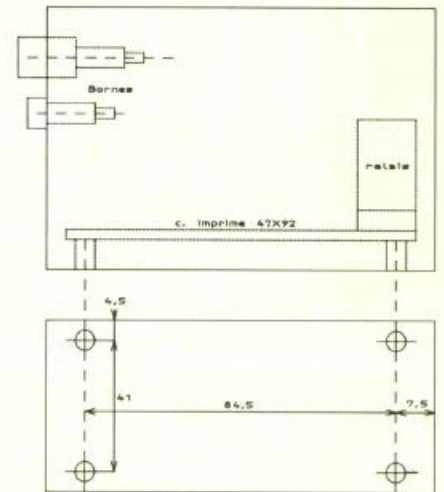
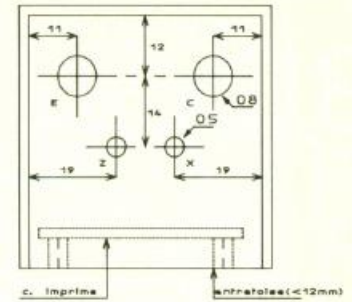
F. RIVIÈRE

Photo 3. – Ce système de coffret présente une excellente accessibilité.



# 5

Plan de perçage du coffret Teko et installation du circuit à l'intérieur.



## LISTE DES COMPOSANTS

### Résistances (1/4 W)

$R_0$  : voir texte

$R_1$  : 10 k $\Omega$  (marron, noir, orange)

$R_2, R_3, R_{14}$  : 100 k $\Omega$  (marron,

noir, jaune)

$R_7, R_8, R_{11}, R_{13}$  : 10 k $\Omega$  (marron, noir, orange)

$R_{10}, R_{12}$  : 10  $\Omega$  (marron, noir, noir)

$R_4, R_9$  : 1 k $\Omega$  (marron, noir, rouge)

$R_5$  : 820 k $\Omega$  (gris, rouge, jaune)

$R_6$  : 1 M $\Omega$  (marron, noir, vert)

### Condensateurs

$C_1$  : 0,1  $\mu$ F

$C_2, C_3$  : 0,1  $\mu$ F

$C_4, C_5$  : 100  $\mu$ F, 16 ou 25 V

$C_6$  : 22  $\mu$ F, 16 ou 25 V

$C_7$  : 10 nF

### Semi-conducteurs

$CI_1$  : CD 4017

$CI_2$  : 555

$T_1, T_2$  : BC 547 B ou équivalent

$T_3$  : 2N2219 ou équivalent

$T_4$  : 2N2905

$D_0$  : 9 diodes 1N4148

$D_1, D_2, D_3, D_7, D_8$  : 1N4148

$D_4, D_5, D_6$  : 1N4004 ou 4006

### Divers

$RL$  : relais Siemens type D0715 (K4 12 V) avec son support pour C-imprimé (4 inverseurs)

Boîtier Teko 331 (100 x 63, x 53)

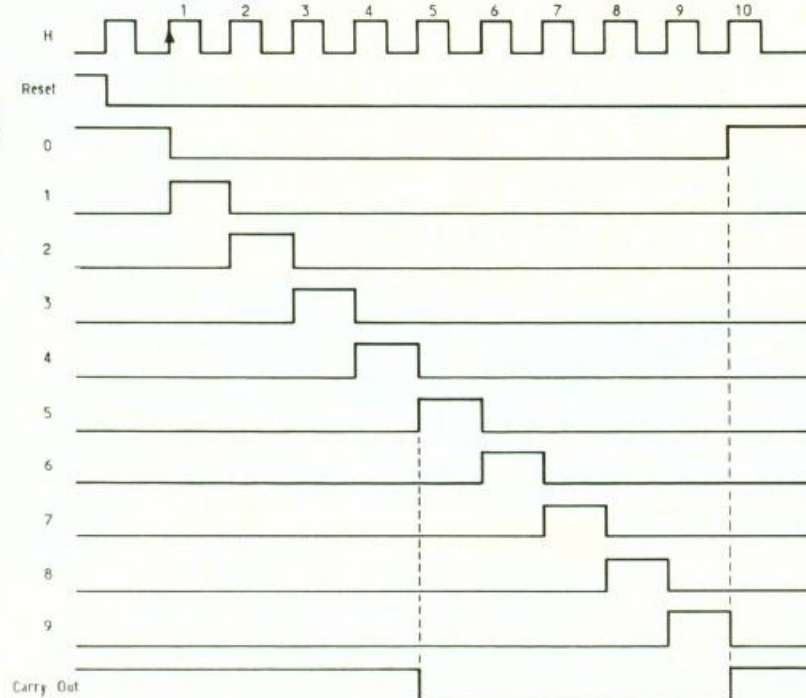
2 bornes bananes femelles  $\leq 5$  mm pour les entrées E et C

2 bornes bananes femelles  $\varnothing 5$  mm pour les entrées E et C

2 bornes bananes femelles  $\varnothing 3$  mm pour les entrées Z et X

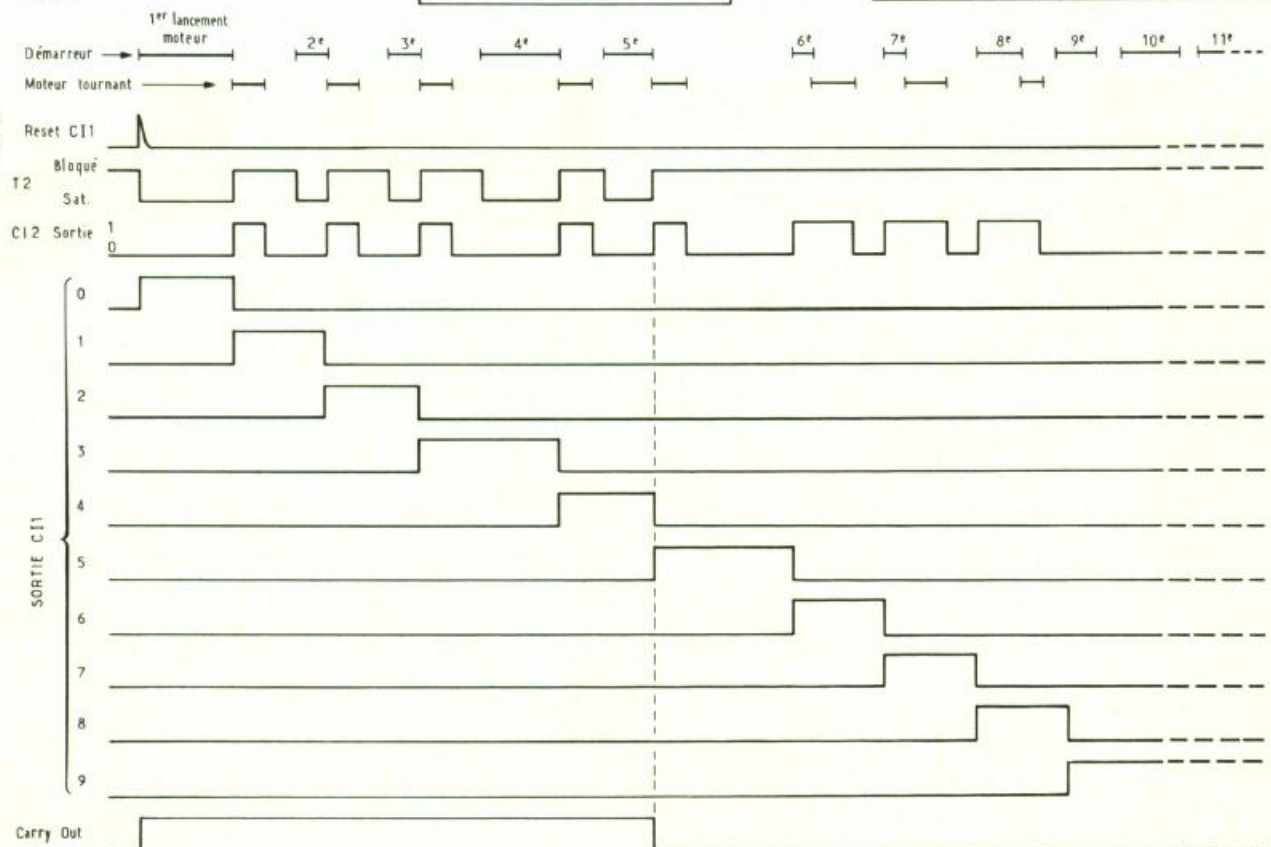
# 6

Diagramme des temps du compteur 4017.



# 7

Diagramme résumé de fonctionnement.



On suppose que les sorties 0 à 5 ont une  $R_0$  telle que la temporisation est de 5 secondes et les sorties 6 à 8 une  $R_0$  telle que la temporisation est de 10 secondes. Il est bien visible pour les cinq premiers lancements :  $T_2$  est saturé durant le lancement, le moteur tourne durant la temporisation voulue. Pour les trois lancements suivants,  $T_2$  ne se sature plus, le moteur tourne durant la temporisation moins le temps de lancement. La première temporisation dépend de la  $R_0$  de la sortie n° 1 du  $CI_1$ , la deuxième de la  $R_0$  de la sortie n° 2 du  $CI_1$ , etc. Lorsque la sortie n° 9 passe à 1, tout se bloque. Les sorties 1 à 5 passent à « 1 » et démarrent la temporisation lorsque  $T_2$  se bloque en fin de lancement, les sorties 6 à 8 dès le début du lancement moteur.

# LE FLUKE 87



Vous arrive-t-il, fréquemment, de rencontrer un multimètre qui génère un signal sonore lors d'une mesure, lorsque vous ne branchez pas correctement les cordons ? Alors lisez ce banc d'essai, et vous découvrirez ainsi les autres caractéristiques de ce prodigieux appareil qu'est le Fluke 87.

La nouvelle série 80 de Fluke regroupe des multimètres de poche analogiques/numériques très performants. Issu de cette famille, le **87** allie fiabilité, puissance et précision.

## LE DESIGN

L'appareil conçu tel quel aborde une esthétique harmonieuse, avec des formes arrondies, un gris anthracite faisant ressortir la sérigraphie, un clavier à touches molles et un rotacteur à 8 positions, permettant une manipulation aisée. Le boîtier, rendu **étanche** aux projections de liquides ainsi qu'aux poussières, s'enveloppe dans une **protection mécanique** couleur jaune vif, garantissant l'appareil contre les chocs.

Cet étui à fixation rapide est équipé d'une **béquille flexible** très pratique, s'accommodant de beaucoup de situations, comme en témoignent les dessins de la **figure 1**.

Ajoutons à ceci que le multimètre recèle également une **protection contre les rayonnements magnétiques** grâce à un blindage.

## L'AUTOTEST

A chacune des mises sous tension ou à chaque lente rotation du commutateur central, le Fluke 87 effectue un autotest consistant à allumer la totalité des symboles disponibles à l'affichage.

## L'AFFICHAGE

Le multimètre dispose de deux modes :

- **L'analogique** : comprenant **32 segments** et **rafraîchi 40 fois par**



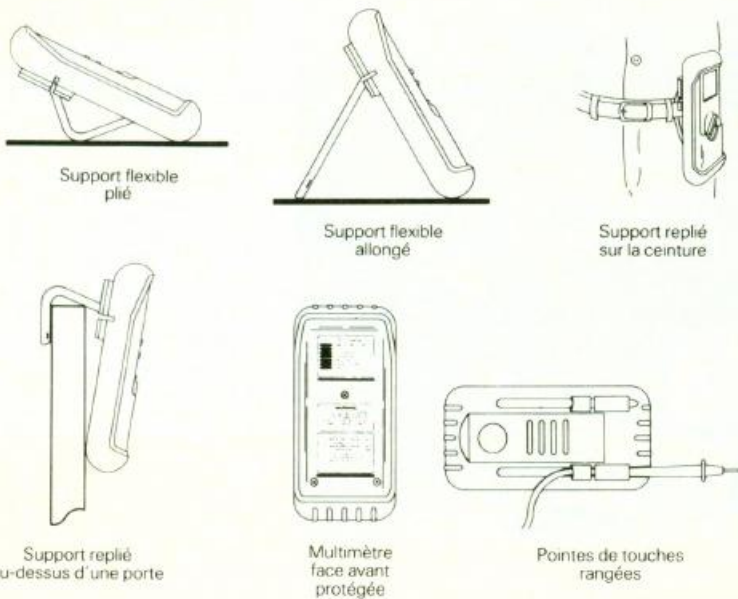
**seconde**. Il n'est pas actif en modes capacimètre, fréquencemètre, en mesure de rapport cyclique, ni en mode MIN/MAX de

crête (où il serait tout à fait inutile d'ailleurs).

Le curseur de l'affichage analogique, sur l'échelle, représente les

# 1

Divers modes d'utilisation de l'appareil.



## L'ECLAIRAGE

Le multimètre dispose d'un éclairage latéral fait de quatre points lumineux, permettant une lecture aisée des mesures, dans les coins les plus sombres. Pour des raisons d'économie de pile, une extinction automatique se produit au bout de **68 secondes**.

## L'EXTINCTION AUTOMATIQUE DE L'APPAREIL

La mise hors tension automatique permet également de prolonger la durée de vie de la pile. Elle intervient au bout d'une trentaine de minutes si ni le rotacteur ni le clavier n'ont été manipulés.

## LA TOUCHE HOLD

Elle permet de garder son attention sur la mesure en cours, si celle-ci se réalise dans des conditions difficiles ou dangereuses (absence de lumière...), puis de lire l'affichage au moment opportun.

Lors de l'appui sur cette touche, la valeur de la dernière mesure effectuée est mémorisée. Si une nouvelle valeur stable est détectée, celle-ci est immédiatement

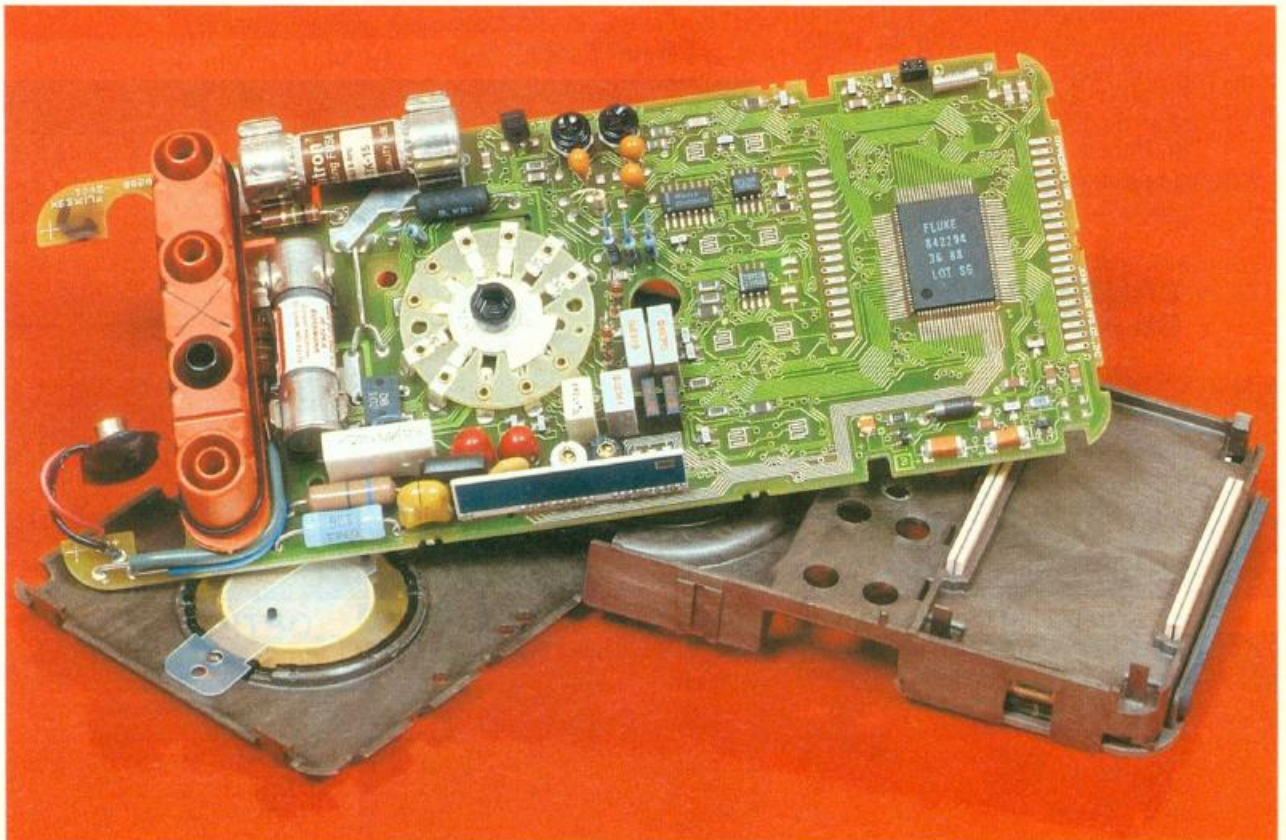
trois derniers chiffres de l'affichage numérique. Ainsi, pour une mesure de 800, le curseur se positionnera sur 8.

Ce type d'affichage permet de suivre de rapides variations de mesure que le numérique est incapable de réaliser.

● **Le numérique** : commuté en **4 000 points** à la mise sous tension de l'appareil. L'affichage se

rafraîchit alors **4 fois par seconde** (excepté en fréquencemètre  $\Rightarrow$  3 fois par seconde). Cependant, grâce à un convertisseur très performant, il devient possible de le configurer en 4,5 digits, soit en **20 000 points**. L'affichage se rafraîchit alors **une fois par seconde**. Toutefois, la résolution devient sensiblement plus élevée.

Photo 2. – On ne peut reconnaître qu'une très sérieuse fabrication.



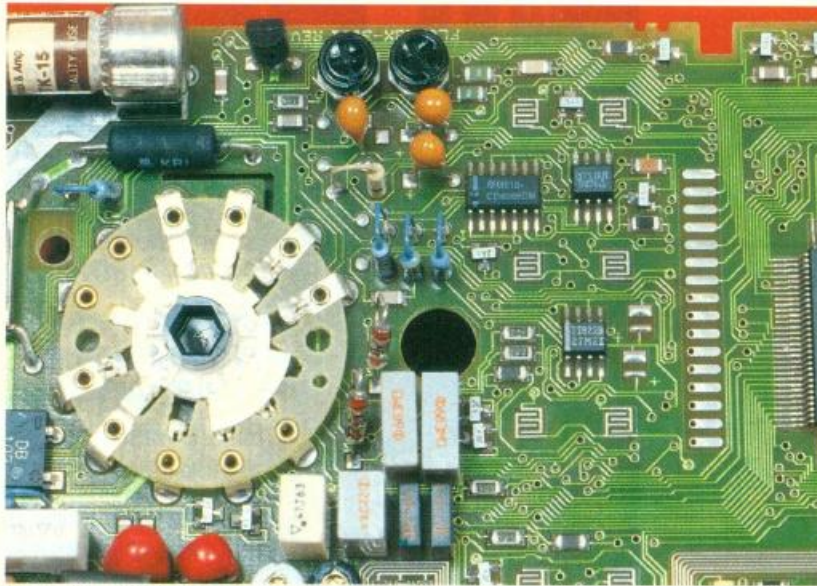


Photo 3. – Qualité et haute intégration autour du commutateur.

## FUNCTION INPUT ALERT

Le Fluke 87 génère un **signal sonore d'alerte** dans le cas où les cordons de mesure ne seraient pas correctement branchés par rapport à la mesure sélectionnée. On réduit ainsi les risques de détérioration, voire même de destruction de l'appareil : imaginons que vous réglez le rotacteur sur un calibre voltmètre et que vous connectez les cordons sur les bornes ampèremètre. Que se passerait-il en temps normal ?

Tableau

1

prise en compte, tandis qu'un signal sonore retentit, annonçant la capture. Il s'agit donc d'une véritable touche HOLD.

## SELECTION DES CALIBRES ET DES FONCTIONS

Le multimètre utilise un clavier de 8 touches « molles » conjointement à un rotacteur de 8 positions. Cet ensemble permet de sélectionner les modes de fonctionnements ainsi que de régler les options de mise en service. En effet, à chaque mise sous tension de l'appareil, il est possible de choisir entre différentes configurations. Le **tableau 4** résume ces cas.

## CALIBRAGE MANUEL OU AUTOMATIQUE

L'automatisation des gammes permet souvent de gagner du temps et facilite le travail sur site. Elle permet également d'éviter de faire de spectaculaires erreurs de précision par inadéquation du calibre.

À la mise sous tension, ou lors de manœuvres du rotacteur, l'appareil se trouve en **mode automatique**. Si l'on désire passer en mode manuel, il est possible de le faire facilement. Cette configuration devient intéressante lorsque l'on travaille dans la limite supérieure d'un calibre, pour garder une bonne stabilité de l'affichage.

Fonction	Calibre	Résolution	Précision*		
			50 Hz-60 Hz	45 Hz-5 kHz	5 kHz-20 kHz**
V	400 mV	0,1 mV	± (0,7 % + 4)	± (1,0 % + 4)	= (2,0 % + 4)
	4 V	0,001 V	± (0,7 % + 2)	± (1,0 % + 4)	= (2,0 % + 4)
	40 V	0,01 V	± (0,7 % + 2)	± (1,0 % + 4)	= (2,0 % + 4)
	400 V	0,1 V	± (0,7 % + 2)	± (1,0 % + 4)	= (2,0 % + 4)
	1 000 V	1 V	± (0,7 % + 2)	± (1,0 % + 4)**	non spécifiée

\* La précision est donnée pour +/- ([% de la lecture] + [nombre de digits]). En mode 4,5 digits, multiplier ce nombre de digits par 10. Les valeurs affichées sont des valeurs efficaces, étalonnées sur un signal sinusoïdal et valides de 5 à 100 % de la gamme. Le facteur de crête peut atteindre 3 pour le plein calibre, 6 pour la moitié du calibre.

\*\* Au-dessous de 10 % du calibre, ajouter 16 unités.

Fonction	Calibre	Résolution	Précision
V	4 000 V	0,001 V	± (0,1 % + 1)
	40 V	0,01 V	± (0,1 % + 1)
	400 V	0,1 V	± (0,1 % + 1)
	1 000 V	1 V	± (0,1 % + 1)
mV	400 mV	0,1 V	± (0,1 % + 1)
Ω	400 Ω	0,1 Ω	± (0,2 % + 1)
	4 kΩ	0,001 kΩ	± (0,2 % + 1)
	40 kΩ	0,01 kΩ	± (0,2 % + 1)
	400 kΩ	0,1 kΩ	± (0,2 % + 1)
	4 MΩ	0,001 MΩ	± (0,2 % + 1)
(ns)	40 MΩ	0,01 MΩ	± (1 % + 3)
	40 ns	0,01 ns	± (1 % + 10)

Calibre	Déclenchement si
400 Ω	< 20 Ω
4 kΩ	< 100 Ω
40 kΩ	< 1 kΩ
400 kΩ	< 10 kΩ
4 MΩ	< 100 kΩ
40 MΩ	< 100 kΩ

## OPTION HAUTE IMPEDANCE

Afin de ne pas perturber le circuit sur lequel on effectue une mesure de tension, l'impédance d'entrée du calibre 400 mV continu peut être portée de 10 MΩ à plus de 4 000 MΩ.

Tableau

2

Sensibilité du fréquencemètre et niveau de déclenchement			
Calibre d'entrée	Sensibilité minimale (sinusoidal, efficace)		Niveau de déclenchement approximatif (en tension continue)
	5 Hz-20 kHz	0,5 Hz-200 kHz	
Entrée maximale pour la précision donnée = 10 X calibre ou 1 000 V			
400 mV dc 400 mV ac 4 V 40 V 400 V 1 000 V	70 mV (à 400 Hz) 30 mV 0,3 V 3 V 30 V 300 V	70 mV (à 400 Hz) 150 mV 0,7 V 7 V 70 V ( $\leq 140$ kHz) 700 V ( $\leq 14$ kHz)	40 mV - 1,7 V 4 V 40 V 400 V

Rapport cyclique 0.0 to 99,9 %  
**Précision :**  
 \* à  $\pm (0,05 \% \text{ par kHz} + 0,1 \%)$  du calibre pour un signal d'entrée logique 5 V dans la gamme de mesure 4 V.  
 \* à  $\pm ([0,06 \% \times \text{gamme de tension/tension mesurée}] \times 100 \%)$  du calibre pour un signal sinusoidal sur une gamme de tension alternative.

### ENREGISTREMENT DES VALEURS MINIMUM-MAXIMUM ET MOYENNES

Ce mode permet de stocker en mémoire pendant une période allant de quelques secondes à plus de 35 heures, simultanément, la plus faible, la plus forte et la **moyenne vraie** (intégrale mathématique du signal d'entrée) de toutes les valeurs mesurées, à condition qu'elles puissent durer au moins **100 ms** ou **une seconde**, suivant le calibre. Il existe également un **mode crête – une milliseconde** – permettant d'enregistrer les minimales et les maximales.

A noter que lorsqu'une nouvelle valeur s'enregistre, l'avertisseur émet un signal sonore.

### FONCTION TEST-DIODE

Cette fonction permet de mesurer la chute de tension d'une jonction de semi-conducteur traversée par une intensité d'environ un milliampère. La tension aux bornes des pointes de touche, en circuit ouvert, ne dépasse pas 3,9 V continus.

### TEST DE CONTINUITÉ

Cette fonction permet de vérifier la continuité électrique d'un circuit à l'aide de l'affichage et d'une signalisation sonore. En effet, un avertisseur émet un bip si la résistance mesurée descend au-dessous d'une certaine valeur indiquée dans le **tableau 1**.

### MESURE DE FREQUENCE

Que ce soit en mode manuel ou en mode automatique, l'appareil dispose de **5 calibres** : 200 Hz, 2 kHz, 20 kHz, 200 kHz, et un calibre supérieur à 200 kHz.

Le multimètre peut ainsi relever la fréquence sur des mesures de tension ou de courant. La sensibilité variera suivant le calibre sélectionné comme l'indique le **tableau 2**.

L'affichage indiquera le sens de la pente de déclenchement qu'il est possible de sélectionner (transition positive ou négative)

### MESURE DE RAPPORT CYCLIQUE

Le Fluke 87 effectue des mesures de rapport cyclique et les affi-

Tableau

3

Fonction	Calibre	Résolution	Précision	Tension de déchet
$\mu\text{A}$ (45 Hz to 2 kHz) $\mu\text{A}$	400 $\mu\text{A}$	0,1 $\mu\text{A}$	$\pm (1,0 \% + 2)$	100 $\mu\text{V}/\mu\text{A}$
	4 000 $\mu\text{A}$	1 $\mu\text{A}$	$\pm (1,0 \% + 2)$	100 $\mu\text{V}/\mu\text{A}$
	400 $\mu\text{A}$	0,1 $\mu\text{A}$	$\pm (0,2 \% + 2)$	100 $\mu\text{V}/\mu\text{A}$
	4 000 $\mu\text{A}$	1 $\mu\text{A}$	$\pm (0,2 \% + 2)$	100 $\mu\text{V}/\mu\text{A}$
Fonction	Calibre	Résolution	Précision	
Fréquencemètre (0,5 Hz to 200 kHz, largeur d'impulsion > 2 $\mu\text{s}$ )	199,99 kHz	0,01 Hz	$\pm (0,005 \% + 1)$	
	1 999,9 kHz	0,1 Hz	$\pm (0,005 \% + 1)$	
	19,999 kHz	0,001 kHz	$\pm (0,005 \% + 1)$	
	199,99 kHz	0,01 kHz	$\pm (0,005 \% + 1)$	
	> 200 kHz	0,1 kHz	$\pm (0,005 \% + 1)$	

Tableau  
**3**

Calibre d'entrée	Sensibilité approximative (0,5 Hz-20 kHz)	Niveau approximatif de déclenchement	
		Courant AC	Courant DC
$\mu\text{A}$ mA A	300 $\mu\text{A}$ 30 mA 3 A	0 $\mu\text{A}$ 0 mA 0 A	400 $\mu\text{A}$ 40 mA 4 A

Fonction	Calibre	Résolution	Précision***
Capacimètre	5 nF	0,01 nF	$\pm (1\% + 35) \dagger$
	0,05 $\mu\text{F}$	0,0001 $\mu\text{F}$	$\pm (1\% + 2)$
	0,5 $\mu\text{F}$	0,001 $\mu\text{F}$	$\pm (1\% + 2)$
	5 $\mu\text{F}$	0,01 $\mu\text{F}$	$\pm (1\% + 2)$
Test-diode	3 V	0,001 V	$\pm (2\% + 1)$

Fonction	Calibre	Résolution	Précision	Tension de déchet
mA ~ A ~ (45 Hz to 2 kHz)	40 mA	0,01 mA	$\pm (1,0\% + 2)$	1,5 mV/mA
	400 mA	0,1 mA	$\pm (1,0\% + 2)$	1,5 mV/mA
	4 000 mA	1 mA	$\pm (1,0\% + 2)$	0,03 V/A
	10 A††	0,01 A	$\pm (1,0\% + 2)$	0,03 V/A
mA A	40 mA	0,01 mA	$\pm (0,2\% + 2)$	1,5 mV/mA
	400 mA	0,1 mA	$\pm (0,2\% + 2)$	1,5 mV/mA
	4 000 mA	1 mA	$\pm (0,2\% + 2)$	0,03 V/A
	10 A††	0,01 A	$\pm (0,2\% + 2)$	0,03 V/A

\*\*\* Avec condensateur film ou autre meilleur.  
 †  $\pm (1\% + 2 \text{ digits})$  si le mode relatif annule la capacité parasite.  
 †† 10 A continuellement, 20 A pendant 30 secondes maximum.

che en pourcentage (de 0 à 99,9 %). L'appareil peut également déclencher sur front montant ou sur front descendant, comme en mode fréquencemètre. La fonction dont il est question ici, par l'intermédiaire d'un

calcul, permet de mesurer l'angle de « calage » d'une voiture.

### MODE RELATIF

Cette fonction permet de mettre en mémoire une mesure et d'affi-

cher à l'écran la différence entre la valeur mesurée et la valeur mémorisée.

**Exemple :** ayant U mémorisée = 20 V et U mesurée = 23 V, l'afficheur indiquera 3 V.

En capacimètre, ce mode devient intéressant pour supprimer la capacité parasite, ou en ohmmètre afin de ne pas tenir compte de la résistance des cordons. On pourra également l'utiliser en électronique pour appairer des composants, en se fixant une tolérance.

## LES CARACTERISTIQUES PRINCIPALES

(Voir tableaux).

## CONCLUSIONS

Eu égard au sérieux et à la qualité redoutables que le constructeur américain a su investir dans son dernier modèle, celui-ci devrait remporter un vif succès mérité. Commercialisé à un peu plus de deux mille francs, ce multimètre supplante de loin ses homologues avec un tel rapport qualité-prix.

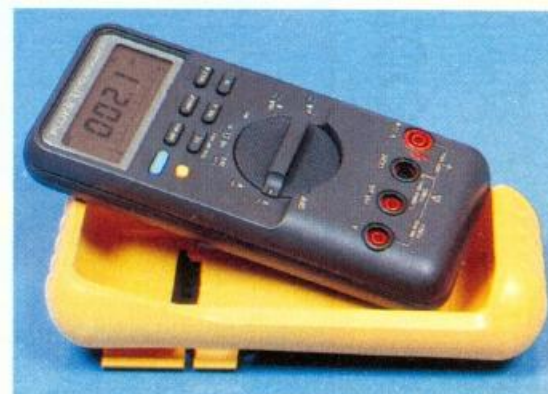
Possédant une protection de 1 000 V efficaces en voltmètre, ohmmètre, test-diode, une **protection complète de tous les calibres ampèremètre** ainsi que le système « INPUT ALERT », Fluke peut se permettre, sans crainte aucune, de garantir le Fluke 87 **trois ans**, pièces détachées et main-d'œuvre. Cet appareil, distribué en France par **Philips**, bénéficie d'une large gamme d'accessoires, étendant ses possibilités.

Christophe PICHON

Photo 4. - Vue d'ensemble de l'appareil et de son étui antichoc.

Tableau  
**4**

Option	Fonction
Mise hors tension automatique	Invalide la mise hors tension automatique
Mode 4-1/2 digits	Sélectionne l'affichage de 20 000 points
Vitesse d'enregistrement MIN/MAX	Sélectionne la vitesse d'enregistrement de haute précision (1 seconde)
Contrôle du sélecteur rotatif	A seule fin d'entretien
Sortie de données sonore	Assure la transmission des données en ultrasons. A seule fin de fabrication ou d'entretien
Invalidation de l'avertisseur sonore	Arrête toutes les fonctions de l'avertisseur
Haute impédance d'entrée sur le calibre 400 mV continu	Assure une impédance d'entrée supérieure à 4 000 M $\Omega$



# UN BADGE OPTIQUE



La mode est aux badges et aux cartes de toutes sortes donnant accès aux services les plus divers. Alors, pourquoi ne pas entreprendre la réalisation de ce badge optique qui pourra servir de « sésame », contrôlant par exemple l'entrée de votre maison ou de toute autre porte d'accès ?

## I - LE PRINCIPE

Le badge peut être une carte téléphonique récupérée dans laquelle, et suivant des règles bien définies, ont été percés des trous déterminant un certain code. Ce code est une suite de trois nombres de 1 à 16, ce qui donne  $(16)^3 = 4\,096$  façons différentes de choisir son numéro secret. Le badge comporte ainsi cinq pistes de lecture :

- 4 pistes A, B, C et D servant de trame de base du codage ;
- 1 piste V de validation et de commande de la lecture d'un chiffre donné.

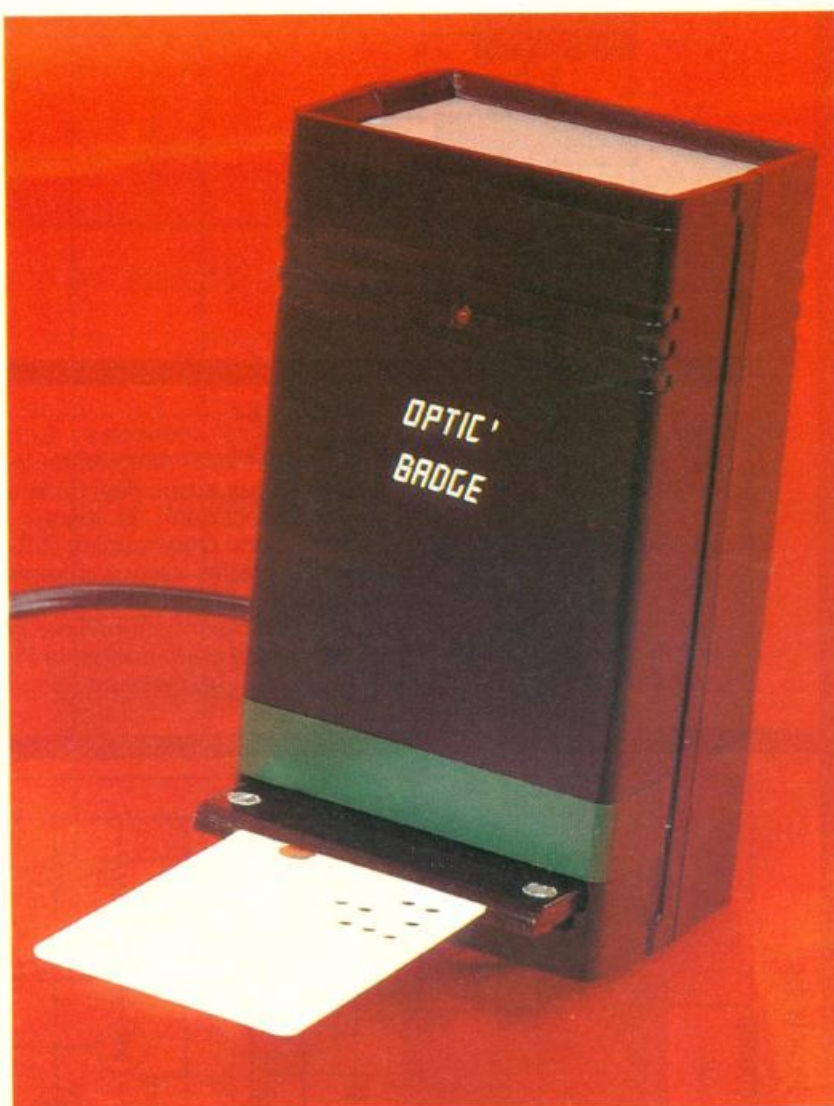
En introduisant la carte dans le lecteur, les trois chiffres sont lus par un dispositif optique approprié, l'un à la suite de l'autre, et sont respectivement comparés à ceux définis par une programmation interne préalable du montage. S'il y a cohérence entre les deux suites, un relais d'utilisation se ferme pendant quelques secondes. Ce relais peut, par exemple, avoir ses contacts « travail » insérés dans le circuit d'alimentation d'une gâche électrique.

La synoptique de la **figure 1** illustre le principe de fonctionnement de l'ensemble, que nous passerons en revue dans le chapitre suivant.

## II - FONCTIONNEMENT ELECTRONIQUE

### a) Alimentation (fig. 2)

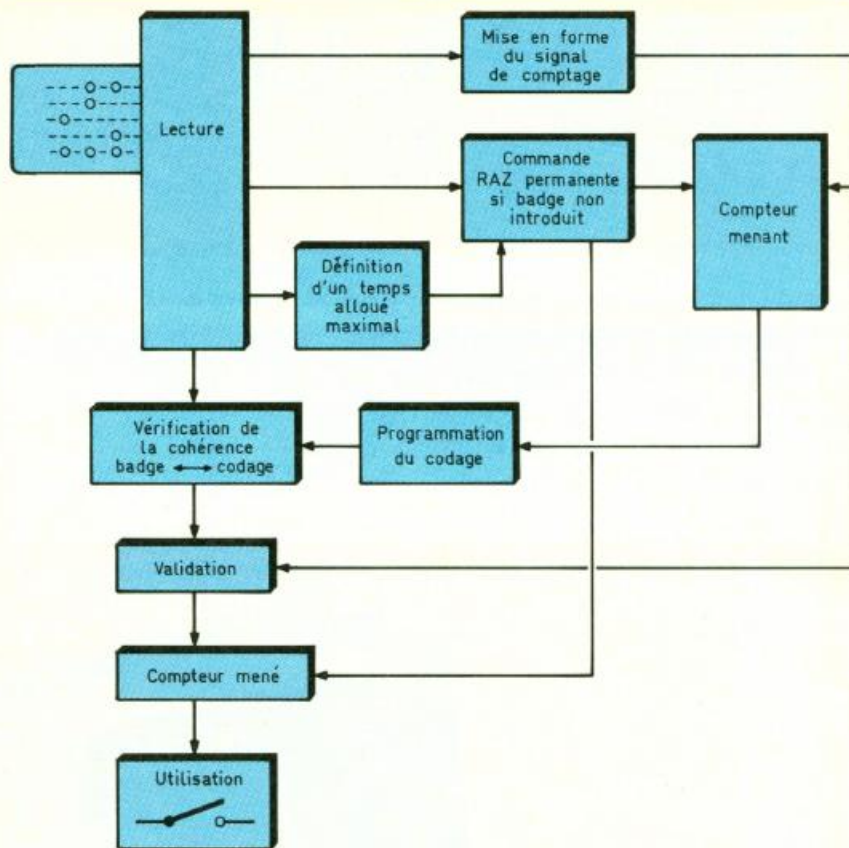
Le montage étant installé à poste fixe et de surcroît alimenté en permanence, l'énergie nécessaire sera prélevée du secteur



220 V. Un transformateur abaisse donc la tension primaire à une valeur secondaire de 12 V dont un pont de diodes effectue le redressement des deux alternances. La capacité  $C_1$  assure un premier filtrage, et l'émetteur du transistor NPN  $T_1$ , dont la base

est maintenue à un potentiel fixe grâce à la diode Zener  $DZ$ , délivre une tension continue de l'ordre de 8,5 V. La capacité  $C_2$  fait office de second filtre et  $C_3$  est davantage chargée d'éliminer du circuit les éventuelles fréquences parasites. La LED  $L$ , dont le cou-

1 *Synoptique : le badge peut être une carte téléphonique récupérée et percée suivant un code particulier.*



on enregistre donc un état haut. En revanche, lorsque l'espace DIR-PHT se trouve entièrement dégagé, le phototransistor se sature et on relève sur son collecteur un état bas. Les portes NOR I à IV de IC<sub>1</sub> et III de IC<sub>2</sub> inversent ces niveaux logiques, si bien que l'on peut énoncer la règle suivante :

- un « trou » se traduit par un état haut à la sortie de la porte NOR du signal correspondant ;
- un « plein » se caractérise par un état bas sur la sortie de la porte NOR.

### c) Compteur menant (fig. 3)

Examinons plus particulièrement les conséquences de la succession des trous relevés sur la piste de validation V. Notons que cette piste comportera toujours trois trous, indépendamment du codage retenu. Nous verrons en plus que le diamètre de ces trous est volontairement plus petit que celui qui caractérise les trous de codage : l'explication apparaîtra plus tard.

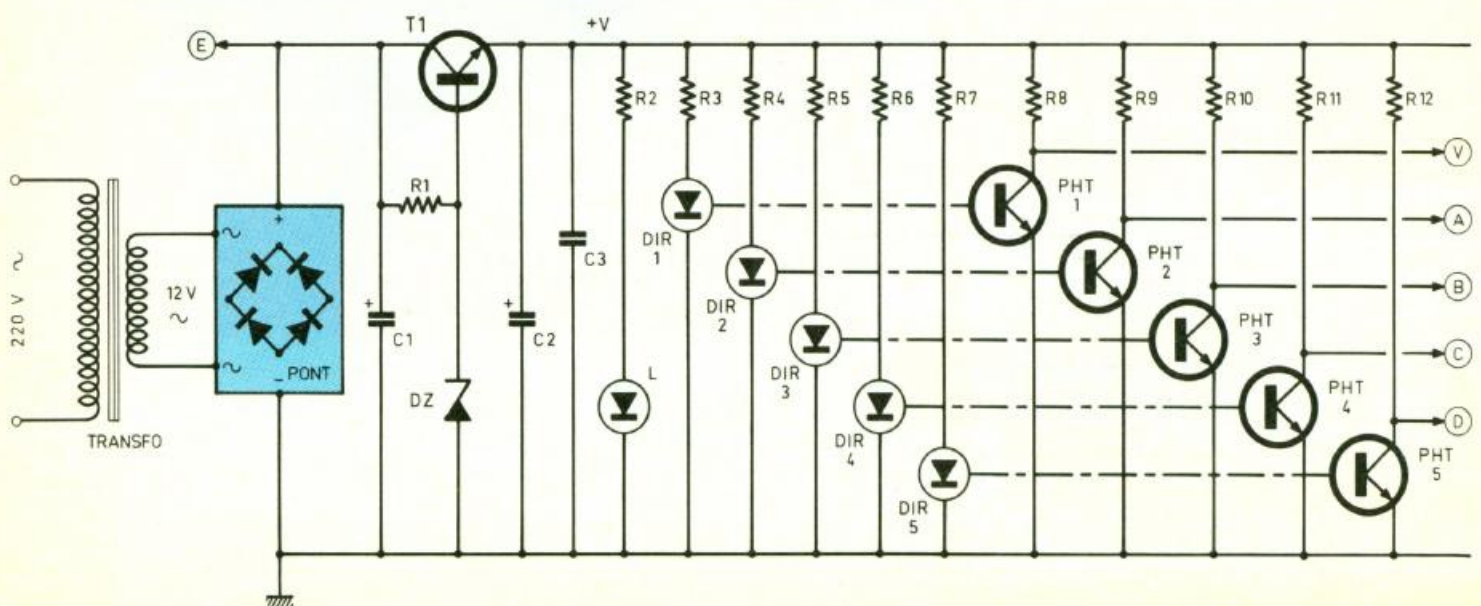
Donc, au moment où se présente un trou dans l'espace DIR-PHT, on relève un état haut sur la sortie de la porte NOR III de IC<sub>1</sub>. Le front montant de ce signal est pris en compte par le montage dérivateur constitué par la capacité C<sub>6</sub>, la résistance R<sub>16</sub> et la diode D<sub>10</sub>. En effet, C<sub>6</sub> se charge à ce moment à travers R<sub>16</sub>, si bien que l'on constate sur la cathode de D<sub>10</sub> une brève impul-

rant est limité par la résistance R<sub>2</sub>, indique le fonctionnement correct de l'alimentation.

### b) Lecture du badge (fig. 2 et 3)

Les trous percés dans le badge défilent entre une diode infrarouge émettrice et un phototran-

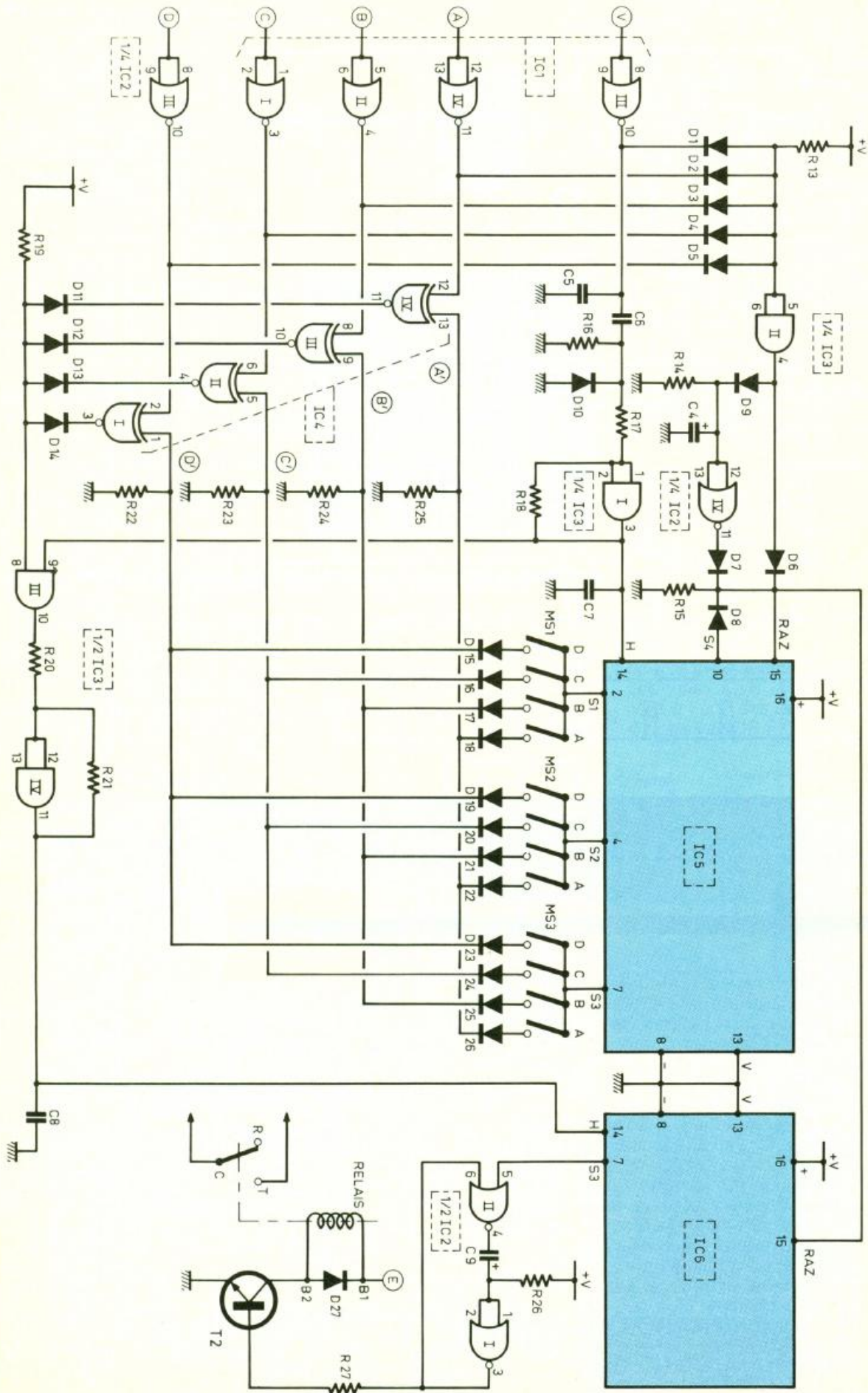
sistor récepteur. Compte tenu des cinq rangées de lecture dont nous avons déjà parlé au chapitre précédent, le lecteur comporte donc cinq couples DIR-PHT. Tant que les rayons infrarouges émis par la DIR et le PHT correspondant sont coupés par la présence de la carte badge, le PHT est bloqué. Au niveau de son collecteur,



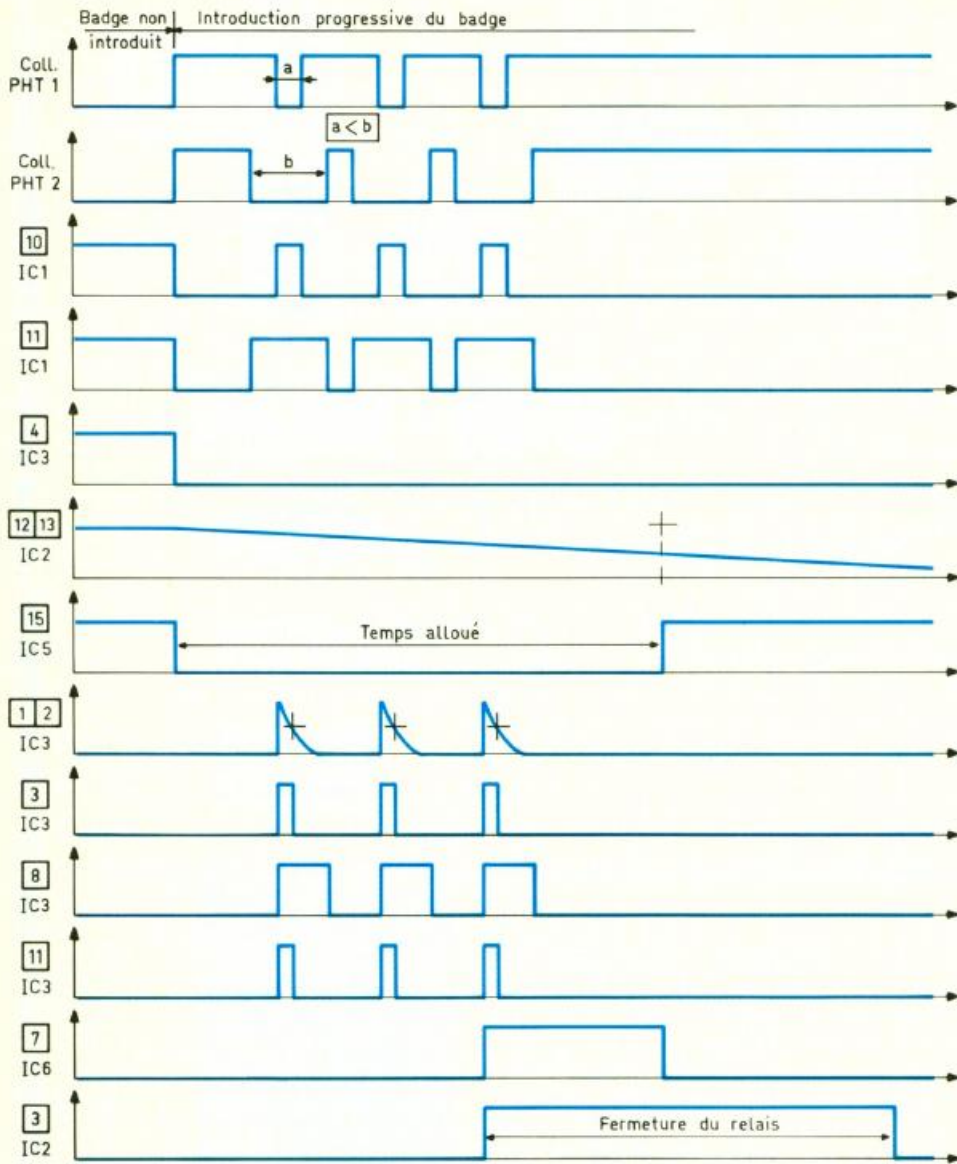
2 *Le schéma de principe de la section alimentation et lecture fait appel à des phototransistors.*

# 3

Validation de la lecture et vérification du codage.  
Utilisation de circuits compteurs 4017.  
De tels compteurs avancent pas à pas au rythme des fronts ascendants présentés sur l'entrée horloge.



# 4 Oscillogrammes de fonctionnement : exemple du codage 0001 répété trois fois.



sion positive constituée d'un front ascendant vertical, suivi d'une baisse progressive du potentiel. Lorsque la porte NOR présente à nouveau son état bas de repos,  $C_6$  se décharge très rapidement grâce à la présence de  $D_{10}$ , qui shunte  $R_{16}$ . Cette impulsion positive est ensuite acheminée vers un trigger de Schmitt constitué par la porte AND I de  $IC_3$ . Rappelons qu'un tel montage, étant donné la réaction positive apportée par  $R_{18}$  au moment des changements d'état, provoque une accélération de ces derniers, si bien que l'impulsion positive délivrée par la sortie se caractérise par des fronts montants et descendants bien verticaux. Le boîtier  $IC_5$  est un

circuit intégré bien connu de nos lecteurs : il s'agit en effet du CD 4017 qui est un compteur-décodeur décimal.

Un tel compteur avance pas à pas, au rythme des fronts ascendants présentés sur l'entrée « Horloge » : le niveau haut présent sur la sortie  $S_n$  se transplante sur  $S_{n+1}$ , et ainsi de suite. Cette avance se réalise à la condition que l'entrée de validation  $V$  se trouve soumise à un état bas. Il en est de même en ce qui concerne l'entrée RAZ. Si cette dernière est reliée, même brièvement, à un état haut, le compteur se met à zéro : le niveau 1 apparaît sur la sortie  $S_0$ . Ainsi, au fur et à mesure que le badge s'introduit à l'intérieur du

lecteur, un état haut apparaît d'abord sur la sortie  $S_1$  de  $IC_5$ , puis sur  $S_2$  et enfin sur  $S_3$ , après la lecture des trois trous de la piste de validation.

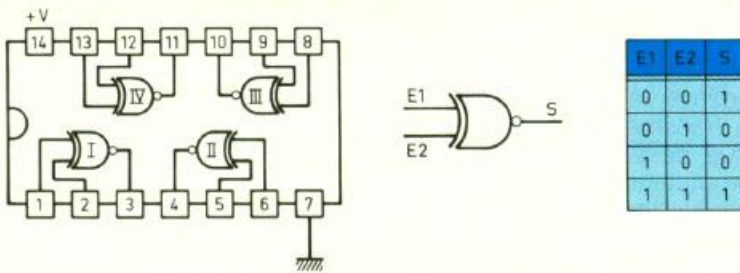
## d) Remise à zéro des compteurs (fig. 3)

Tant que le badge n'est pas introduit dans le lecteur, toutes les portes NOR précédemment évoquées présentent un état haut, étant donné qu'il n'existe aucune obstruction entre les cinq couples de diodes infrarouges et de phototransistors. Les anodes réunies des diodes  $D_1$  à  $D_5$  présentent donc, grâce à  $R_{13}$ , un état haut qui se répercute sur les entrées de la porte AND II de  $IC_3$ . L'état haut délivré par celle-ci est alors appliqué en permanence sur les entrées RAZ des compteurs  $IC_5$  et  $IC_6$ , par l'intermédiaire de  $D_6$ . Les compteurs sont donc bloqués sur leur position de repos  $S_0$ . Une fois que l'on a introduit le badge dans le lecteur, la situation particulière où toutes les cinq pistes de lecture présentent simultanément un état haut ne peut plus se renouveler, sauf dans le cas où l'on aurait retenu le codage binaire « 15 » (1111) pour l'un des trois chiffres. Ce chiffre est donc à rejeter, si bien que le nombre de combinaisons n'est pas de 4 096 mais de  $(15)^3 = 3\,375$ ... restons modestes et honnêtes.

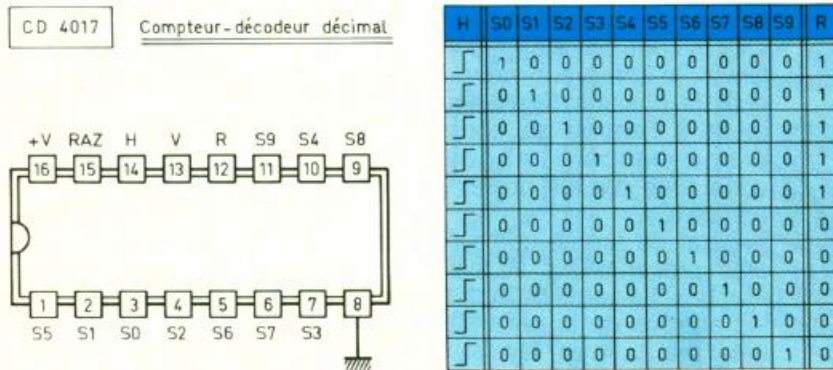
Mais revenons à notre badge introduit dans le lecteur. La sortie de la porte AND II de  $IC_3$  présente un état bas qui se trouve répercuté sur les entrées RAZ de  $IC_5$  et de  $IC_6$  par la résistance  $R_{15}$ , ce qui permet à  $IC_5$  d'avancer normalement jusqu'à aboutir à la position extrême  $S_3$ . Notons que, si l'on retirait le badge à ce moment ou si l'on poursuivait les essais, par exemple pour frauder et chercher les combinaisons par tâtonnement, l'ensemble se remettrait aussitôt à zéro grâce à  $D_8$ , qui a son anode reliée à la sortie  $S_4$  de  $IC_5$ . De même, aussitôt le badge introduit dans le lecteur, la capacité  $C_4$ , préalablement chargée à travers  $D_9$ , se décharge progressivement dans  $R_{14}$ . En début de décharge, lorsque le potentiel est encore suffisamment élevé sur les entrées de la porte NOR IV de  $IC_2$ , cette dernière continue de présenter un état bas sur sa sortie. En revanche, au bout d'une durée de l'ordre de deux secondes,  $C_4$  est as-

# 5 Rappels des brochages et tables de vérité correspondantes.

CD 4077 4 portes NOR EXCLUSIF à 2 entrées



CD 4017 Compteur-décodeur décimal



sez déchargée pour provoquer le basculement de la porte NOR, dont la sortie passe à l'état haut et assure la remise à zéro définitive des compteurs par D<sub>7</sub>. L'opérateur dispose donc d'un

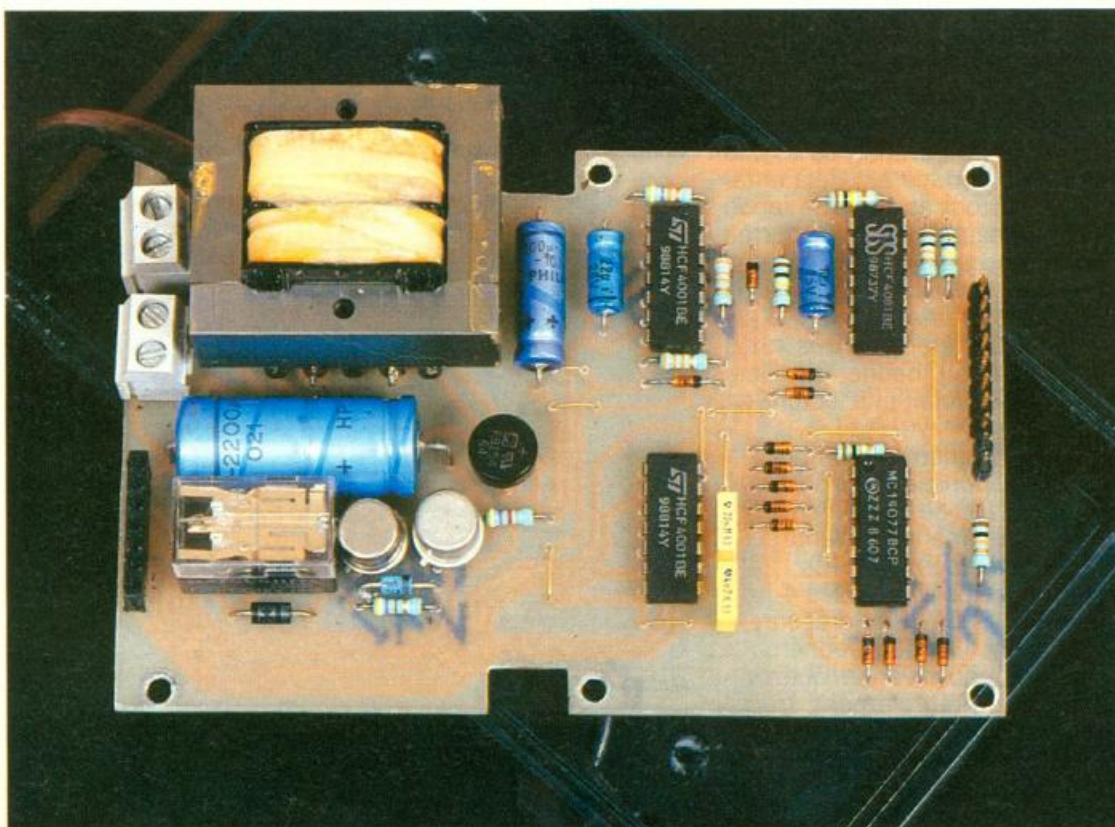
temps alloué, qu'il ne doit en aucun cas dépasser au risque de ne pas aboutir à l'ouverture de la porte : il s'agit d'une précaution supplémentaire destinée à décourager les éventuels fraudeurs.

## e) Vérification du codage (fig. 3)

Les sorties S<sub>1</sub>, S<sub>2</sub> et S<sub>3</sub> du compteur menant IC<sub>5</sub> sont respectivement reliées à trois groupes de quatre « microswitch » de programmation. Par l'intermédiaire de diodes anti-retour, les interrupteurs A, B, C et D de chacun de ces groupes sont reliés à quatre lignes A', B', C' et D', elles-mêmes reliées au « moins » de l'alimentation par les résistances R<sub>22</sub> à R<sub>25</sub>. Grâce à cette disposition, un interrupteur ouvert, pour une position appropriée du compteur IC<sub>5</sub>, se traduit par un état bas sur la ligne correspondante. Il est donc relativement aisé de réaliser la programmation du lecteur de badge, grâce à ce jeu de 12 interrupteurs. Ainsi, lorsque l'on veut par exemple programmer, dans l'ordre normal, les nombres 4, 13, 11, on aura à positionner les interrupteurs de la façon suivante :

- A = 0, B = 0, C = 1, D = 0 pour le microswitch n° 1.
  - A = 1, B = 0, C = 1, D = 1 pour le microswitch n° 2.
  - A = 1, B = 1, C = 1, D = 0 pour le microswitch n° 3.
- Les lignes A', B', C' et D' sont reliées à l'une des deux entrées de 4 portes « NOR EXCLUSIF » dont

Photo 2. - Le module principale comporte un transformateur pour circuit imprimé.



l'autre série d'entrées est soumise aux sorties des portes NOR délivrant les niveaux logiques consécutifs à la lecture du badge, cette liaison étant réalisée suivant le même ordre.

La figure 5 rappelle le fonctionnement logique d'une porte NOR EXCLUSIF ; en résumé, on peut énoncer que la sortie d'une telle porte présente uniquement un état haut lorsque **ses deux entrées sont soumises à un même état**, haut ou bas.

La vérification du codage est ainsi évidente. En reprenant l'exemple ci-dessus, où les trois nombres adoptés étaient successivement 4, 13 et 11, on relèvera sur la sortie des 4 portes NOR EXCLUSIF de IC<sub>4</sub> :

- un état haut à la lecture du premier chiffre, c'est-à-dire lorsque IC<sub>5</sub> est sur la position S<sub>1</sub>, et que le codage du badge correspond effectivement au nombre binaire 4 ;

- un état haut lors du passage du second chiffre, IC<sub>5</sub> étant sur S<sub>2</sub> et le badge étant codé « 13 » ;

- un état haut pour le troisième chiffre, IC<sub>5</sub> se positionnant sur S<sub>3</sub> et le badge étant codé « 11 ».

#### f) Validation de la lecture et avance du compteur mené (fig. 3)

Les trous du badge caractérisant le codage chiffré sont d'un diamètre plus important que ceux réservés à la validation. Ainsi, au moment du début de l'ordre de lecture, et de l'avance de IC<sub>5</sub>, la lecture du codage est déjà entamée et surtout assurée de façon fiable. Cette précaution apportée par le perçage de plus petits trous pour la validation élimine les inévitables petits défauts d'alignement transversaux des trous de codage du badge, par lesquels on risquerait une lecture erronée.

Ainsi, au moment de l'impulsion positive disponible sur la sortie de la porte AND I de IC<sub>3</sub>, on enregistre les phénomènes suivants :

- avance du compteur IC<sub>5</sub> ;
- si toutes les sorties des 4 portes NOR EXCLUSIF présentent un état haut (codage cohérent), l'impulsion positive en question se trouve intégralement transmise par la porte AND III de IC<sub>3</sub> ;
- cette impulsion positive est prise en compte par le trigger de Schmitt AND IV de IC<sub>3</sub> et assure

l'avance d'un pas du compteur mené IC<sub>6</sub>, qui est également un CD 4017.

Notons que, si la vérification de la cohérence du codage s'avérait négative, la porte AND III de IC<sub>3</sub> ne transmettrait pas l'impulsion issue de la porte AND I, et le compteur IC<sub>6</sub> n'aurait pas avancé d'un pas lors de la lecture du chiffre en question.

#### g) Utilisation (fig. 3)

Lorsque les trois chiffres composant le code ont été reconnus valables, le compteur mené IC<sub>6</sub> atteint la position S<sub>3</sub>. Celle-ci est reliée à l'entrée de commande d'une bascule monostable constituée par les portes NOR I et II de IC<sub>2</sub>.

A l'état de repos, une telle bascule présente sur sa sortie un état bas. La sortie de la porte II et les entrées de la porte I sont à l'état haut. Il en résulte la décharge totale de la capacité C<sub>9</sub>.

Dès que l'entrée se trouve soumise à un état haut, la sortie de la porte II passe à l'état bas. Il en est de même pour les entrées de la porte I, étant donné que, dans un premier temps, la capacité C<sub>9</sub> se comporte comme un court-circuit. La sortie de la bascule passe alors à un état haut. La capacité C<sub>9</sub> se charge progressivement à travers R<sub>26</sub> ; cette situation subsiste même lorsque l'état haut disponible sur la sortie S<sub>3</sub> de IC<sub>6</sub> disparaît grâce au verrouillage

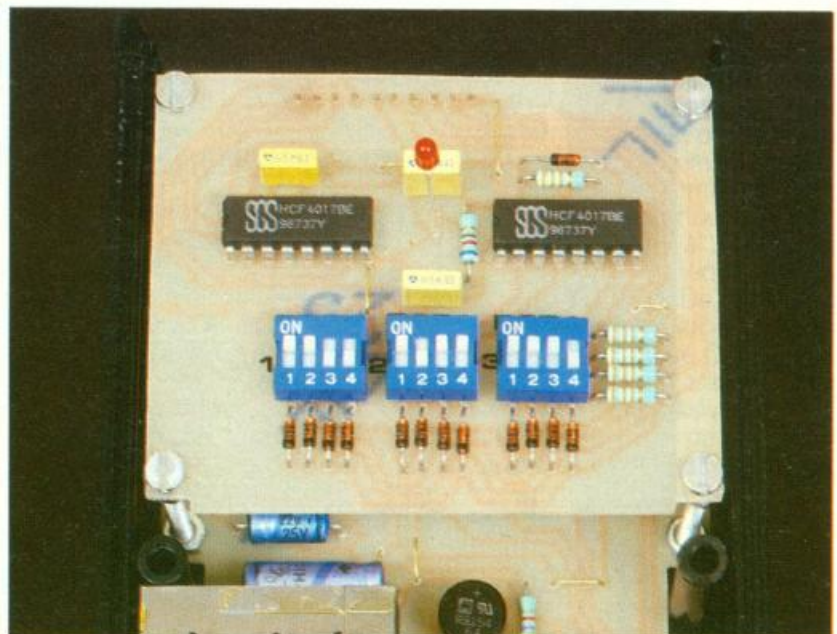
qu'apporte la liaison 3-6 de la bascule. Lorsque le potentiel de l'armature positive de C<sub>9</sub> atteint une valeur environ égale à la demi-tension d'alimentation, la porte I bascule : sa sortie repasse à l'état bas, tandis que celle de la porte II représente son état haut de repos. La capacité C<sub>9</sub> se décharge et se trouve ainsi prête pour une éventuelle sollicitation suivante.

L'état haut délivré par une telle bascule se caractérise donc par une durée totalement indépendante de celle de l'impulsion de commande. En fait, elle ne dépend que des valeurs de R<sub>26</sub> et de C<sub>9</sub> ; dans le présent montage, elle est de l'ordre de trois à quatre secondes. L'état haut délivré par la bascule sature le transistor T<sub>2</sub> dont le circuit collecteur comporte le bobinage d'un relais 1 RT.

Notons que ce relais est directement alimenté par l'armature positive de la capacité de filtrage C<sub>1</sub>, donc en amont du circuit de régulation, sous une tension de l'ordre de 12 V, qui est justement sa tension nominale de fonctionnement. Une telle disposition évite au transistor régulateur d'avoir à fournir l'apport de courant supplémentaire nécessaire à la fermeture du relais, ce qui évite les éventuelles perturbations qui pourraient s'ensuivre.

La diode D<sub>27</sub> protège le transistor T<sub>2</sub> des effets liés à la surtension de self au moment de la coupure.

Photo 3. - Utilisation de trois groupes de quatre microswitches.



### III – REALISATION PRATIQUE

#### a) Circuits imprimés (fig. 6)

Ils sont au nombre de quatre :

- le module principal
- le module supérieur

- le module diodes infrarouges
- le module phototransistors.

Pour leur réalisation, plusieurs possibilités :

- la méthode directe par application d'éléments de transfert Mécanorma sur la face cuivre de l'époxy préalablement bien dégraissée ;

- la confection intermédiaire d'un mylar transparent, toujours par application des mêmes trans-ferts, puis exposition de l'époxy présensibilisée aux ultraviolets avec interposition de ce mylar, le dessin étant ensuite à révéler à l'aide d'une solution de soude. Dans les deux cas ci-dessus, le

# 6a

Nous vous conseillons de reproduire les tracés des circuits imprimés publiés grande nature par le biais de la méthode photographique.

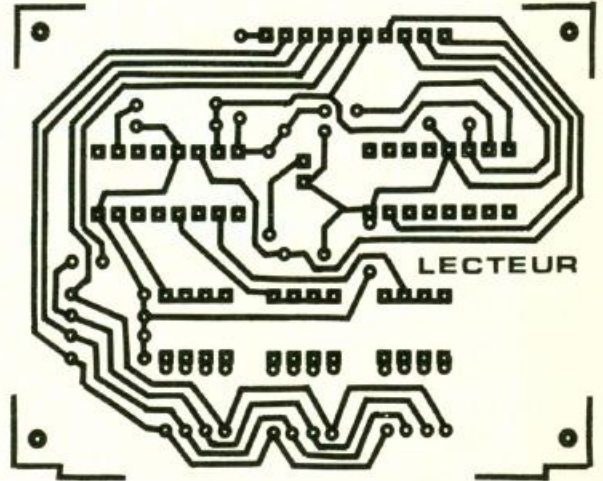
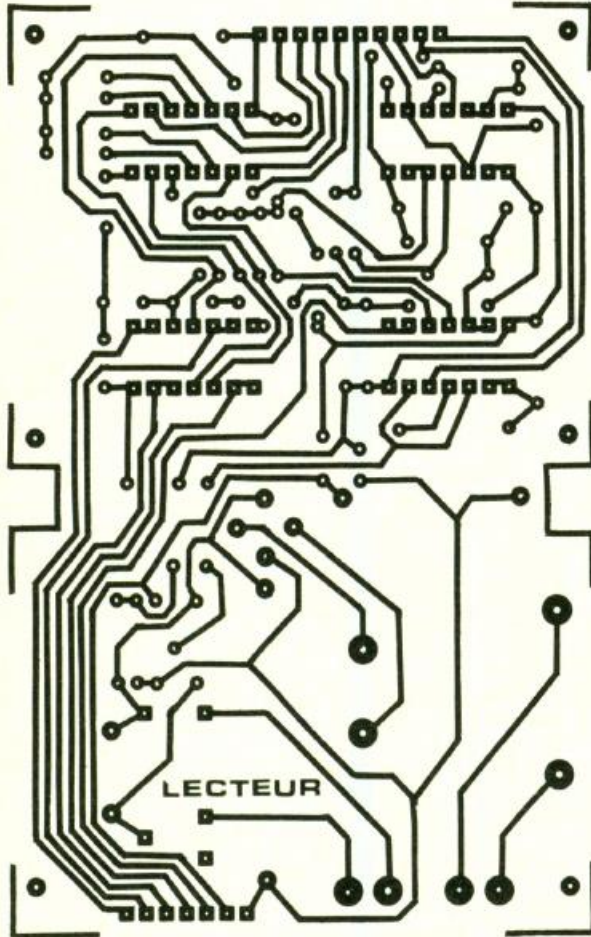
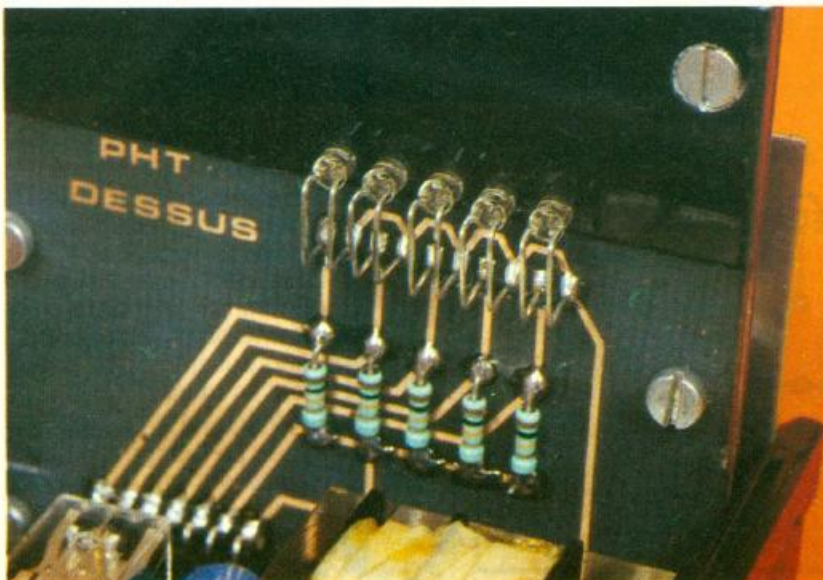


Photo 4. – Une fois n'est pas coutume, mais les composants sont soudés côté cuivre.



circuit sera gravé dans un bain de perchlorure de fer, puis abondamment rincé.

Enfin, signalons que certains fournisseurs élaborent le circuit imprimé en se servant du modèle publié dans la revue, par des procédés photographiques.

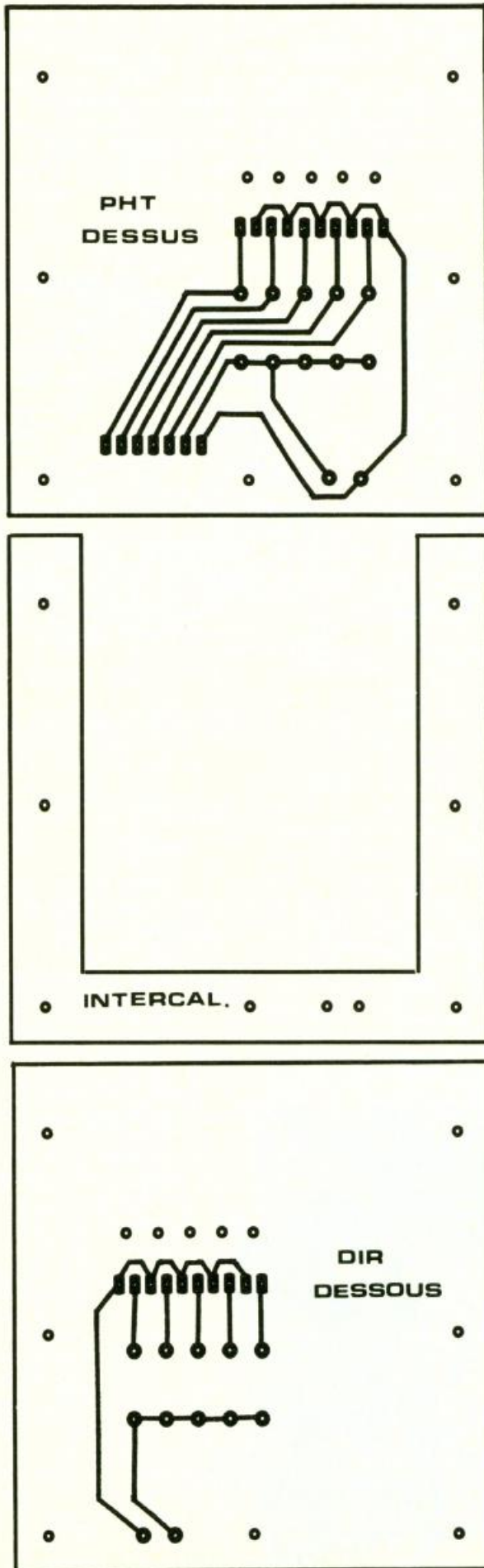
Par la suite, toutes les pastilles sont percées à l'aide d'un foret de 0,8 mm de diamètre ; certains seront à agrandir à 1 ou à 1,3 mm selon besoin. Enfin, pour terminer, il est bon d'étamer les pistes pour en améliorer la tenue.

#### b) Implantation des composants (fig. 7)

Pour les modules constituant la logique électronique, on implantera en premier lieu les straps de liaison en fil de cuivre nu. Puis ce sera le tour des diodes, des résistances, des capacités et des transistors. Attention à l'orientation des composants polarisés. Après la mise en place du relais, du transformateur et des dominos de raccordement, on procédera en dernier lieu à l'implantation des circuits intégrés, toujours en prenant grand soin aussi bien pour l'orientation que pour le ménagement d'un temps de refroidissement suffisant entre deux soudures consécutives sur le même boîtier.

# 6b

La réalisation exige l'emploi de circuits imprimés complémentaires destinés à réaliser le lecteur optique.



Concernant l'implantation des composants des modules constituant le lecteur de badge, il convient auparavant de préparer très soigneusement les trois pièces constitutives de ce lecteur. Les dessins de la **figure 6** constituent des modules directement exploitables, notamment au niveau du dimensionnement.

## c) Montage du lecteur (fig. 7)

Après un usinage soigné des trois pièces précédemment évoquées, on procédera au perçage précis des sept trous de fixation des modules. Avant de procéder à l'assemblage, il est nécessaire d'avoir la certitude du bon dimensionnement du module intercalaire, en le vérifiant à l'aide du badge téléphonique que l'on compte utiliser.

Après l'assemblage des pièces, on percera les trous de lecture, d'abord des deux côtés, à l'aide d'un foret de 1 mm de diamètre, puis de façon définitive, d'un seul tenant, à l'aide d'un foret de 2 mm de diamètre. De même, il convient de percer les deux trous destinés au passage des deux straps de liaison intermodules.

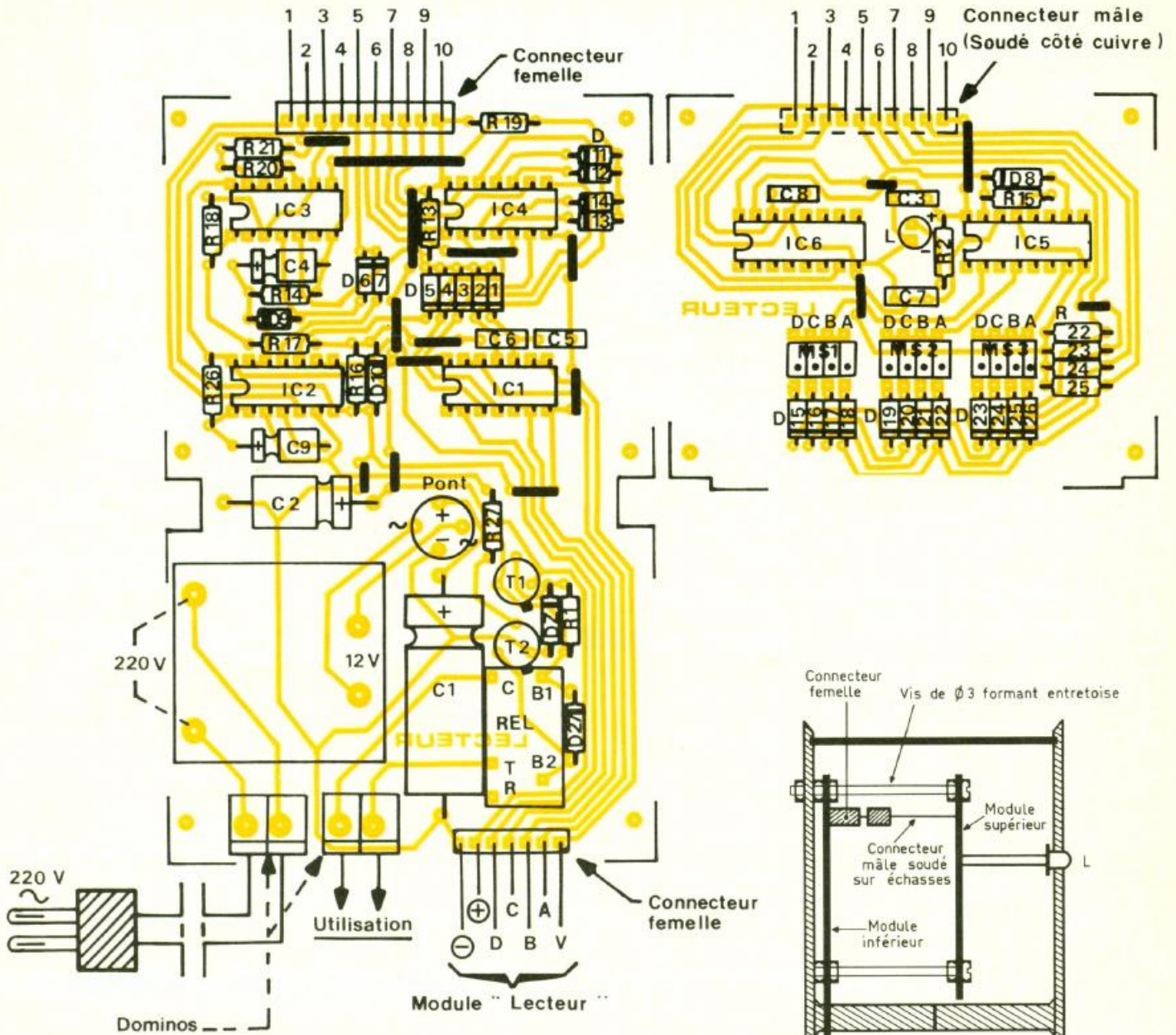
Par la suite, l'ensemble est démonté, les trous sont très légèrement ébavurés et, du côté opposé au cuivre, il est bon d'appliquer une couche de peinture noire, ce qui ne peut qu'améliorer les qualités optiques du lecteur.

C'est seulement à partir de ce stade que l'on procédera à l'implantation des composants sur les modules du lecteur, mais exceptionnellement du côté cuivre. Il convient de veiller à ne laisser dépasser aucune connexion du côté opposé au cuivre afin de ne pas blesser le badge lors de son introduction.

Attention à l'orientation des phototransistors (l'émetteur a la « patte » la plus longue) et des diodes infrarouges (c'est l'anode qui a la « patte » la plus longue). La figure de montage indique la forme particulière à donner à ces composants, par pliage, avant leur soudure.

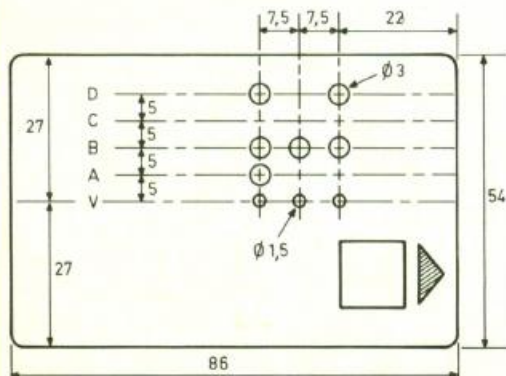
En résumé, la confection du lecteur de badge demande beaucoup de soin et d'attention : il s'agit d'un travail de précision dont dépend le bon fonctionnement du montage.

7 Les circuits imprimés réalisés, il ne vous restera plus qu'à procéder à l'implantation des éléments conformément aux croquis donnés.



9

Badge de codage : exemple d'une carte de téléphone.



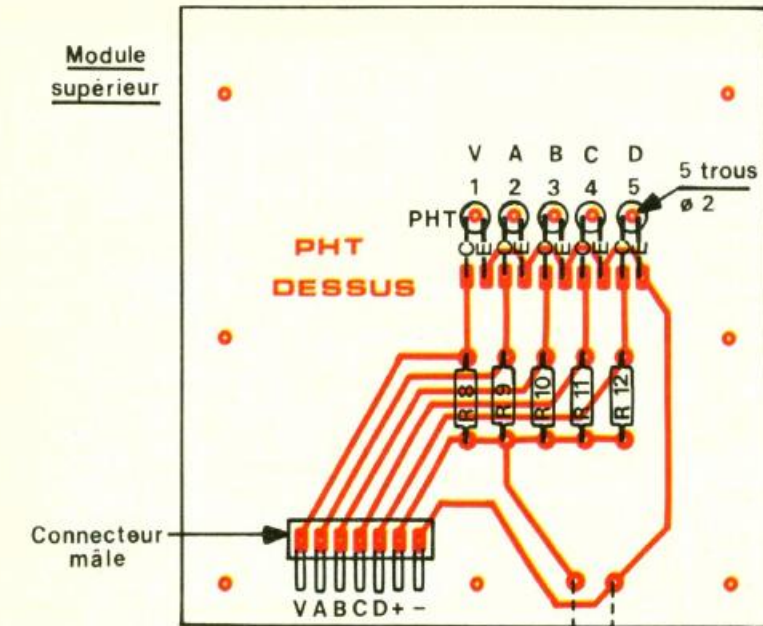
Exemple de codage ci-dessus : 10, 2, 11

Tableau de codage

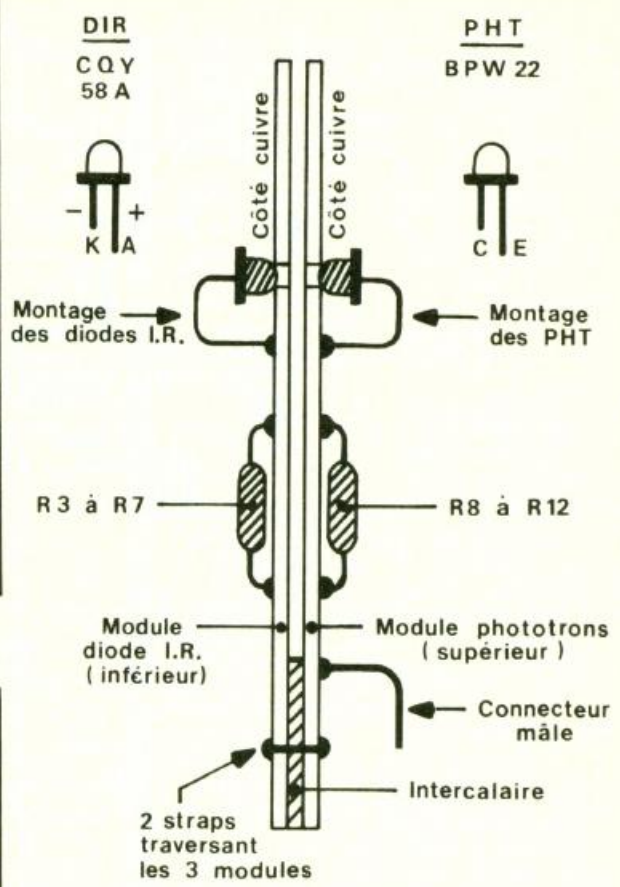
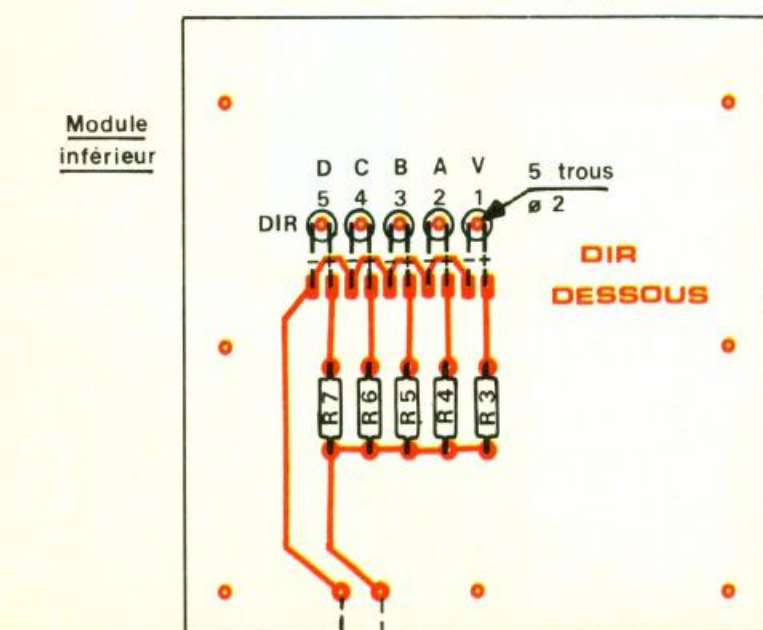
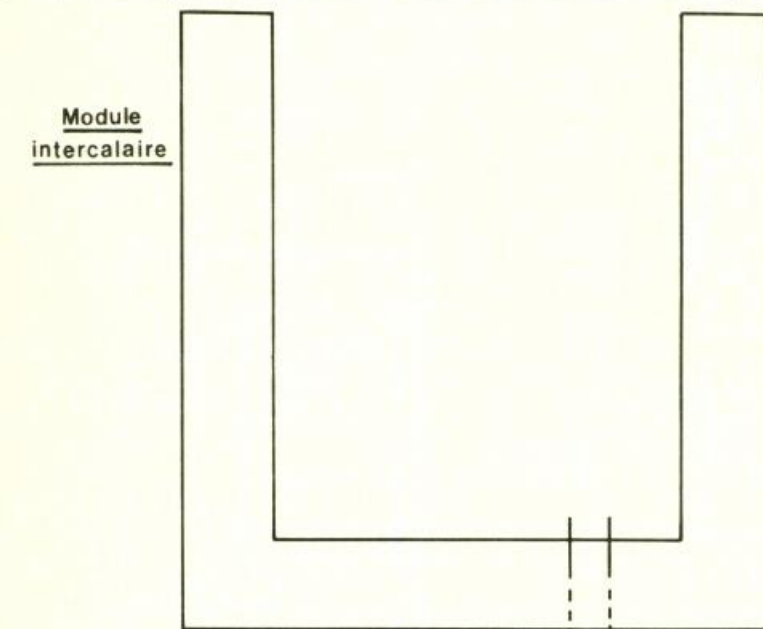
	D	C	B	A
0				
1				○
2			○	
3			○	○
4	○			
5	○	○		○
6	○	○	○	
7	○		○	○
8	○	○		
9	○	○		○
10	○		○	
11	○	○	○	
12	○	○		
13	○	○		○
14	○	○	○	
15	○	○	○	○

8

Agencement de l'ensemble à l'intérieur du coffret.



**ATTENTION** → Les composants sont soudés côté cuivre



**7** Les composants du module supérieur et du module inférieur du lecteur optique seront soudés côté cuivre. Les pistes cuivrées sont ici représentées en rouge.

**d) Confection du badge et montage**

La figure 8 indique le schéma général du montage mécanique des différents modules dans le coffret Teko approprié.

La figure 9 précise la confection du badge optique, notamment en ce qui concerne le positionnement géométrique des axes de lecture et des emplacements prévus pour le perçage des trous définissant le codage. Peu de commentaires sont à faire sur cette confection si ce n'est, une fois de plus, l'absolue nécessité d'y apporter beaucoup de soin.

Le tableau de la même figure indique comment percer les trous du codage suivant le code retenu, et en conformité avec les principes du système binaire.

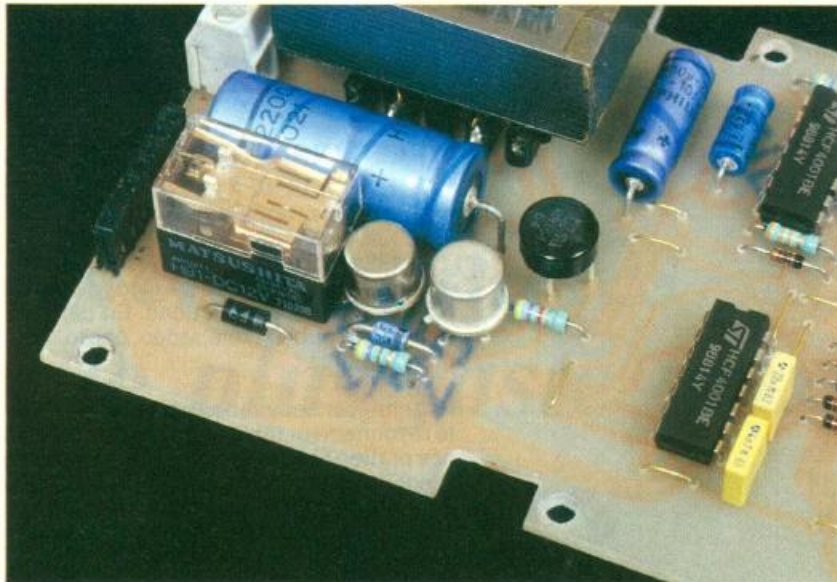


Photo 5. – Gros plan sur le relais 1 RT (National).

Le lecteur de badge peut être maintenant mis en service, après l'avoir, bien sûr, correctement programmé à l'aide des trois microswitches prévus à cet effet,

en se rappelant qu'un « trou » du badge optique doit correspondre à l'interrupteur correspondant placé en position de fermeture.

Robert KNOERR

## LISTE DES COMPOSANTS

### a) Module principal

12 straps (6 horizontaux, 6 verticaux)

$R_1$  : 470  $\Omega$  (jaune, violet, marron)

$R_{13}$  : 10 k $\Omega$  (marron, noir, orange)

$R_{14}$  : 100 k $\Omega$  (marron, noir, jaune)

$R_{16}$  et  $R_{17}$  : 2  $\times$  33 k $\Omega$  (orange,

orange, orange)

$R_{18}$  : 100 k $\Omega$  (marron, noir, jaune)

$R_{19}$  et  $R_{20}$  : 2  $\times$  10 k $\Omega$  (marron, noir, orange)

$R_{21}$  : 100 k $\Omega$  (marron, noir, jaune)

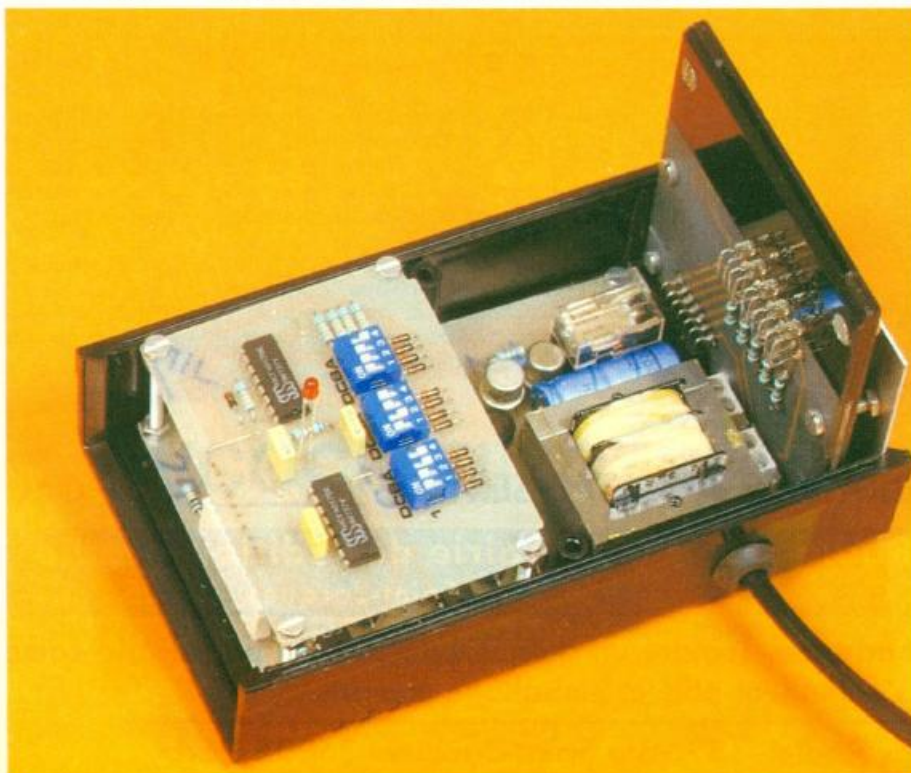
$R_{26}$  : 47 k $\Omega$  (jaune, violet, orange)

$R_{27}$  : 4,7 k $\Omega$  (jaune, violet, rouge)

$D_1$  à  $D_7$  : 7 diodes-signal (1N4148, 1N914)

$D_9$  à  $D_{14}$  : 6 diodes-signal (1N4148, 1N914)

Photo 6. – Disposition des trois modules à l'intérieur du coffret.



$D_{27}$  : diode 1N4004, 4007  
 $D_z$  : diode Zener 9,1 V  
 Pont redresseur 500 mA  
 $C_1$  : 2 200  $\mu$ F/16 V électrolytique  
 $C_2$  : 100  $\mu$ F/10 V électrolytique  
 $C_4$  : 10  $\mu$ F/10 V électrolytique  
 $C_5$  : 4,7 nF milfeuil  
 $C_6$  : 22 nF milfeuil  
 $C_9$  : 22  $\mu$ F/10 V électrolytique  
 $T_1$  et  $T_2$  : 2 transistors NPN 2N1613, 1711  
 $IC_1$  et  $IC_2$  : 2  $\times$  CD4001 (4 portes NOR à 2 entrées)  
 $IC_3$  : CD 4081 (4 portes AND à 2 entrées)  
 $IC_4$  : CD 4077 (4 portes NOR EXCLUSIF à 2 entrées)  
 Relais 12 V – 1RT (type National)  
 Transformateur 220 V/12 V – 2,5 VA  
 Connecteur femelle 10 broches  
 Connecteur femelle 7 broches  
 4 dominos pour circuit imprimé

### b) Module supérieur

4 straps (2 horizontaux, 2 verticaux)

$R_2$  : 560  $\Omega$  (vert, bleu, marron)

$R_{15}$  : 33 k $\Omega$  (orange, orange, orange)

$R_{22}$  à  $R_{25}$  : 4  $\times$  33 k $\Omega$  (orange, orange, orange)

$D_8$  : diode-signal (1N4148, 1N914)

$D_{15}$  à  $D_{26}$  : 12 diodes-signal (1N4148, 1N914)

$L$  : LED rouge  $\varnothing$  3

$C_3$  : 0,22  $\mu$ F milfeuil

$C_7$  et  $C_8$  : 2  $\times$  1,5 nF milfeuil

$IC_5$  et  $IC_6$  : 2  $\times$  CD 4017 (compteur-décodeur décimal)

$MS_1$  à  $MS_3$  : 3 groupes de 4 microswitches

Connecteur mâle de 10 broches

### c) Module « phototransistors »

$R_8$  à  $R_{12}$  : 5  $\times$  10 k $\Omega$  (marron, noir, orange)

$PHT_1$  à  $PHT_5$  : 5 phototransistors BPW 22, TIL 78 ( $\varnothing$  3)

Connecteur mâle 7 broches

### d) Module « diodes infrarouges »

$R_3$  à  $R_7$  : 5  $\times$  1 k $\Omega$  (marron, noir, rouge)

$DIR_1$  à  $DIR_5$  : 5 diodes infrarouges COY 58 A ( $\varnothing$  3)

### e) Divers

Cordon secteur

Fiche secteur

Coffret Teko Série « Designer »

Réf. 10003 (85  $\times$  145  $\times$  61)

Passe-fil

# EXPE 34 : MINI ENCEINTES AMPLIFIEES 7 W RMS



Une enceinte amplifiée autonome ! Voilà une réalisation d'Electronique Collège qui intéressera plus d'un d'entre vous.

En effet, avec la présence d'une entrée préamplifiée et d'une entrée haut niveau, vous pourrez réamplifier tant un walkman qu'un magnétophone ou tout autre appareil audio. L'ensemble, agrémenté d'une solide correction graves et aigus séparée, mise en valeur par un haut-parleur de qualité, peut être implanté dans un petit baffle au design passe-partout.

## CARACTERISTIQUES

Alimentation de 9 à 20 V.  
Consommation 25 mA au repos.  
Deux entrées : 20 mV haute impédance et 250 mV basse impédance.  
Correcteur de tonalité :  $\pm 15$  dB.  
Bande passante 40 Hz à 20 kHz.  
Distorsion 0,3 %.  
Puissance de sortie sur 4  $\Omega$  : 7 W avec une tension d'alimentation de 16 V, 2,5 W avec une tension d'alimentation de 9 V.

## LE PRINCIPE DES KITS « ELECTRONIQUE COLLEGE »

Dans un but éducatif, Electronique Collège offre le choix de deux possibilités pour la réalisation du montage.

### 1<sup>er</sup> choix : réalisation du circuit imprimé par vous-même

Vous trouverez ci-joint le dessin du circuit à l'échelle 1. Celui-ci, à l'aide de la méthode Transpage, vous permettra de réaliser votre circuit sur plaque présensibilisée. Vous pouvez aussi traiter une plaque cuivrée à l'aide d'une résine photosensible en aérosol. Dans les deux cas, il est prudent d'étamer le circuit après gravure et rinçage.

### 2<sup>e</sup> choix : utilisation du circuit imprimé Electronique Collège

Un circuit imprimé, fourni en verre époxy de 16/10°, est livré côté cuivre recouvert d'un vernis appelé épargne. Cette solution présente les avantages suivants :



- risques de court-circuit entre pistes lors de l'opération de soudure réduits au minimum ;
- protection des pistes en cuivre contre l'oxydation ;
- aide au repérage des pastilles à l'aide d'un quadrillage réalisé dans le vernis épargne.

En outre, ce circuit est étamé, ce qui facilite le travail lors du soudage des composants.

Que vous ayez choisi la première ou la deuxième méthode, il ne vous reste plus qu'à percer le circuit et souder les composants.

a) Perçage : 1,3 mm pour les

1

Le schéma de principe se construit autour de classiques circuits intégrés dont notamment deux 741 montés en préamplificateur et correcteur graves/aigus.

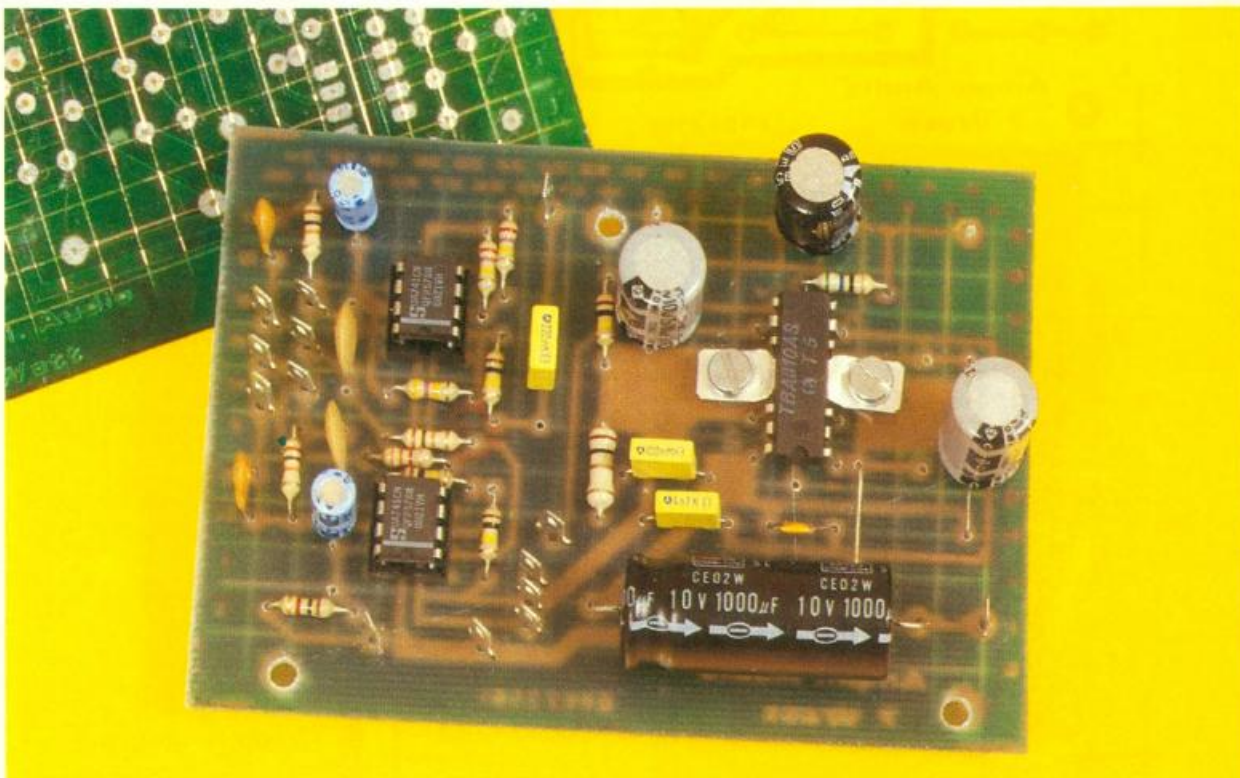
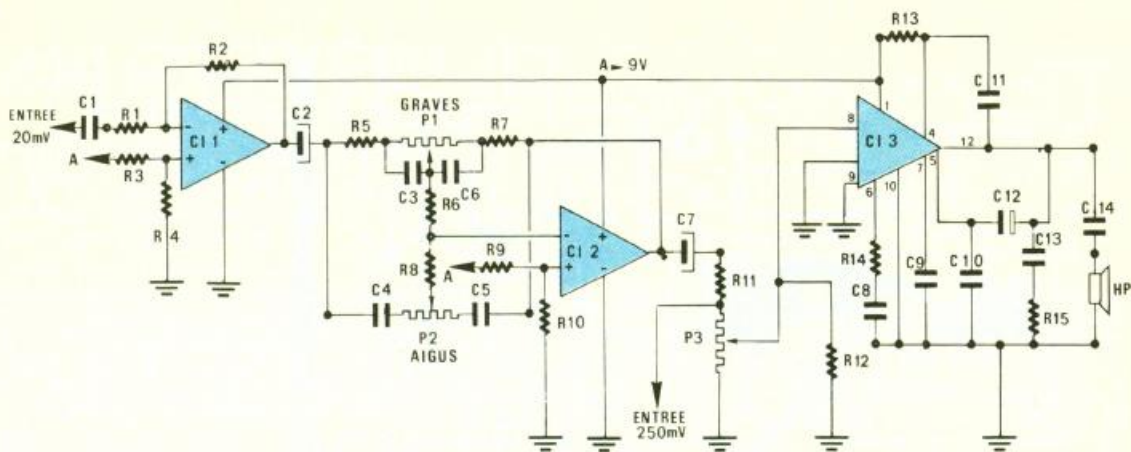


Photo 2. – Un module électronique facile à réaliser selon la méthode préconisée.

grandes pastilles rondes, 0,9 mm pour toutes les autres pastilles.

b) Montage : le repérage des composants se fait sur une grille quadrillée au pas de 2,54 mm. Les ordonnées sont repérées en a, a', b, b', c, c', d, d'... les abscisses en 1, 2, 3, 4, 5, 6, 7, 8... Pour chaque composant, les coordonnées données dans le tableau de montage vous permettent de le positionner à coup sûr correctement.

### SCHEMA DE PRINCIPE D'EXPE 34

Il est représenté par la figure 1. Le cœur de l'amplificateur est constitué du circuit intégré TBA 810 AS dont les caractéristiques, outre la bonne reproduc-

tion, permettent une alimentation allant de 5 à 20 V.

La borne 8 de C13 sert d'entrée amplificatrice de puissance réglable à l'aide du potentiomètre P3. Le condensateur C12 permet d'ajuster la bande passante dans les aigus. Sa valeur peut être choisie entre 820 et 1 500 pF. Le condensateur C14 s'adapte lui aussi à la puissance transmise : pour 1 W en sortie, 100 µF suffisent.

Les deux circuits intégrés C1 et C2 servent à amplifier le signal de l'entrée 20 mV tout en compensant l'atténuation due aux filtres de correction graves et aigus. Ceux-ci assurent un réglage de  $\pm 15$  décibels sur chaque canal.

La résistance R2 fixe le gain du premier étage à une valeur déter-

minée qui, dans notre cas, avoisine 5. Les résistances R3, R4, R9, R10 déterminent le potentiel de repos des circuits C1 et C2. Ce dernier n'étant pas nul, les condensateurs C2 et C7 sont indispensables.

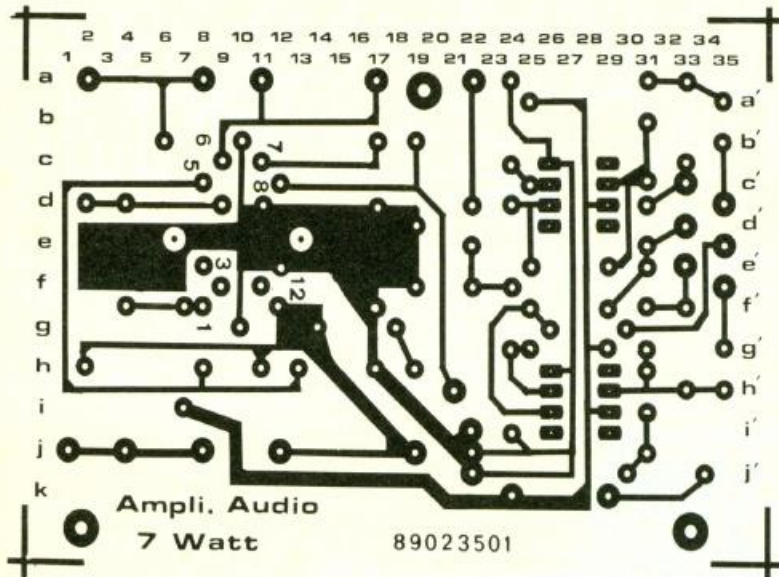
### MONTAGE D'EXPE 34

Suivre le schéma d'implantation donné en figure 2.

Soudez en premier les résistances, puis les supports de circuits intégrés et les condensateurs. Ne pas oublier de relier électriquement les ailettes du TBA 810 AS à la masse par l'intermédiaire d'une vis avec entretoise et écrou. Reliez le C1 à l'entrée jack à l'aide d'un fil blindé. Branchez le haut-parleur.

# 2

Tracé du circuit imprimé à l'échelle selon le principe.



# 3

Dans ces conditions, l'implantation des éléments devient plus simple.

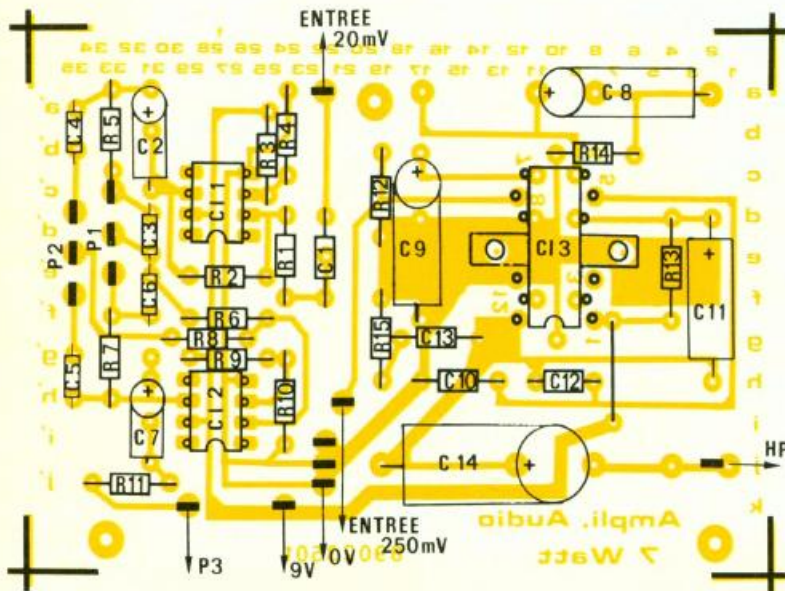
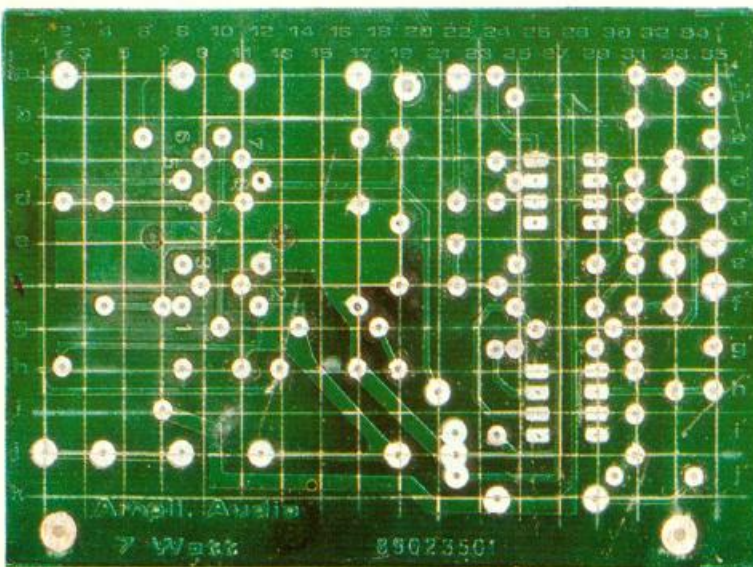


Photo 3. – Aspect du circuit imprimé non percé.



## MISE EN ROUTE D'EXPE 34

Le montage étant simple, il doit fonctionner dès sa mise sous tension après avoir relié l'une des entrées à la sortie d'un ensemble audio de niveau correspondant. Pour améliorer la courbe de réponse de votre haut-parleur, il est recommandé de tapisser les parois du boîtier à l'aide de laine de verre ou de polystyrène.

## NOMENCLATURE D'EXPE 34

### Résistances 1/4 W

$R_2$  : 470 k $\Omega$  (jaune, violet, jaune)  
 $R_3, R_4$  : 270 k $\Omega$  (rouge, violet, jaune)  
 $R_1, R_9, R_{10}, R_{12}$  : 100 k $\Omega$  (marron, noir, jaune)  
 $R_5, R_6, R_7$  : 10 k $\Omega$  (marron, noir, orange)  
 $R_8$  : 3,3 k $\Omega$  (orange, orange, rouge)  
 $R_{11}$  : 1 k $\Omega$  (marron, noir, rouge)  
 $R_{13}$  : 100  $\Omega$  (marron, noir, marron)  
 $R_{14}$  : 56  $\Omega$  (vert, bleu, noir)  
 $R_{15}$  : 1  $\Omega$  (marron, noir, or)

### Potentiomètres

$P_1, P_2$  : 100 k $\Omega$  Log.  
 $P_3$  : 22 k $\Omega$  log.

### Condensateurs

$C_{14}$  : 1 000  $\mu$ F/25 V  
 $C_8$  : 470  $\mu$ F/25 V  
 $C_9, C_{11}$  : 100  $\mu$ F/25 V  
 $C_7$  : 4,7  $\mu$ F/25 V  
 $C_2$  : 2,2  $\mu$ F/25 V  
 $C_1$  : 220 nF  
 $C_{13}$  : 100 nF  
 $C_3, C_6$  : 33 nF  
 $C_{10}$  : 4,7 nF  
 $C_4, C_5$  : 3,3 nF  
 $C_{12}$  : 1 nF

### Circuits intégrés

$CI_1, CI_2$  : MC 1741  
 $CI_3$  : TBA 810 AS

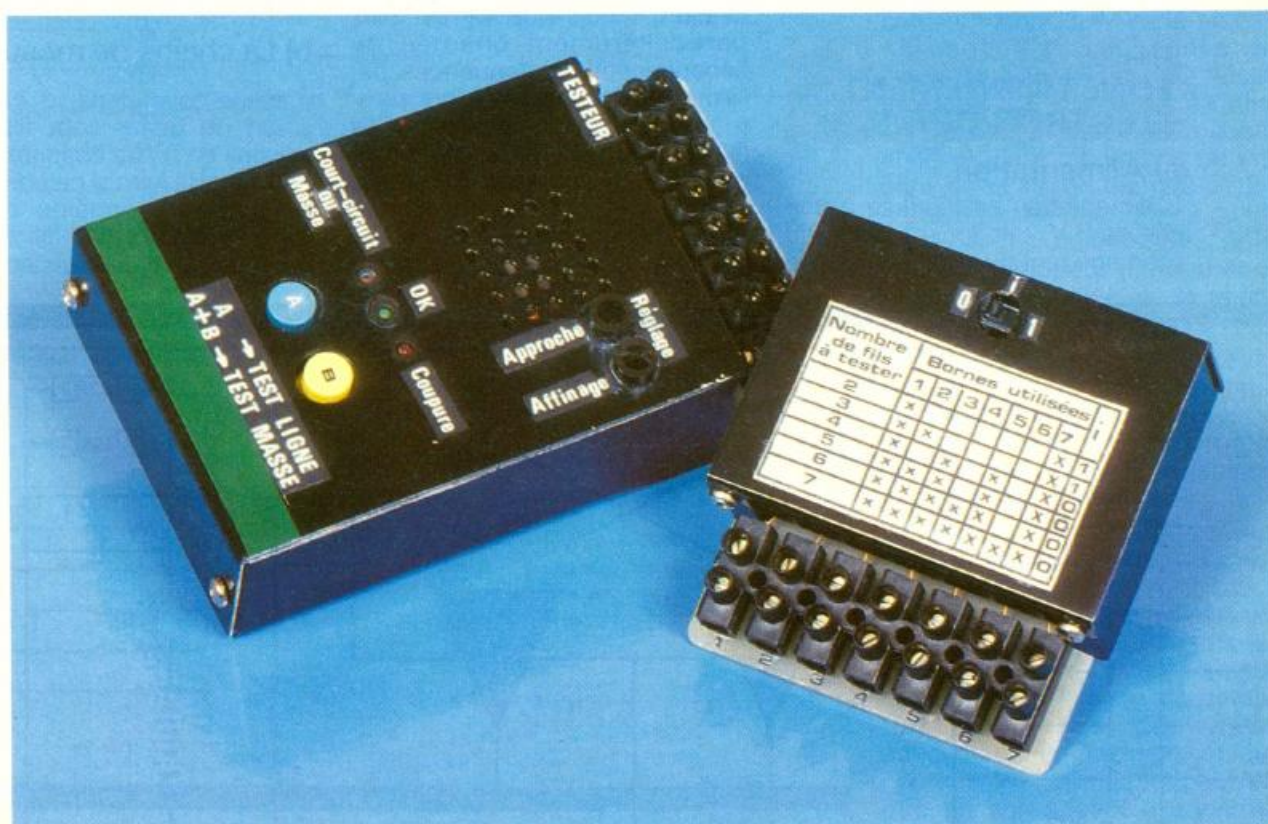
### Divers

1 haut-parleur 4 ou 8  $\Omega$  7 W  
 2 supports CI 8 broches  
 14 picots  
 2 vis TC 3 x 10  
 4 écrous  $\varnothing$  3

# UN TESTEUR DE CONTINUITÉ



Lors du dépannage ou de la maintenance d'installations électriques se pose fréquemment le problème du contrôle de plusieurs conducteurs regroupés dans une même gaine ou faisant partie d'un même câble. A l'aide de cet appareil, cette opération devient tout à fait simple.



## I - LE PRINCIPE

Le dispositif de contrôle se compose de deux parties :

- un boîtier principal manipulé par l'opérateur ;
- un boîtier auxiliaire monté à l'autre extrémité du câble à vérifier.

Le contrôle peut aussi s'effectuer par un seul intervenant. Il suffit pour cela de relier, dans un ordre donné, les conducteurs à tester aux bornes du boîtier auxiliaire d'une part, et de raccorder dans le même ordre les autres extrémi-

tés aux bornes prévues du boîtier principal. Le montage met alors en évidence trois types de défauts caractéristiques :

- la coupure éventuelle d'un ou plusieurs conducteurs ;
- le défaut d'isolement (ou les court-circuits) entre un ou plusieurs conducteurs ;
- le défaut d'isolement (ou les contacts francs) entre un ou plusieurs conducteurs et la masse, si cette dernière existe, par exemple dans le cas d'une gaine constituée par un tube métallique.

Le dispositif permet ainsi le contrôle simultané d'un nombre de conducteurs pouvant aller jusqu'à 7. Bien entendu, il est également possible de tester un ensemble constitué d'un nombre de conducteurs inférieur à 7, mais au moins égal à 2. Si le nombre de fils à tester est supérieur à 7, il y a lieu de procéder en plusieurs opérations.

La signalisation des défauts est double :

- optique, par l'allumage d'une LED verte lorsque tout est normal, ou de l'une ou de l'autre,

d'une LED rouge dans le cas d'une coupure ou d'un court-circuit ;

– acoustique, par l'émission d'un son continu en l'absence de défaut et d'un son discontinu (bip-bip) en cas d'anomalie.

Le principe de fonctionnement de l'ensemble est très prosaïque ; en effet, les fils à tester font partie d'un pont constitué de résistances logées dans les deux boîtiers. Ce groupement présente, en son état normal, une résistance ohmique  $R$  donnée. Tout écart  $\Delta R$ , dans un sens ou dans l'autre par rapport à cette valeur, est mis en évidence et permet la détection de l'anomalie par le biais d'un montage comparatif approprié.

## II – LE FONCTIONNEMENT ELECTRONIQUE (fig. 1)

### a) Alimentation

L'alimentation est confiée à une pile de 9 V, totalement isolée du montage tant que l'on ne sollicite

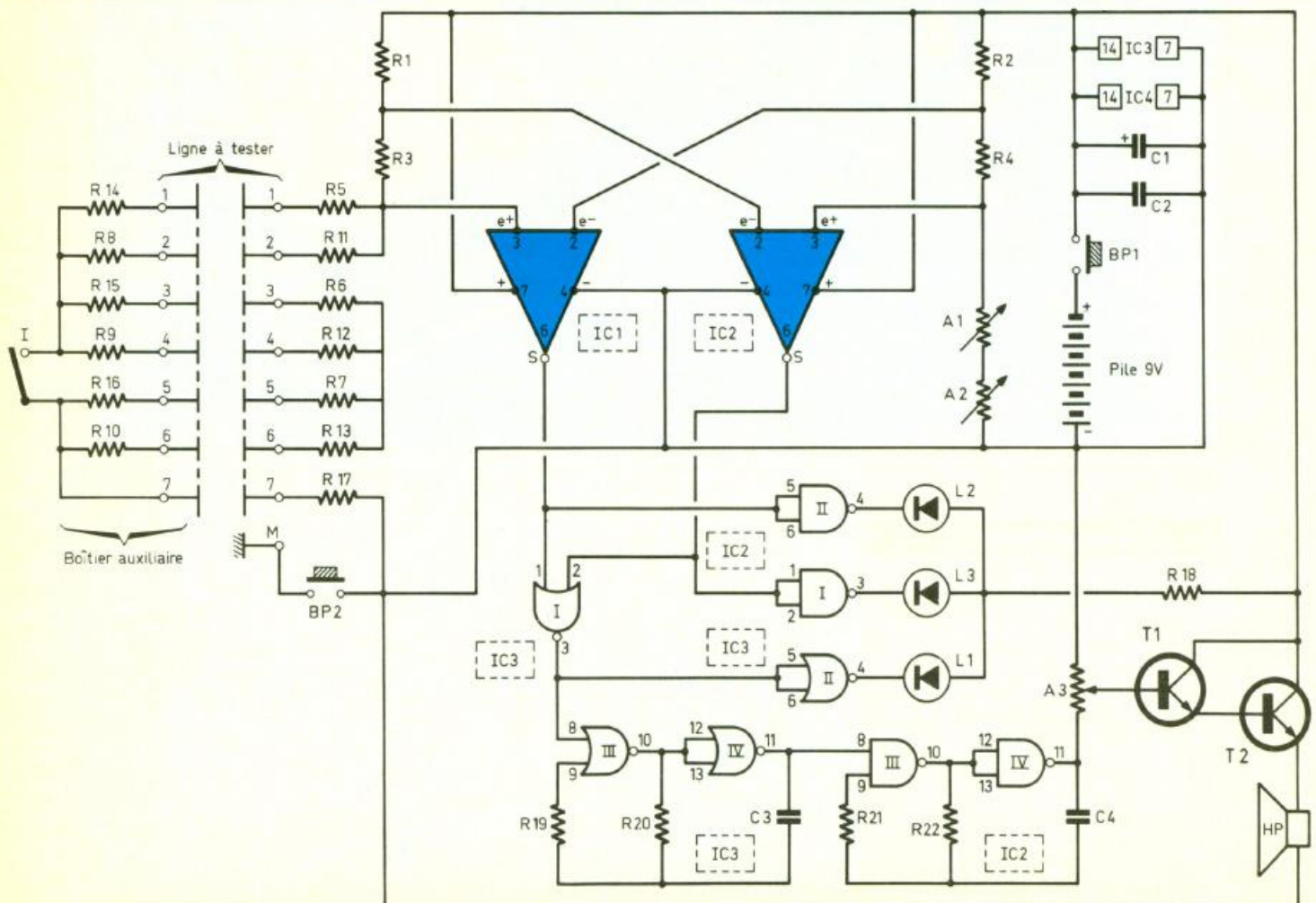
Nombre de fils à tester	Bornes à utiliser							Position de I	Résistance normale
	1	2	3	4	5	6	7		
2	X						X	F	14,9 k $\Omega$
3	X	X					X	F	9,8 k $\Omega$
4	X		X		X		X	$\emptyset$	35,3 k $\Omega$
5	X	X	X		X		X	$\emptyset$	30,2 k $\Omega$
6	X	X	X	X	X		X	$\emptyset$	25,1 k $\Omega$
7.	X	X	X	X	X	X	X	$\emptyset$	20 k $\Omega$

pas le bouton-poussoir BP<sub>1</sub>. C'est ce dernier qui assure l'alimentation de l'ensemble du dispositif. La capacité C<sub>1</sub> fait office de filtrage étant donné les micro-oscillations générées par la sonorisation, tandis que C<sub>2</sub> est plus particulièrement chargée de l'écoulement de fréquences parasites éventuelles. La consommation est très faible pour le fonctionnement de la chaîne de mesure. La génération du son est un peu plus gourmande, si bien que le débit normal est de l'ordre de 60 à 80 mA, ce qui confère à

la pile une relative longévité étant donné que les durées de fonctionnement sont très faibles, c'est-à-dire de l'ordre de quelques secondes par test.

### b) La chaîne de mesure

Plaçons-nous dans le cas où il s'agit de tester sept fils. Nous verrons en fin de chapitre ce qu'il convient de faire si ce nombre est inférieur. Le principe consiste donc à insérer les fils à tester dans un pont de résistances, de



1 Ce schéma de principe autorise le contrôle simultané d'un nombre de conducteurs pouvant aller jusqu'à sept. On retrouve 741, 4001 et 4011.

## 2 Exemples de variation de la résistance ohmique en cas d'anomalie.

### a) Situation normale

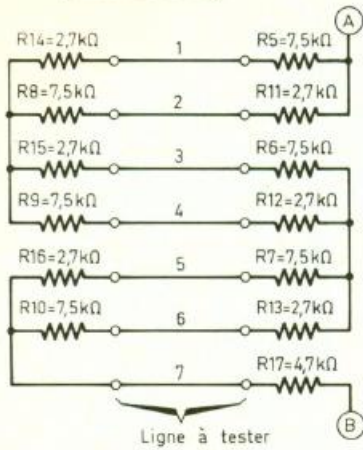
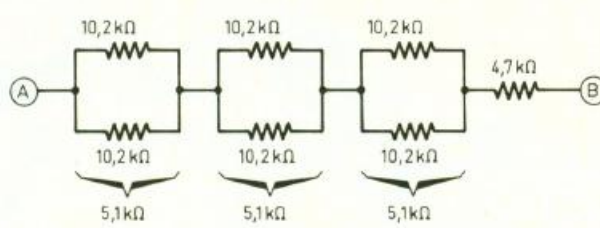


Schéma équivalent



$R_{\text{normale}} = 20\text{ k}\Omega$

### b) Coupure

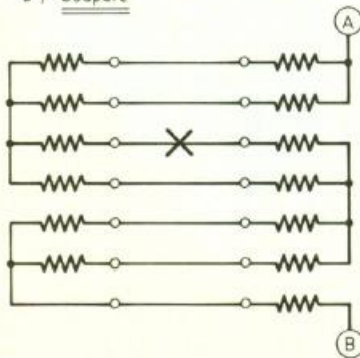
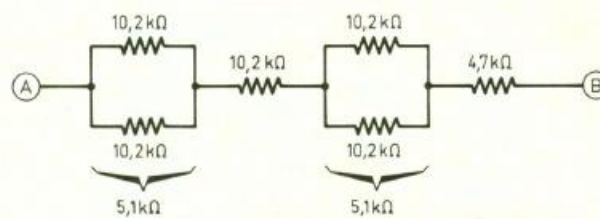


Schéma équivalent



$R = 25,1\text{ k}\Omega \Rightarrow$  soit une variation de + 25,5%

### c) Liaison accidentelle entre fils

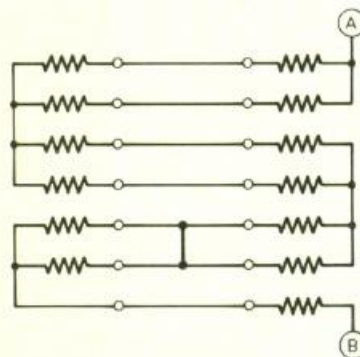
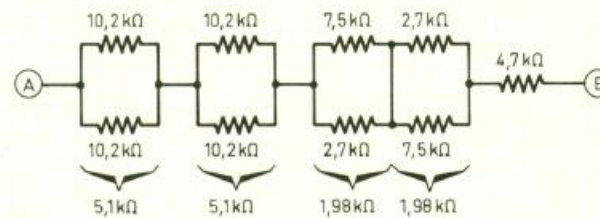


Schéma équivalent



$R = 18,87\text{ k}\Omega \Rightarrow$  soit une variation de - 5,65%

manière à obtenir des aller et retour entre les deux boîtiers. Le nombre de trajets à mettre en évidence est donc obligatoirement un nombre pair. La figure 2

a illustré le groupement ainsi obtenu, à savoir quatre trajets, c'est-à-dire deux aller et retour. Les trois premiers « parcours » sont constitués de deux fils re-

groupés en parallèle par l'intermédiaire de quatre résistances, deux par extrémité. Le fil numéro 7 sert au retour.

Compte tenu des valeurs des résistances utilisées, une application des principes du calcul du groupement des résistances en série/parallèle montre que la valeur normale de la chaîne ainsi constituée est de 20 kΩ.

Examinons à présent le cas où il se produit une coupure. La figure 2b illustre cette situation. On constate un passage à 25,1 kΩ de la résistance de l'ensemble, ce qui représente un écart de l'ordre de + 25 % par rapport à la situation normale. On peut noter que cet écart se creuse encore davantage en cas de coupures simultanées de deux fils non voisins. La résistance peut même passer à l'infini en cas d'interruption de la continuité de deux fils voisins ou encore de la liaison numéro 7. En conclusion, on peut retenir qu'un ou plusieurs défauts de continuité se traduisent par une **augmentation sensible de la résistance ohmique** de la chaîne.

La figure 2c met en évidence un contact accidentel entre deux fils. Dans ce cas, le calcul montre un écart négatif par rapport à la valeur nominale de la résistance de - 5,6 %.

Le déséquilibre des valeurs des résistances d'extrémités du groupement de deux fils voisins : 2,7 kΩ et 7,5 kΩ, est volontaire. En effet, si les valeurs de ces résistances étaient égales, il n'y aurait aucune différence de potentiel au niveau des deux conducteurs en question, et leur contact accidentel ne pourrait être mis en évidence. De même, et pour une raison identique, les résistances du boîtier auxiliaire sont nécessaires, toujours dans le but de créer des différences de niveau de potentiel entre fils voisins.

En définitive, tout contact accidentel entre fils de la ligne se traduit par une **diminution de la résistance ohmique de la chaîne**.

### c) Mise en évidence d'une anomalie

La chaîne de mesure précédemment évoquée est incorporée dans un pont de résistances comportant en outre  $R_1$  et  $R_3$ . La valeur de  $R_1$ , 12 kΩ, est relative-

3  
Voici la méthode d'utilisation du testeur suivant le nombre de fils à vérifier. On retrouve ce tableau sur le coffret.

Nombre de fils à tester	Bornes à utiliser							Position de I	Résistance normale
	1	2	3	4	5	6	7		
2	X						X	F	14,9 kΩ
3	X	X					X	F	9,8 kΩ
4	X		X	X	X	X		∅	35,3 kΩ
5	X	X	X	X	X	X		∅	30,2 kΩ
6	X	X	X	X	X	X	X	∅	25,1 kΩ
7	X	X	X	X	X	X	X	∅	20 kΩ

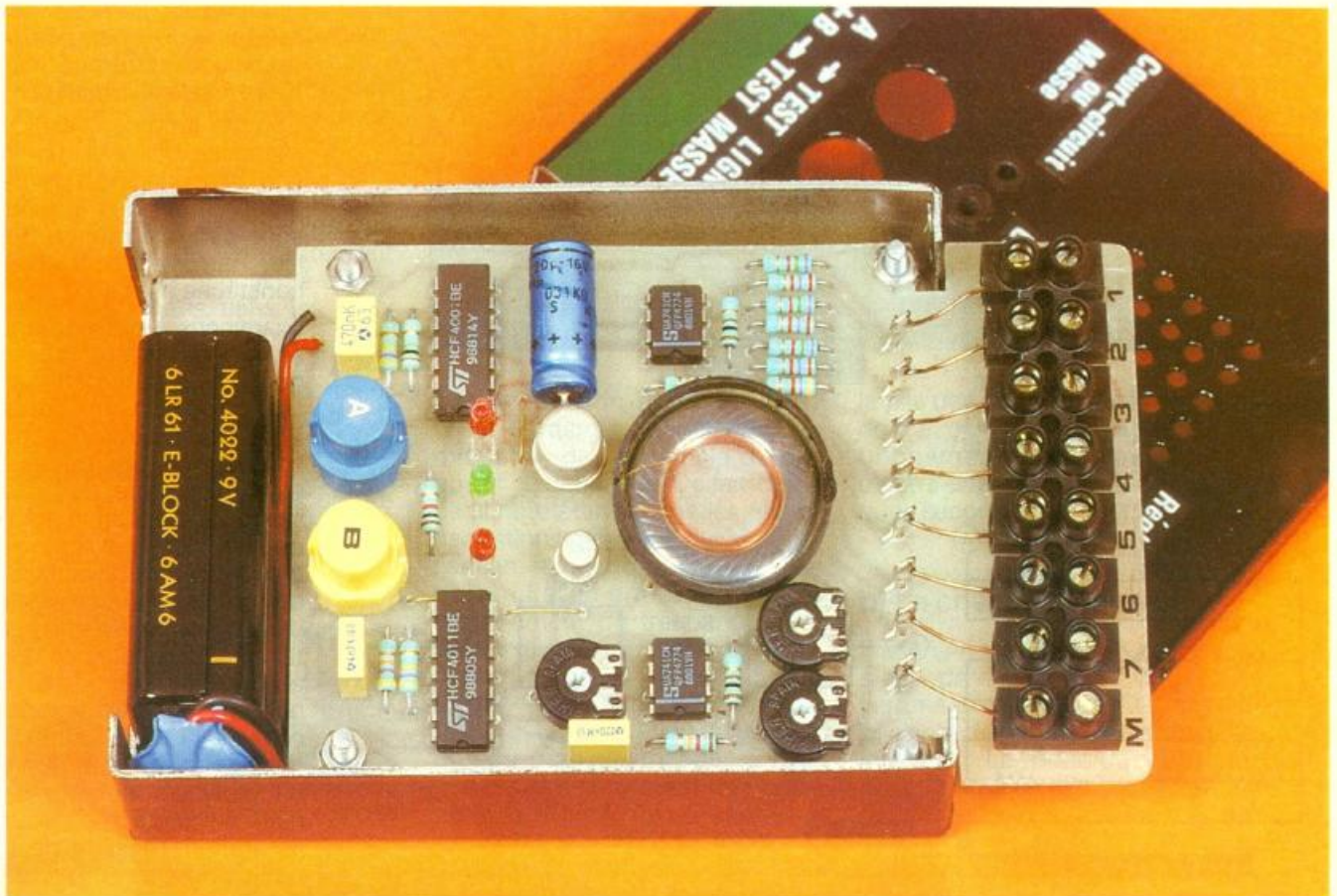


Photo 2. – Le module principal comporte sa pile d'alimentation 9 V miniature.

ment grande par rapport à celle de  $R_3$  qui n'est que de  $100 \Omega$ . En situation normale, on relève ainsi à la jonction  $R_1/R_3$ , un potentiel de

$$9 \text{ V} \times \frac{20 + 0,1}{20 + 12 + 0,1} = 9 \text{ V} \frac{20,1}{32,1} = 5,63 \text{ V}$$

Au niveau de la jonction  $R_3$ /pont de mesure, la valeur du potentiel est de :

$$9 \text{ V} \times \frac{20}{32,1} = 5,60 \text{ V}.$$

Le système constitué par  $R_2$ ,  $R_4$  et les ajustables  $A_1$  et  $A_2$  est tout à fait symétrique par rapport au précédent, une fois les curseurs

des ajustables correctement positionnés. Il en résulte un potentiel de  $5,63 \text{ V}$  à la jonction  $R_2/R_4$  et un potentiel de  $5,60 \text{ V}$  à la hauteur de la jonction  $R_4/A_1$ . Examinons à présent les deux amplificateurs opérationnels  $IC_1$  et  $IC_2$  qui sont des  $\mu A 741$  montés en comparateurs de potentiel. La figure 4 rappelle le fonctionnement d'un tel montage. Il convient de retenir les deux cas possibles en ce qui concerne la sortie d'un  $\mu A 741$  :

– Le potentiel auquel est soumise l'entrée directe  $e^+$  est supérieure à celui de l'entrée inverseuse  $e^-$  : la sortie présente un potentiel très voisin de la tension

d'alimentation : c'est un niveau logique 1.

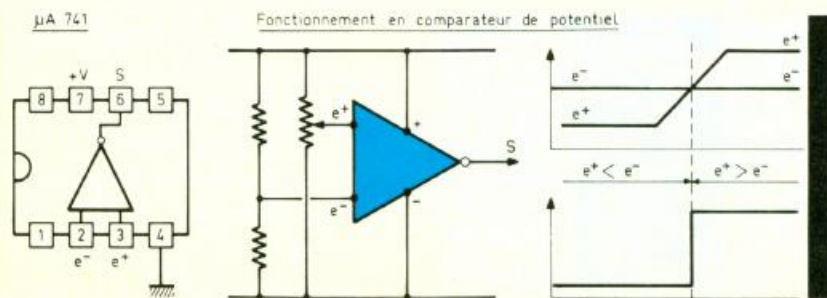
– Le potentiel  $e^+$  est inférieur à celui de  $e^-$  ; la sortie présente un potentiel voisin de  $0 \text{ V}$  (à la tension de déchet près, qui est de l'ordre de  $1,9 \text{ V}$ ) : c'est un niveau logique nul.

Compte tenu des branchements des entrées des deux IC sur les points particuliers du montage évoqués ci-dessus, on peut constater qu'en cas de situation normale, et pour les deux comparateurs, l'entrée  $e^-$  est soumise à un potentiel supérieur à celui de  $e^+$ . Il en résulte un état logique nul sur les sorties des deux IC.

Compte tenu de la règle de fonctionnement d'une porte NOR, on relève ainsi à la sortie de la porte NOR I de  $IC_3$  un état haut, ce qui se traduit par un état bas sur la sortie de la porte inverseuse NOR II de  $IC_3$ . Par l'intermédiaire de  $R_{18}$  qui fait office de limitation de courant, la LED verte  $L_1$  « situation normale » s'allume. En revanche, les sorties des portes inverseuses NAND I et II de  $IC_2$  présentent toutes les deux un état haut, si bien que les LED rouges « défaut » sont éteintes.

# 4

Le 741 ci-contre est monté en comparateur de potentiel.



Passons à présent à l'examen des défauts.

### 1. Coupure

La résistance de la chaîne de mesure augmente dans des proportions assez importantes, si bien que les potentiels  $e^+$  de IC<sub>1</sub> et  $e^-$  de IC<sub>2</sub> augmentent. Il en résulte :

- pour IC<sub>1</sub>, l'inégalité  $U_{e^+} > U_{e^-}$ , donc une sortie à l'état haut ;
- pour IC<sub>2</sub>, l'inégalité  $U_{e^+} < U_{e^-}$  : la sortie reste à l'état bas.

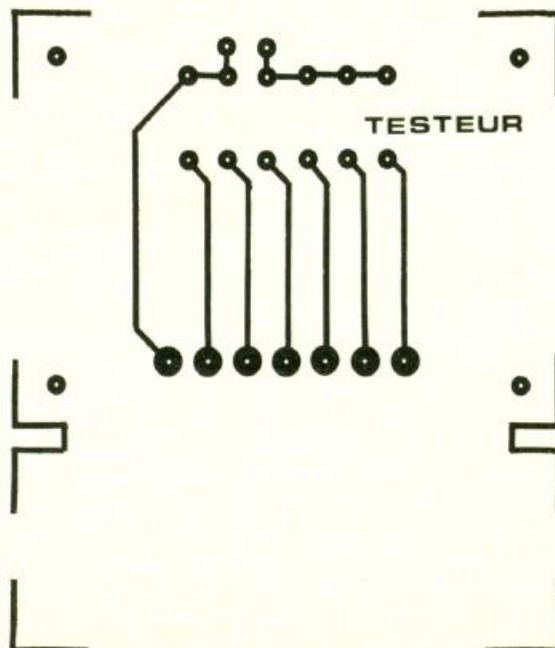
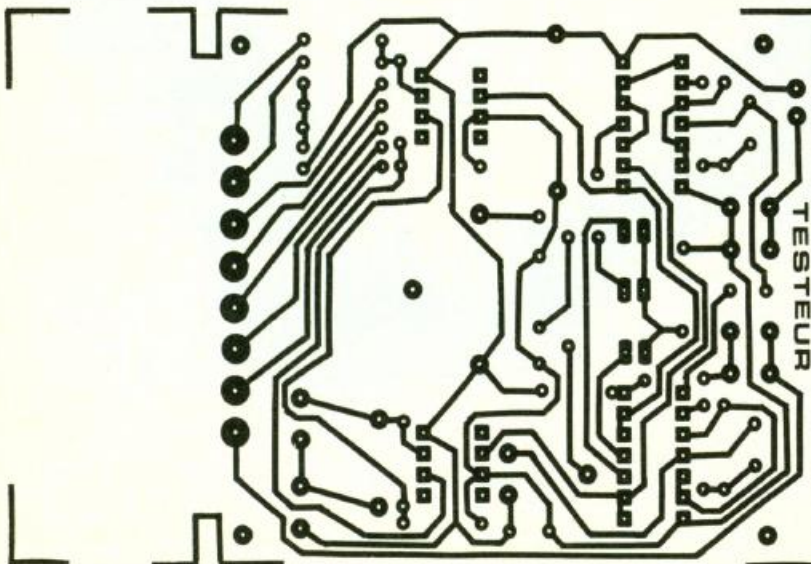
La sortie de la porte NOR I passe à l'état bas et celle de la porte NOR II à l'état haut : L<sub>1</sub> s'éteint. La sortie de la porte NAND II passe à l'état bas et la LED rouge L<sub>2</sub> « coupure » s'allume.



Photo 3. – Gros plan sur le haut-parleur 4/8 Ω de 28 mm de diamètre.

5

Le testeur fait appel en vérité à deux tracés de circuit imprimés publiés grandeur nature pour une reproduction plus facile.



### 2. Court-circuit entre fils

La résistance de la chaîne de mesure diminue et les potentiels  $e^+$  de IC<sub>1</sub> et  $e^-$  de IC<sub>2</sub> diminuent. Le lecteur vérifiera sans peine que, dans ce cas, c'est la LED L<sub>3</sub> « court-circuit » qui s'allume.

Enfin, en appuyant également sur BP<sub>2</sub>, on relie la polarité négative du montage à la masse du circuit à tester. Tout contact entre n'importe quel conducteur et la masse produit les mêmes effets qu'un court-circuit entre fils, et la LED L<sub>3</sub> s'allume encore. En fait, l'expérience montre que le dispositif détecte même les mauvaises résistances d'isolement par rapport à la masse. Le système déclenche en effet dès que cette résistance d'isolement tombe au-dessous de 15 à 20 kΩ.

### d) Signalisation sonore

Du paragraphe précédent, il convient de retenir que la sortie de la porte NOR I :

- présente un état haut en situation normale ;
- présente un état haut en cas d'anomalie.

Les portes NOR III et IV constituent un multivibrateur commandé. Ce dernier est bloqué dans le cas de la situation normale. En effet, la sortie de la porte III présente un état bas, donc celle de la porte IV délivre un état haut permanent. Cet état haut attaque l'entrée de commande d'un second multivibrateur commandé, formé par les portes NAND III et IV de IC<sub>2</sub>. Ce-

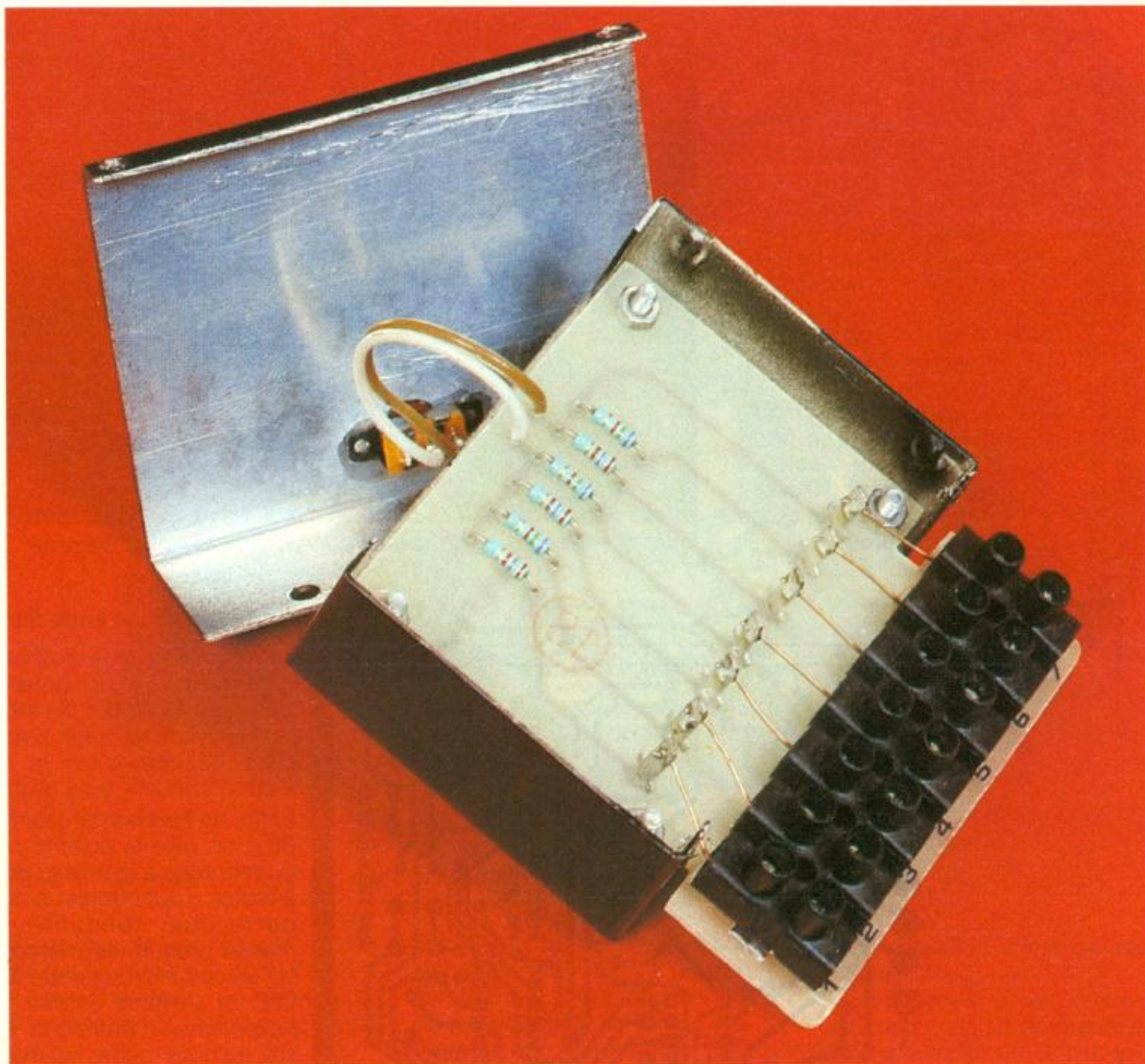


Photo 4. – L'autre boîtier ne renferme que des résistances.

lui-ci entre en oscillation. La fréquence des créneaux délivrés dépend de  $R_{22}$  et de  $C_4$  : elle est de l'ordre de 2 kHz dans le cas présent, ce qui correspond à une fréquence audible musicale. Les transistors  $T_1$  et  $T_2$  sont montés en Darlington. Grâce au curseur de  $A_3$ , il est possible de prélever une fraction plus ou moins importante du potentiel des créneaux délivrés par le multivibrateur, ce qui permet de régler selon son désir la puissance sonore du son continu délivré dans ce cas par le haut-parleur.

En cas de détection d'une anomalie, la porte NOR I délivre un état bas, ce qui permet au multivibrateur NOR III et IV d'entrer en oscillation. Compte tenu des valeurs de  $R_{20}$  et de  $C_3$ , la fréquence des créneaux émis est beaucoup plus faible : de l'ordre de 2 Hz. Il en résulte le blocage

périodique du multivibrateur NAND III et IV, ce qui a pour effet de générer au niveau du haut-parleur un bip-bip caractérisant une anomalie.

#### e) Test d'un câble comportant moins de sept fils

Le tableau de la figure 3 indique ce qu'il convient de faire dans chaque cas. Le principe est simple ; il s'agit d'assurer, suivant les situations, des trajets courant simples, aller ou retour, en nombre pair.

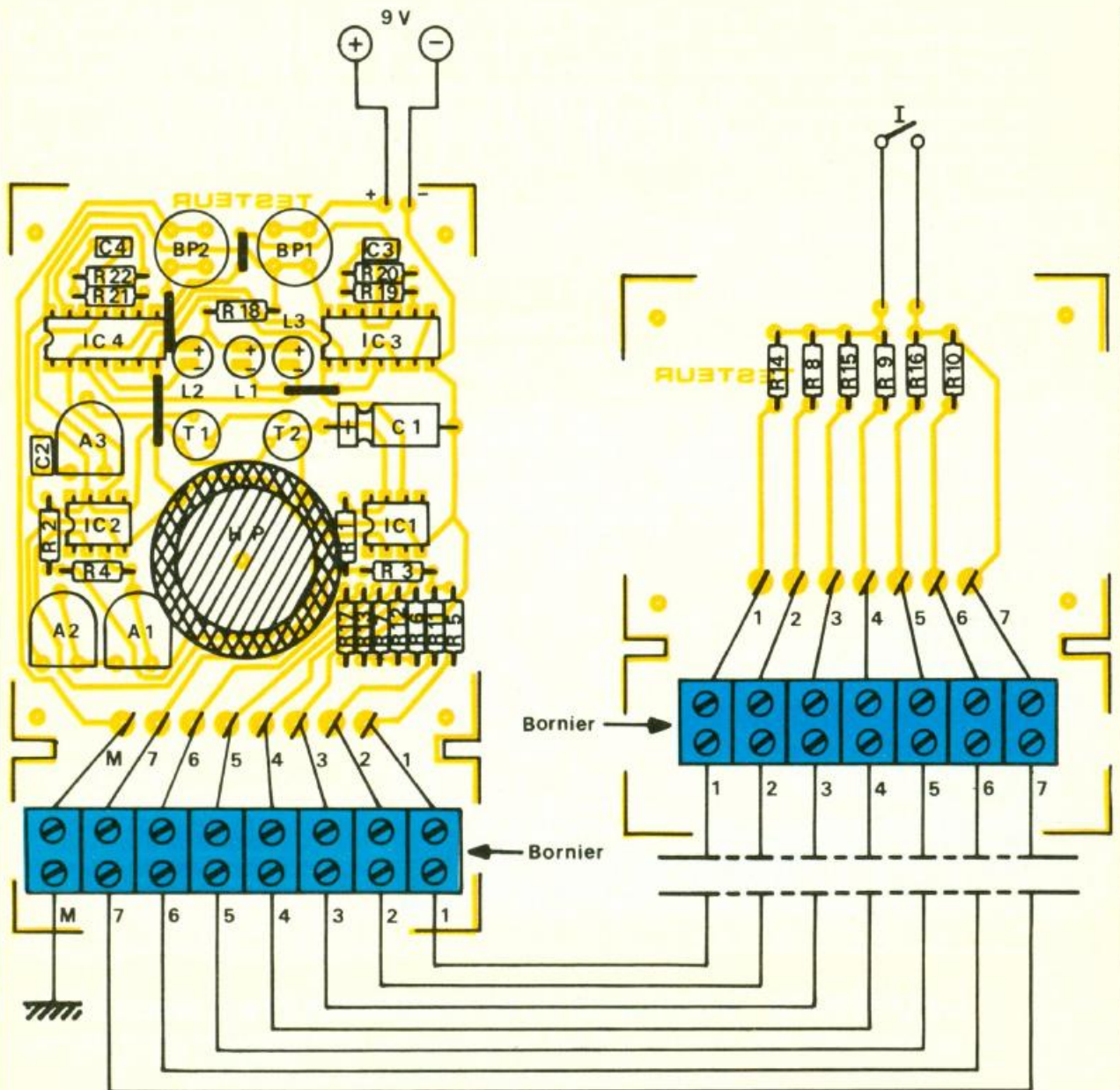
Pour les cas de deux ou trois conducteurs, il est nécessaire de fermer l'interrupteur I du boîtier auxiliaire afin de réaliser les shuntages qui s'imposent. Bien entendu, dans chaque cas, il faut établir auparavant la situation normale de référence en agissant

sur les curseurs des ajustables  $A_1$  et  $A_2$ . L'ajustable  $A_1$  constitue le potentiomètre d'approche tandis que  $A_2$  sert à l'ajustement plus précis. La méthode de réglage est fort simple. Le curseur de  $A_2$  sera d'abord placé sur sa position médiane. Ensuite, on tournera lentement le curseur de  $A_1$  jusqu'à obtenir l'allumage de la LED verte  $L_1$ . Par la suite, on tourne le curseur de  $A_2$  dans un sens, puis dans l'autre, pour définir dans chaque cas la position correspondant à l'extinction de  $L_1$ . Un bon réglage stabilisé est alors obtenu en plaçant le curseur de  $A_2$  sur la bissectrice de l'angle formé par ces deux positions extrêmes où l'équilibre est rompu.

Naturellement, pour effectuer ces réglages, il est nécessaire de relier les deux boîtiers par des fils isolés de quelques centimètres

# 6

Du côté implantation des éléments, la carte principale emploie quelques straps de liaison évitant d'avoir recours au circuit double face. Utilisation de très pratiques dominos.



de longueur aux bornes correspondantes, préconisées par le tableau de la figure 3.

## III - LA REALISATION PRATIQUE

### a) Circuits imprimés (fig. 5)

Ils sont au nombre de deux : un premier module destiné au boîtier principal et un second module à l'intention du boîtier auxiliaire. Leur réalisation ne pose pas de problème particulier étant donné la relative simplicité de la configuration de leurs pistes. Une méthode à la portée de tous les amateurs consiste à appliquer directement, sur la face cuivre de l'époxy, les divers éléments de

transfert Mécanorma disponibles auprès des fournisseurs. Auparavant, on aura pris soin de dégraisser le cuivre, pour obtenir une bonne application. Après gravure dans un bain de perchlorure de fer et un rinçage abondant, toutes les pastilles seront percées à l'aide d'un foret de 0,8 mm de diamètre. Certains seront à agrandir à 1 ou 1,5 mm, suivant le diamètre des connexions des composants à implanter. Pour assurer au circuit imprimé une meilleure tenue mécanique et surtout chimique, l'auteur conseille d'étamer les pistes, directement au fer à souder.

### b) Implantation des composants (fig. 6)

On procédera d'abord à la mise en place des quelques straps de

liaison, qui peuvent d'ailleurs être constitués de fil de cuivre nu. Ensuite, ce sera le tour des résistances, des capacités et des transistors.

Après soudure des ajustables et des boutons-poussoirs, on implantera les trois LED de signalisation en tenant compte de la hauteur nécessaire des « pattes » afin de les faire aboutir à la surface du couvercle du boîtier. En dernier lieu, on implantera les circuits intégrés. Il va sans dire qu'il convient de veiller particulièrement à l'orientation des composants polarisés tels que transistors, capacité électrolytique, LED et surtout circuits intégrés. Toute erreur à ce niveau compromet totalement le fonctionnement du montage. Par ailleurs, lors de la soudure des broches

des circuits intégrés, il est absolument indispensable de ménager un temps de refroidissement suffisant entre deux soudures consécutives sur le même boîtier. Le haut-parleur peut être directement immobilisé sur le circuit imprimé, par simple collage. Afin de diminuer un peu sa hauteur par rapport à la surface supérieure de l'époxy, il est conseillé de le « noyer » dans ce dernier après avoir pratiqué la découpe circulaire qui s'impose.

Les boutons-poussoirs sont du type de ceux que l'on peut directement souder sur circuit imprimé. C'est leur hauteur qui définit le positionnement vertical du circuit dans le boîtier, étant donné la nécessité de les faire dépasser de quelques millimètres, la surface du couvercle du boîtier.

### c) Montage dans les boîtiers

Les modules en époxy sont caractérisés par une forme qui assure leur dépassement intentionnel des boîtiers. Cette partie dépassante servira de base de fixation, par collage, d'une rangée de dominos de raccordement destinés au branchement avec le circuit à tester. On pren-

dra soin de bien marquer les numéros d'ordre pour une meilleure utilisation.

Le couvercle du boîtier principal est à percer de façon à ménager le passage :

- des deux boutons-poussoirs ;
- des trois LED de signalisation ;
- de deux trous d'accès aux

ajustables à l'aide d'un tournevis. Par ailleurs, en face du haut-parleur, il y a lieu de percer également quelques trous destinés au passage du son.

Sur le boîtier auxiliaire, l'interrupteur I peut être fixé sous le couvercle, également par collage.

Robert KNOERR

## LISTE DES COMPOSANTS

4 straps (1 horizontal, 3 verticaux)

R<sub>1</sub>, R<sub>2</sub> : 2 × 12 kΩ (marron, rouge, orange)

R<sub>3</sub> et R<sub>4</sub> : 2 × 100 Ω (marron, noir, marron)

R<sub>5</sub> à R<sub>10</sub> : 6 × 7,5 kΩ (violet, vert, rouge)

R<sub>11</sub> à R<sub>16</sub> : 6 × 2,7 kΩ (rouge, violet, rouge)

R<sub>17</sub> : 4,7 kΩ (jaune, violet, rouge)

R<sub>18</sub> : 1 kΩ (marron, noir, rouge)

R<sub>19</sub> : 1 MΩ (marron, noir, vert)

R<sub>20</sub>, R<sub>21</sub> : 2 × 470 kΩ (jaune, violet, jaune)

R<sub>22</sub> : 47 kΩ (jaune, violet, orange)

Ajustables à implantation horizontale, pas de 5,08 :

A<sub>1</sub> : 47 kΩ

A<sub>2</sub> : 47 kΩ

A<sub>3</sub> : 47 kΩ

L<sub>1</sub> : LED verte ø 3

L<sub>2</sub> et L<sub>3</sub> : 2 LED rouges ø 3

C<sub>1</sub> : 220 μF/10 V électrolytique

C<sub>2</sub> : 0,22 μF milfeuil

C<sub>3</sub> : 0,47 μF milfeuil

C<sub>4</sub> : 4,7 nF milfeuil

T<sub>1</sub> : transistor NPN BC 108, 109, 2N2222

T<sub>2</sub> : transistor NPN 2N1613, 1711

IC<sub>1</sub> et IC<sub>2</sub> : 2 μA 741, amplificateur opérationnel

IC<sub>3</sub> : CD 4001, 4 portes NOR à 2 entrées

IC<sub>4</sub> : CD 4011, 4 portes NAND à 2 entrées

HP : haut-parleur 4/8 Ω, ø 28

Pile 9 V

Coupleur de pile

Interrupteur à glissière

2 boutons-poussoirs (implantation sur circuit imprimé)

17 picots

1 rangée de 7 dominos

Boîtier Teko alu 100 × 70 × 28

Boîtier Retex alu 75 × 55 × 25

## Les Editions Techniques et Scientifiques Françaises (ETSF)

recherchent des auteurs dans le domaine de l'électronique de loisirs

Ecrire ou téléphoner à Bernard FIGHIERA

2 à 12, rue de Bellevue, 75019 Paris. Tél. : (1) 42.00.33.05.

# MANUDAX

# M 80-20 A

Le nouveau multimètre  
4000 points qui obéit  
automatiquement  
au doigt et à l'œil

### AU DOIGT

Toutes les fonctions sont regroupées sur un clavier à touches ergonomiques y compris fréquencemètre et data hold.

### A L'OEIL

Grâce à un display géant de 42 mm avec un affichage de 24 mm de haut  
Précision 0,5 %

+ Forfait de port 30 F

## 790<sup>F</sup>

En vente chez :

**ACER composants**

42, rue de Chabrol,  
75010 PARIS.

☎ 47.70.28.31

Télex 643 608

**REUILLY composants**

79, boulevard Diderot,  
75012 PARIS

☎ 43.72.70.17

Télex 643 608

# COMMUTATEUR D'ALIMENTATION



Il est souvent désagréable qu'un appareil à alimentation autonome soit désespérément hors d'état de servir, si, par étourderie, son alimentation (batterie ou pile) n'a pas été vérifiée avant utilisation.

Pour pallier à un tel désagrément, nous vous proposons une réalisation qui peut rendre service dans de nombreux cas. Nous pensons notamment aux amateurs de maquettes navigantes, qui pourront ramener à bon port leurs bijoux sans pour autant prendre un bain forcé.

Ceci n'est qu'un exemple. Rien n'empêche le futur utilisateur d'employer ce montage dans bien d'autres cas.

## PRINCIPE

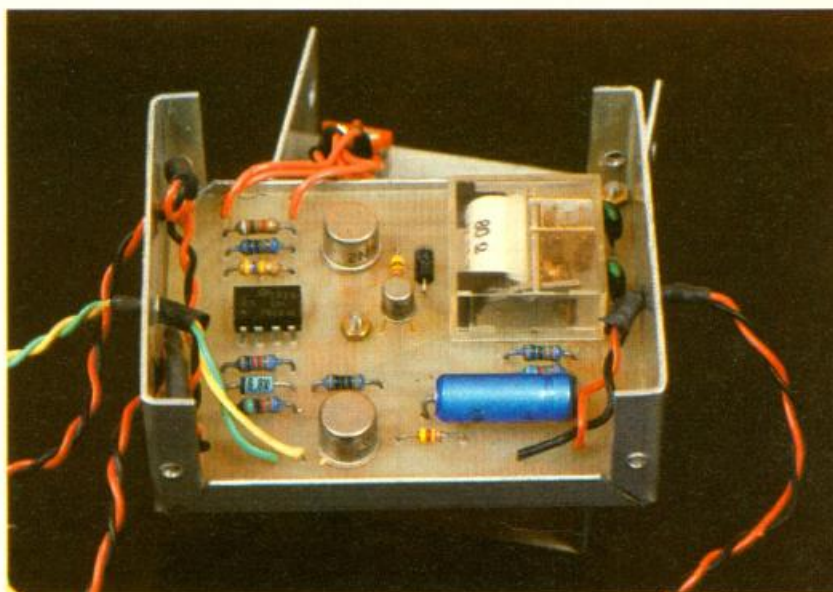
### a) Généralités (fig. 1)

La source d'alimentation principale (batterie ou pile) qui alimente un appareil ou un montage est doublée, d'une alimentation secondaire de même type. La tension de la source principale est constamment surveillée par notre réalisation, et, dès que cette tension arrive au seuil fixé (baisse de tension), un relais commute l'alimentation secondaire, cette commutation étant signalée soit par témoin lumineux, soit par témoin sonore.

### b) Principe de mesure (fig. 2)

La tension de la batterie ou pile de l'alimentation principale est envoyée à l'entrée d'un ampli opérationnel monté en comparateur à travers un diviseur de tension correspondant au seuil de commutation ( $V_e$ ), tandis que son autre entrée est portée à une tension de référence ( $V_{réf}$ ).

Tant que  $V_e$  est supérieur à  $V_{réf}$ ,  $V_o$  est au niveau bas, le montage reste inactif. Si, au contraire,  $V_e$  est inférieur à  $V_{réf}$ ,  $V_o$  est au niveau haut, et commande le relais ainsi que la signalisation.



La mesure consiste donc à comparer la tension d'alimentation à une référence en utilisant la propriété des amplis opérationnels qui permettent, pour une faible différence de tension  $V_e - V_{réf}$ , d'obtenir une grande excursion de  $V_o$ .

## ELECTRONIQUE

### a) Alimentation (fig. 3)

L'alimentation est assurée directement par celle du montage ou appareil sur lequel la réalisation est montée.

Sachant que certaines tensions sont plus couramment utilisées, comme le 9 V et le 12 V, il n'est pas impossible de pouvoir travailler avec des tensions inférieures ou supérieures, mais une mise en garde est à observer, quant à la tension d'alimentation des amplis opérationnels : pour une tension inférieure à 8 V, le 741 ne sera

pas en mesure de travailler correctement, alors qu'avec 24 V il sera dans la limite,  $\pm 15$  V (soit 30 V) étant le maximum de ces caractéristiques.

Il restera le choix d'employer d'autres références d'amplis, en prenant soin de vérifier les caractéristiques des tensions d'alimentations minimales et maximales.

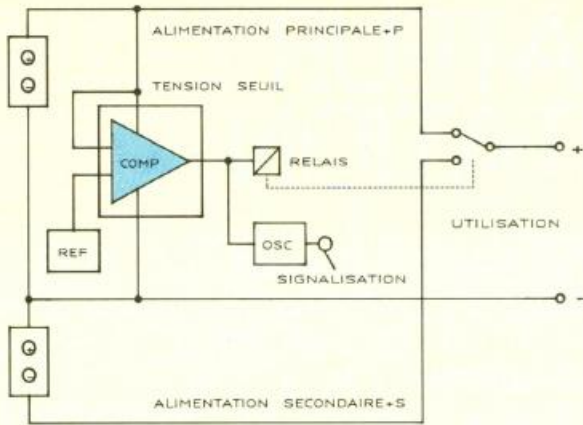
### b) Comparateur

La tension de la source principale (12 V pour notre réalisation) alimente donc le montage, constitué principalement d'un très classique 741 monté en comparateur, dont l'entrée non inverseuse (Pin 3) reçoit par le diviseur de tension  $R_1, R_2$  la tension de seuil au-dessous de laquelle IC<sub>1</sub> passe au niveau 1.

L'entrée inverseuse (Pin 2) est portée à une tension de référence par  $R_3$  et  $Z_1$  ( $Z_1$  est égale à peu près à la demi-version d'alimentation), par l'intermédiaire de

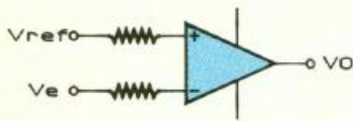
1

La tension de la source principale est constamment surveillée.



2

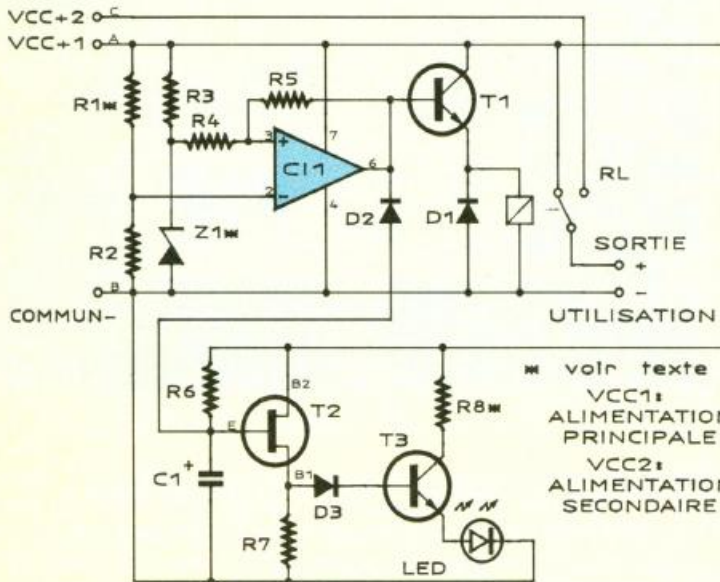
Utilisation d'un ampli OP monté en comparateur.



V ALIMENTATION	VO
SUPERIEUR A Vref	0
INFERIEUR A Vref	1

3

Schéma de principe complet qui fait, entre autres, appel à un UJT ; le comparateur, quant à lui, utilise un classique 741.



voir texte  
 VCC1: ALIMENTATION PRINCIPALE  
 VCC2: ALIMENTATION SECONDAIRE

4

Tableau des valeurs suivant les tensions les plus courantes. Exemple de calcul pour 12 V :

a) tension de seuil (Pin 2) = tension principale - 1 V ;  
 b) tension de Z<sub>1</sub> = 1/2 tension principale.

Tension principale	Tension de seuil	Valeur Z <sub>1</sub>	Valeur R <sub>1</sub>	Valeur R <sub>8</sub>
12 V	11 V	6,8	9,1 K	1 K
9 V	8 V	4,7	10 K	470
8 V	7 V	3,6	15 K	330

$$R_1 = R_2 \frac{\text{tension seuil} - (\text{différence entre tension seuil} - \text{tension } Z_1)}{\text{tension } Z_1}$$

$$\text{soit } R_1 = R_2 \frac{11 \text{ V} - (11 \text{ V} - 6,8 \text{ V})}{6,8 \text{ V}}$$

$$\text{ou encore } R_1 = 15 \text{ K} \frac{4,2 \text{ V}}{6,8 \text{ V}}$$

Ce qui donne  $R_1 = 9\,264 \Omega$ , arrondis à 9,1 k $\Omega$ .

R<sub>4</sub>, tandis que R<sub>5</sub> joue le rôle d'hystérésis pour éviter que T<sub>1</sub> ne soit conducteur au-dessous de la tension franche de basculement de IC<sub>1</sub>, ceci afin d'assurer un collage franc du relais.

Tant que l'entrée inverseuse (Pin 2) est supérieure à 11 V (point médian de R<sub>1</sub>-R<sub>2</sub>), sortie de IC<sub>1</sub> reste au niveau bas. Si, au contraire, la tension chute franchement au-dessous de ce seuil, IC<sub>1</sub> passe au niveau haut, sa sortie, portée à sa tension d'alimentation, active la base de T<sub>1</sub> qui à son tour fait basculer RL sur la position travail, ce qui a pour conséquence de désolidariser la source d'alimentation principale alors que la source secondaire est mise en service.

Dans le même temps, la diode D<sub>2</sub>, qui bloque le transistor unijonction T<sub>2</sub>, libère ce dernier dont l'émetteur était à un seuil  $\pi$  insuffisant, C<sub>1</sub> se charge à travers R<sub>6</sub> et se décharge de E vers B<sub>1</sub>, l'ensemble entre en oscillation, à l'émetteur de T<sub>3</sub> un signal carré est appliqué soit à une LED, soit à un buzzer.

## REALISATION

### a) Circuit imprimé (fig. 5)

Suivant l'habitude de chacun, il peut être réalisé soit par transfert direct Mécanorma sur la face cuivre de l'époxy, soit par confection d'un mylar, et méthode photographique.

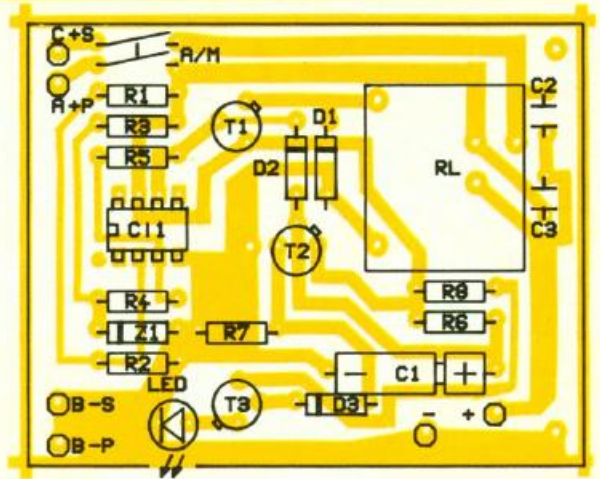
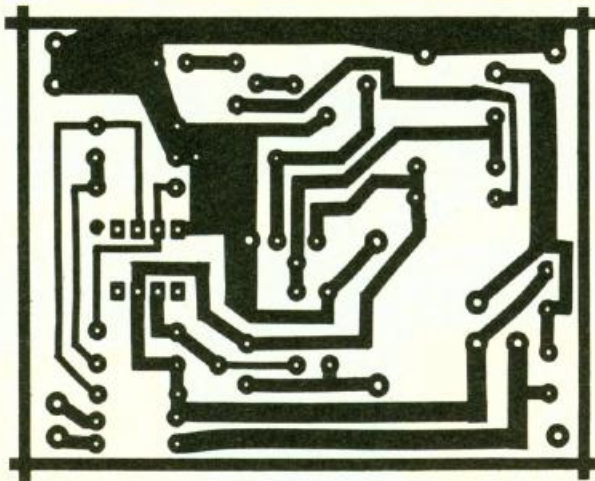
Quelle que soit la méthode, après gravure, tous les trous sont percés à 0,8 mm de diamètre, certains seront agrandis à 1,2 ou 1,3 mm pour les connexions relais, 2 mm pour les vis de fixation au boîtier. Il est conseillé d'étamer les pistes du circuit pour une meilleure protection de celles-ci ; cela donne également plus de résistance mécanique. Il est prévu, sur le circuit imprimé, des pastilles pour connecter un double inverseur de M/A.

### b) Implantation des composants (fig. 6)

La pose des composants reste simple. Commencer par les plus faibles épaisseurs : diodes, résistances, condensateurs ; poursuivre par le circuit intégré, les transistors et enfin le relais ; terminer par les connexions par fils souples.

# 5-6

Tracé du circuit imprimé et implantation des éléments à l'échelle.



Il est indispensable de veiller à la bonne orientation du circuit intégré, de la polarité des diodes et du chimique ainsi que des transistors.

Avant mise sous tension, vérifier, plutôt deux fois qu'une, toutes les soudures : ces dernières sont la cause de 90 % de non-fonctionnement ; éviter également les ponts de soudure. Le soin porté à ces vérifications est un gage de réussite.

### c) Mise en boîtier

Le circuit imprimé est fixé par trois vis tête fraisée de 2 mm de diamètre avec écrous et entretoises de 5 mm de hauteur confectionnées dans du tube laiton 2,5 x 4 mm de diamètre. Le boîtier utilisé est un modèle TEK0 en aluminium. Avant pose du circuit imprimé, effectuer les perçages des trous de passage des fils de connexions.

### d) Réglage

S'il n'y a aucune erreur dans la pose des composants, dans les connexions et les soudures, le montage doit fonctionner du premier coup. Pour une vérification, il suffit de brancher les fils de la source principale sur une alimen-

tation réglable, en jouant sur le réglage de la tension : le relais doit commuter à 1 V sous la tension choisie, le signal carré recueilli à l'émetteur de T<sub>3</sub> active une LED (attention à la valeur de R<sub>8</sub>), ou un buzzer (voir schéma d'utilisation fig. 7).

G. MARTIN

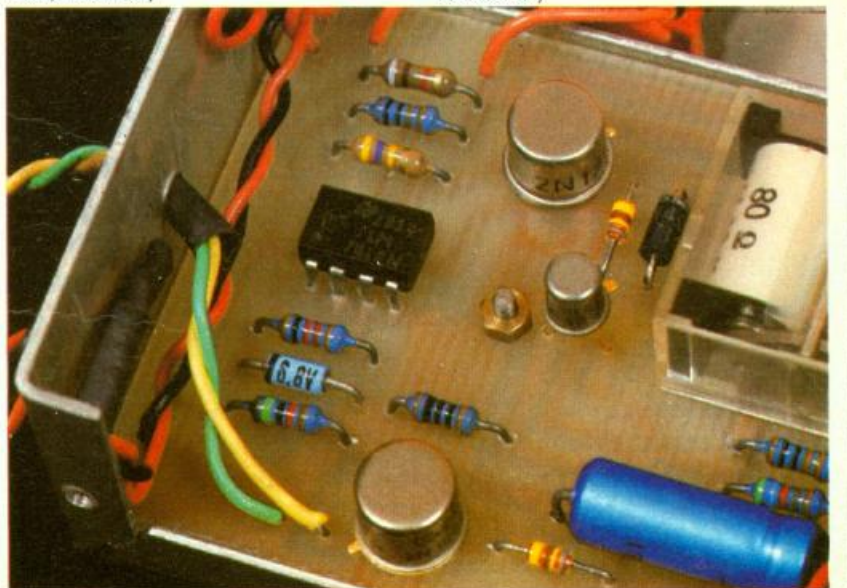
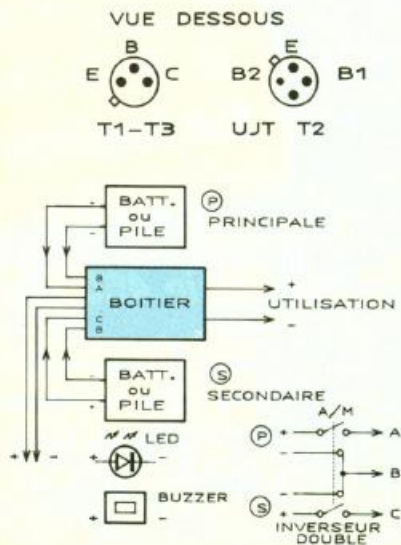
## LISTE DES COMPOSANTS

- R<sub>1</sub> (voir tableau) : 1/4 W 5 %
- R<sub>2</sub> : 15 kΩ 1/4 W 5 % (marron, vert, orange)
- R<sub>3</sub> : 1 kΩ 1/4 W 5 % (marron, noir, rouge)
- R<sub>4</sub> : 10 kΩ 1/4 W 5 % (marron, noir, orange)
- R<sub>5</sub> : 470 kΩ 1/4 W 5 % (jaune, violet, jaune)
- R<sub>6</sub> : 5,6 kΩ 1/4 W 5 % (vert, bleu, rouge)
- R<sub>7</sub> : 100 Ω 1/4 W 5 % (marron, noir, marron)

- R<sub>8</sub> (voir tableau) : 1/4 W 5 %
- Z<sub>1</sub> (voir tableau) : 500 mW
- C<sub>1</sub> : 50 à 64 μF/25 V électrolytique
- C<sub>2</sub>, C<sub>3</sub> : 22 nF céramique 16 ou 32 V
- D<sub>1</sub> : 1N4007
- D<sub>2</sub>, D<sub>3</sub> : 1N914, 1N4148
- T<sub>1</sub> : 2N1711
- T<sub>2</sub> : 2N2646 U.J.T.
- T<sub>3</sub> : 2N1711, 2N1889
- Cl<sub>1</sub> : 741
- RL : relais 1 INV, tension bobine suivant alimentation (9-12 V)
- LED Ø3 ou 5 mm ou buzzer (ce dernier peut être incorporé dans le boîtier)

# 7

Brochages des composants et raccordement de l'ensemble pour utilisation.



# INITIATION N° 4



Avant d'aborder la mise en œuvre de diodes, il est nécessaire de faire quelques compléments sur les relations associées à la charge ou décharge d'un condensateur, ce qui impose aussi une petite pause au niveau des exercices d'applications. On définira également les caractéristiques de la diode zener et quelques applications premières.

## CALCUL DE CHARGE APPROFONDI (fig. 1)

Ce petit retour en arrière permettra, à tous ceux qui ont rangé au placard leur bosse des maths, d'apporter le complément mathématique nécessaire, bien que sortant un peu du cadre de la revue.

Preons le schéma de charge élémentaire de la **figure 1a**. Au départ, initialement, donc à  $t = 0$ , on considère le condensateur déchargé, dont  $V_C = 0$  V. Le condensateur va se charger (sa tension va croître) par la présence de la tension  $V_{AS}$  et de la résistance  $R$ . Celle-ci définira la vitesse de croissance de  $V_C$ , tension aux bornes du condensateur. Une fonction mathématique exprime cette relation :  
 $V_C = V_{AS} \cdot (1 - e^{-t/RC})$

La courbe est donnée en **figure 1b**. Le générateur  $V_{AS}$  fixe la tension maximale qu'atteindra  $V_C$ , et ce pour un temps infini ; c'est la limite asymptotique de la courbe, d'où l'appellation  $V_{AS}$ .

Posons-nous un problème, pour compléter la méthode de calcul définie dans le volet 2 de cette série. Calculons  $t_1$ , temps pour lequel  $V_C$  varie de 0 V à 2 V, et  $t_2$ , pour lequel  $V_C$  varie de 0 V à 1 V. On calculera également  $t_3$ , temps pour lequel  $V_C$  varie de 1 V à 2 V, résultat que l'on pourra vérifier par les résultats précédents, car  $t_3 = t_1 - t_2$ .

Pour le calcul de  $t_1$  et de  $t_2$ , on utilise l'équation de  $V_C = f(t, R, V_{AS})$ , après l'avoir modifiée sous la forme  $t = f(V_C, \dots)$ . On utilise donc un développement mathématique :

$$\begin{aligned} V_C &= V_{AS} \cdot (1 - e^{-t/RC}) \\ \Leftrightarrow (V_C - V_{AS}) - 1 &= -e^{-t/RC} \\ \Leftrightarrow \ln(1 - (V_C/V_{AS})) &= \ln(e^{-t/RC}) \\ \Leftrightarrow -\ln(1 - (V_C/V_{AS})) &= t/RC \\ \Leftrightarrow \ln(V_{AS}/(V_{AS} - V_C)) &= t/RC \\ \Leftrightarrow (V_C/V_{AS}) &= 1 - e^{-t/RC} \\ \Leftrightarrow 1 - (V_C/V_{AS}) &= e^{-t/RC} \\ \Leftrightarrow \ln(1 - (V_C/V_{AS})) &= (-t/RC) \\ \Leftrightarrow \ln(1/(1 - (V_C/V_{AS}))) &= t/RC \\ \Leftrightarrow t &= R \cdot C \cdot \ln(V_{AS}/(V_{AS} - V_C)) \end{aligned}$$

Pour le calcul, il suffit de remplacer  $V_C$  par la valeur désirée à l'instant  $t$  considéré. Ainsi :

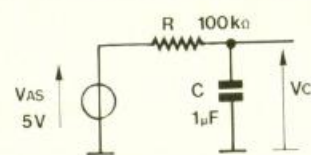
$$\begin{aligned} t_1 &= R \cdot C \cdot \ln(5/(5-2)) = 0,51 \cdot R \cdot C \\ \text{et } t_2 &= R \cdot C \cdot \ln(5/(5-1)) = 0,22 \cdot R \cdot C \\ \text{soit respectivement } &51 \text{ mS et } 22 \text{ mS. On en déduit déjà :} \\ t_3 &= t_1 - t_2 = 29 \text{ mS} \\ \text{ou } t_3 &= 0,29 \cdot R \cdot C \end{aligned}$$

Vérifions le calcul de  $t_3$  par la formule, tenant compte d'une charge initiale de  $C$ , soit :

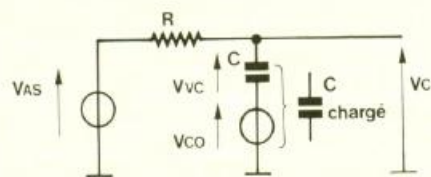
$$\begin{aligned} t &= R \cdot C \cdot \ln((V_{AS} - V_{CO})/(V_{AS} - V_C)) \\ &= R \cdot C \cdot \ln((5 - 1)/(5 - 2)) \end{aligned}$$

soit  $0,29 \cdot R \cdot C$ .

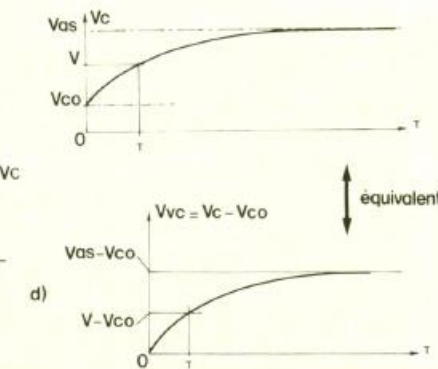
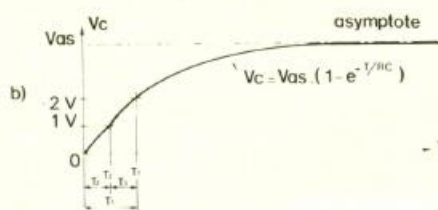
On trouve donc bien le même résultat. Voyons tout de même une autre manière d'envisager ce calcul, pour bien vous familiariser avec ces résultats. On se reporte au schéma de la **figure 1c**, qui est en fait le schéma équivalent du schéma original, et ce à l'instant  $t_2$ . Un considère donc ce nouveau schéma, comme le précédent, avec  $C$  initialement déchargé, donc  $V_C = 0$  V, mais  $V_C$  vaut  $V_{CO}$  à cause de la source de tension en série à  $V_C$ , équivalent à la charge initiale de  $C$  à l'instant  $t_2$ . On se reporte aux deux graphes de la **figure 1d** ; alors il est



a)



c)

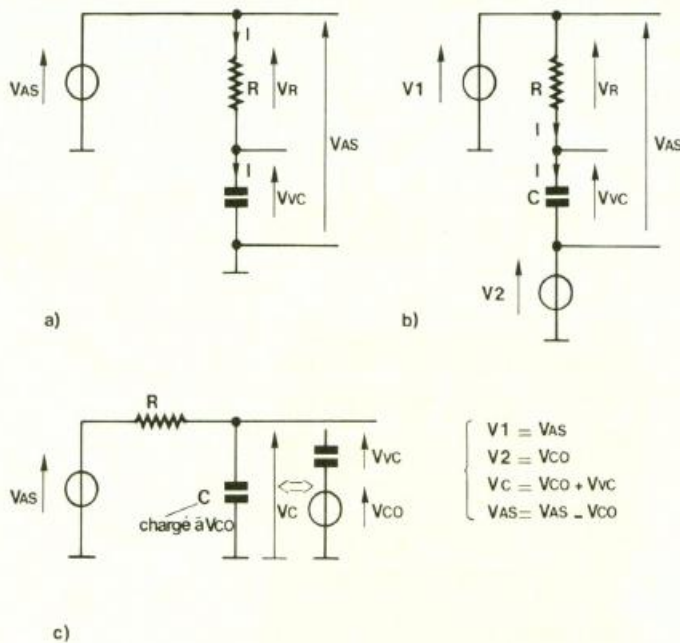


1

Rappels théoriques sur le calcul de charge approfondi.

# 2

Autre méthode de voir le calcul de  $V_{CO}$ .



clair que la tension maximale aux bornes de C soit égale à  $(V_{AS} - V_{CO})$  et que la valeur maximale de  $V_C$  soit :

$$(V_{VC} + V_{CO}) = (V_{AS} - V_{CO} + V_{CO}) = V_{AS}$$

A l'instant  $t$ , la charge de C ne sera plus  $V$  à l'instant donné, mais  $(V - V_{CO})$ . D'où la modification de la formule :

$$\begin{aligned} V_{VC} &= (V_{AS} - V_{CO}) \cdot (1 - e^{-t/RC}) \\ \text{avec } V_{VC} &= V_C - V_{CO} \\ \text{donc } (V_C - V_{CO}) &= (V_{AS} - V_{CO}) \cdot (1 - e^{-t/RC}) \\ \Leftrightarrow ((V_C - V_{CO}) / (V_{AS} - V_{CO})) &= (1 - e^{-t/RC}) \\ \Leftrightarrow e^{-t/RC} &= 1 - ((V_C - V_{CO}) / (V_{AS} - V_{CO})) \\ &= ((V_{AS} - V_{CO}) - (V_C - V_{CO})) / (V_{AS} - V_{CO}) \\ \Leftrightarrow e^{-t/RC} &= (V_{AS} - V_C) / (V_{AS} - V_{CO}) \\ \Leftrightarrow -t &= R \cdot C \cdot \ln((V_{AS} - V_C) / (V_{AS} - V_{CO})) \\ &= -R \cdot C \cdot \ln((V_{AS} - V_{CO}) / (V_{AS} - V_C)) \\ \text{donc } t &= R \cdot C \cdot \ln((V_{AS} - V_{CO}) / (V_{AS} - V_C)), \end{aligned}$$

formule connue maintenant !

## COMPLEMENT (fig. 2)

$V_{CO}$  a dû vous intriguer dans la formule. Il y a aussi une autre méthode de voir ce calcul, et nous allons l'exposer, car il est important de pleinement maîtriser ce genre de calculs.

Prenons le montage initial de la figure 2a. Initialement C est déchargé, donc  $V_{VC} = 0$  V (et R limite le courant dans C qui serait, en théorie, infini sinon !). Le condensateur C se charge par R (courant de charge  $I$ ), avec pour asymptote  $V_{AS}$ . Si C se charge,  $I$  existe, alors  $V_{VC}$  augmente, et  $V_R$

diminue (et également  $I$ , d'où la relation exponentielle). Quand C est chargé,  $I = 0$ , donc  $V_R = 0$  V et donc  $V_{VC} = V_{AS}$ , ceci après un temps relativement long (infini en théorie, en pratique entre  $3RC$  et  $5RC$ ).

Ainsi, un condensateur déchargé est équivalent à un court-circuit (donc  $V_{VC} = 0$  V), un courant le charge ( $V_{VC}$  croît), et s'il est chargé, il est équivalent à un circuit ouvert ( $I = 0$ ) ou à un générateur de tension.

Il est donc clair d'analyser le cas plus général de la figure 2b. Si C est déchargé,  $V_{VC} = 0$  V et  $V_{AS} = V_1 - V_2$ . Alors C se charge exponentiellement de  $V_{VC} = 0$  V à  $V_{AS}$ . En transposant sur la figure 2c, on se place dans le cas d'un condensateur à charge non nulle à l'instant initial de sa

charge (ou décharge), comme précédemment.  $V_C$  est donc égal à  $V_2 + V_{VC}$ , soit  $V_{CO} + V_{VC}$  et  $V_1 = V_{AS}$ . La tension  $V_{VC}$  évoluera de 0 V à  $V_{AS} - V_{CO}$ , et donc  $V_C = V_{CO} + V_{VC}$  évoluera de  $V_{CO}$  à  $V_{AS}$ .

On a donc bien retrouvé les résultats précédents, mais pour différencier les deux approches, celle-ci serait plutôt intuitive (et il est intéressant d'avoir cette vision plus simple au stade de l'initiation. De plus, elle seule permet d'aller au bout du raisonnement rigoureux) alors que celle employée en figure 1 serait plus rigoureuse par son raisonnement mathématique !

## COMPLEMENTS MATHÉMATIQUES

(fig. 3)

Il est utile de rappeler quelques propriétés ou formules utilisées dans nos calculs qui nécessitent la rigueur mathématique. Le tableau de la figure 3 rappelle les plus usuelles. Une remarque à propos de «  $a + b = c + d$  » :

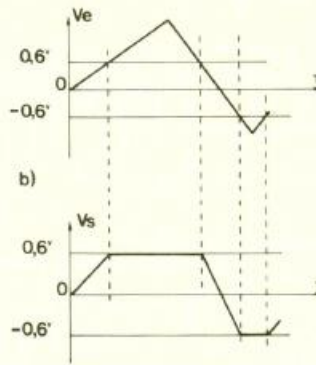
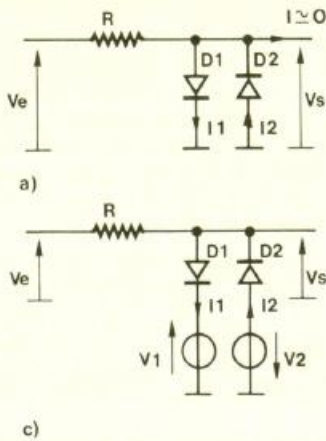
Pour faire passer un terme de l'autre côté d'une égalité (ou du signe « = »), il faut en changer le signe quand les relations qui lient les termes sont des additions ou des soustractions. Ainsi «  $+ d$  » devient «  $- d$  »... Quand les relations sont des multiplications, il faut utiliser la relation inverse, ainsi «  $\cdot a$  » sera remplacé par «  $1/a$  » (ou «  $a^{-1}$  »), et vice-versa.

Si vous utilisez votre calculatrice ou un micro-ordinateur, reportez-vous à sa notice pour connaître l'expression de la fonction expo-

$\ln(a)$ = logarithme népérien de la variable $a$ (ex. $\ln(2) \simeq 0,7$ )
$e^a$ = fonction exponentielle de la variable $a$ (ex. $e^{(2)} \simeq 7,4$ )
$\ln(e^a) = e^{\ln(a)} = a$
$\ln(1/a) = -\ln(a)$
$\ln(a \cdot b) = \ln(a) + \ln(b)$
$e^{-t/RC}$ = fonction exponentielle de la variable $(-t/R \cdot C)$
$a + b = c + d \Leftrightarrow a - d = c - b \Leftrightarrow a = c + d - b$
$a \cdot b = c \cdot d \Leftrightarrow a = (c \cdot d) / b$

# 4

Ce montage a pour but de limiter l'amplitude de la tension de sortie  $V_s$  à des fins de protection.



nentielle (usuellement EXP ; à différencier de  $10^x$ , exposant en base 10, alors que EXP ou  $e^x$  est l'exposant en base e (2,71)) et logarithme népérien ( $\ln$  ou LN ; à différencier de LOG, logarithme décimal).

## ECRETAGE A DIODES (fig. 4)

Le rôle de ce montage est de limiter l'amplitude de la tension de sortie  $V_s$ , pour assurer généralement un rôle de protection. En dehors de cette limitation, la relation est linéaire et  $V_s = V_e$ . Comme les diodes ont un léger courant de fuite, il existera une faible chute de tension aux bornes de R, et  $V_s$  ne sera pas vraiment égal à  $V_e$ . Si cette erreur est gênante, il faudra utiliser des diodes à faible courant de fuite, comme les 1N3595 (appareils de mesure) !

On considère les diodes réelles, donc  $V_D = 0,6$  V, et on en déduit l'équation des mailles, du schéma de la figure 4a, qui lie  $V_s$  et  $V_e$ , soit :

$$V_s = V_e - R \cdot (I + I_1 + I_2)$$

Si  $V_e = 0$  V,  $D_1$  et  $D_2$  sont bloquées,  $I_1 = I_2 = 0$  (elles sont équivalentes à un circuit ouvert).

Donc  $V_s = V_e$ , car  $I = 0$ . Pour que  $D_1$  conduise, il faut  $V_e > V_{D1}$  et si  $D_1$  conduit,  $V_s$  sera limité par la diode en conduction à  $V_{D1} = +0,6$  V. Pour que  $D_2$  conduise, il faut  $V_e < -V_{D2}$ , et si  $D_2$  conduit,  $V_s$  sera égal à  $-V_{D2} = -0,6$  V. L'amplitude de  $V_s$  est donc limitée dans ce cas à  $\pm 0,6$  V. En dehors de ces limites,  $D_1$  et  $D_2$  sont bloquées, et  $V_s = V_e$ . On utilisera, de préférence, ce montage pour des signaux de faible amplitude ( $|V_e| \ll 6$  V). Les chronogrammes de la figure 4b complètent l'analyse et mettent bien en évidence la limitation obtenue.

Mais où est évacué le surplus de tension ? Dans R ! La maille définit  $R = (|V_{e_{max}}| - 0,6 \text{ V}) / I_D$ . Par exemple, si  $V_e$  varie de  $-10$  V à  $+20$  V,  $D_1 = D_2 = 1N4148$  ( $I_{D_{max}} = 60$  mA) ; on choisit  $I_D = 5$  mA, donc  $R = 20 / 0,005 = 4$  k $\Omega$  en théorie, et on prendra une 3,9 k $\Omega$  en pratique (valeur normalisée). Le montage supportera toutefois une surcharge :

$$\begin{aligned} V_e &= 0,6 \text{ V} + (R \cdot I_{D_{max}}) \\ &= 0,6 + (3,9 \text{ k} \cdot 60 \text{ mA}) \\ &= 234,6 \text{ V} \end{aligned}$$

La variante de la figure 4c permet de modifier les valeurs des limites de la tension de sortie.  $D_1$

conduira si  $V_e > V_1 + V_{D1}$  et  $D_2$  pour  $V_e < -V_2 - V_{D2}$ . La tension  $V_s$  sera comprise dans les limites  $-V_2 - V_{D2}$  et  $V_1 + V_{D1}$ , il est donc possible d'obtenir une limitation dissymétrique. Par exemple, si  $V_1 = +5$  V et  $V_2 = 0$  V,  $V_s$  sera limité entre  $-0,6$  V et  $+5,6$  V (cf. fig. 6a). Si  $V_1 = V_2 = 0$  V, on retrouve les résultats précédents, ce qui est bien normal !

## MISE EN ŒUVRE (fig. 5)

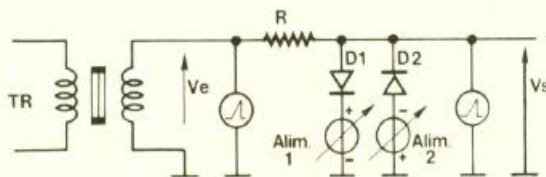
Ouf ! Il tardait de nous mettre à l'ouvrage ! On va donc vérifier le fonctionnement du montage précédent et approfondir nos connaissances théoriques par un relevé pratique et réel. Un transformateur permettra de générer un signal  $V_e$  variable entre deux valeurs positives et négatives. On utilise deux alimentations variables (à masses distinctes !) pour générer  $V_1$  et  $V_2$ . L'oscilloscope permettra de vérifier les chronogrammes théoriques ; placé aux bornes de TR, il mesurera  $V_e$  et, en sortie,  $V_s$ . Les diodes sont des 1N400 x (1A), pour éviter leur destruction en cas de mauvaises manipulations, mais des 1N4148 pourraient convenir !

On fixera les alimentations à 20 V. Le signal  $V_e$  variera entre  $-17$  V et  $+17$  V environ ( $12 \cdot V_2$ ), qu'on mesurera à l'oscilloscope. (Si  $V_e > 18$  V, on fixera les alimentations à 25 V). Dans ce cas, on a toujours  $V_e$  inférieur aux deux limites  $\pm 20,6$  V, donc  $V_s = V_e$ , ce qu'on visualisera aisément par la superposition des traces sur un oscilloscope bicourbe. Si on diminue la tension de l'alim 1, on limitera l'amplitude positive de  $V_s$ , car  $D_1$  conduira ; de même, avec l'alim 2, on limitera l'amplitude négative. Vérifiez les cas alim 1 =  $+5$  V, alim. 2 = 0 V et alim 1 = alim 2 = 0 V...

## APPLICATIONS (fig. 6)

En figure 6a, la première que vous rencontrez sur des entrées de montages utilisant des opérateurs logiques (CMOS...) ou analogiques, alimentés en monotension (0 V/+  $V_{CC}$ ). Le dispositif voit son entrée limitée entre  $-0,6$  V et  $V_{CC} + 0,6$  V environ.

On notera que tous les circuits CMOS actuels présentent un tel réseau de protection équivalent

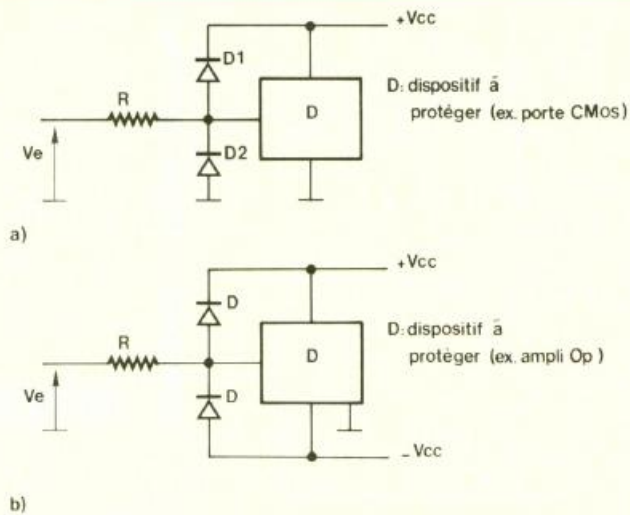


$R = 470 \Omega$  1W  
 $D_1 = D_2 = 1N4001$  à  $1N4007$   
 TR = transformateur 220V/12V  
 Alim. 1, 2 = variable de 0 à 20 V

# 5

Vérification du montage précédent. Les diodes 1N4000 servent de protection.

## 6 Première application sur des entrées de montages utilisant des opérateurs logiques C.MOS alimentés en mono-tension.



en entrée qui les protègent des surtensions, et tout particulièrement celles dues à l'électricité statique. Voici pourquoi on omet parfois le réseau de protection externe, mais il faudra, dans tous les cas, limiter le courant d'entrée de la porte CMOS à une valeur inférieure à 10 mA pour éviter un autre phénomène (« latch-up » = verrouillage à  $V_{DD}$  ou  $V_{SS}$  que seule la coupure de l'alimentation peut interrompre !), et, dans ce cas, seule R subsistera.

En figure 6b, la protection de montages à alimentations doubles (symétriques ou dissymétriques). Dans le cas de l'exemple, la limitation agit à  $\pm |V_{CC} + 0,6 V|$  environ.

Une dernière remarque d'importance : tout dispositif voit son entrée limitée par la valeur de ses tensions d'alimentations. Seuls les circuits spéciaux (interfaçage...) font exception à la règle

et il faudra dans ce cas se reporter à la documentation constructeur ! Il est d'ailleurs conseillé de s'y intéresser, si possible (car il n'est pas aisé de l'obtenir ! N'hésitez pas à demander une photocopie chez votre distributeur habituel), quel que soit le circuit, si ce n'est à titre documentaire ou pour se familiariser avec lui !

### DIODE ZENER (fig. 7)

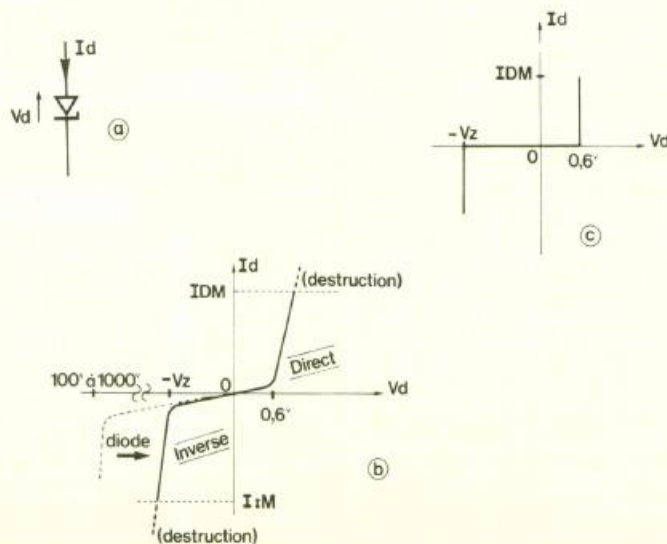
On définit la caractéristique d'un nouvel élément semi-conducteur, la diode zener. Quelle différence avec une diode classique ? Une diode classique est soit bloquée, soit passante, selon sa polarisation (inverse ou directe). En inverse, on est limité uniquement par la tension de claquage qui impose le choix de la diode, tension au-delà de laquelle la diode est détruite. Une zener est une diode dont on a volontairement limité

cette tension de claquage à une valeur beaucoup plus faible. Cette tension s'appelle désormais tension de zener et est notée  $V_z$ . Contrairement à une diode classique, on emploiera la zener principalement en inverse, pour bénéficier de cette tension  $V_z$ , car sa particularité est d'être plus ou moins stable, selon le courant  $I_D$ , comme d'ailleurs la tension en direct. La zener sera donc utilisée en stabilisation de tension. Les valeurs usuelles, normalisées, s'échelonnent de 2,7 V à 75 V (270 V pour les modèles 2,3 W, 3,5 W et 6 W ! – montages spéciaux HT !), avec les plus courantes : 5,1 V, 5,6 V, 6,2 V, 9,1 V, 10 V, 12 V, 15 V, 18 V, 20 V, 24 V, en 0,4 W ou 0,5 W, 1 W et 1,3 W. Les plus stables en température sont celles proches de 5,6 V.

La figure 7a rappelle le symbole et les conventions de fléchage des paramètres  $V_D$  et  $I_D$ . La figure 7b définit la caractéristique réelle  $I_D = f(V_D)$ , comme pour la diode. On évitera de dépasser les courants limites  $I_{DM}$  et  $I_{rM}$ , valeurs définies par  $P/V_D$  ou  $P/V_z$ , respectivement avec  $P$ , puissance de la zener. Ainsi une zener de 5,6 V 1 W acceptera 1,6 A en direct et 180 mA en inverse. On reviendra sur ce type de calcul en figure 9. Si  $I_D$  varie de 1 mA à sa valeur maximale, la variation de  $V_D$  est faible et souvent négligeable. Toutefois si  $I_D < 1$  mA, on peut se trouver dans le coude de la zener (inverse) ou de la diode (direct) et  $V_D$  n'est plus constante. Dans la plupart des cas, pour simplifier l'étude théorique, on assimilera la caractéristique à celle idéalisée de la figure 7c. Parfois même, on considérera la tension en mode direct nulle.

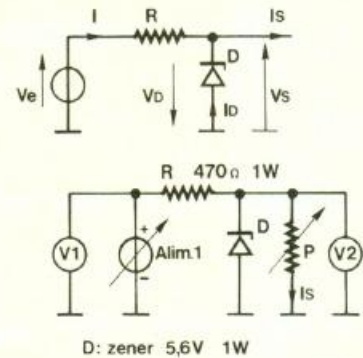
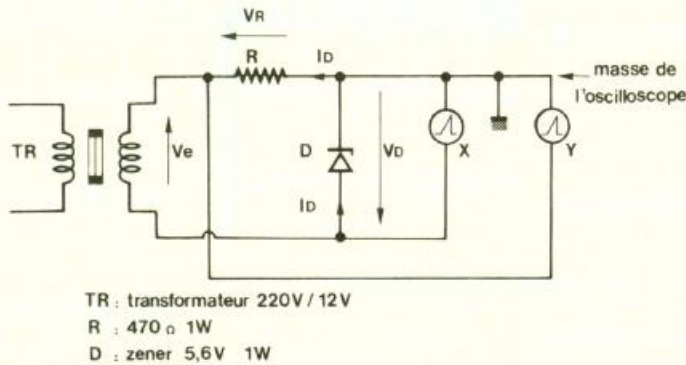
## 7

Contrairement à une diode classique, on emploiera la zener, principalement en inverse, pour bénéficier de cette tension  $V_z$ .



### MISE EN ŒUVRE (fig. 8)

Pour l'instant, le plus intéressant est le relevé de  $I_D = f(V_D)$ . On utilise le schéma de la figure 8, qui pourra d'ailleurs être utilisé comme un traceur de caractéristiques simple, de diodes ou de zeners. Pour visualiser cette caractéristique sur l'oscilloscope, il faut affecter la voie X au signal  $V_D$  et la voie Y au signal  $I_D$ . Pour relever une variation de  $I_D$  et de  $V_D$ , il faut polariser la zener par un générateur de tension variable, en



l'occurrence un transformateur TR ( $V_e$ ) avec une résistance de polarisation R qui limitera  $I_{D_{max}}$  (à environ  $V_e \cdot \sqrt{2}/R$ , 36 mA pour l'exemple). La tension de zener étant la plus élevée, il faut que  $V_e$  maximum (crête) soit supérieur à  $V_z$ . Pas de problèmes dans cette manipulation. Si vous utilisez ce montage comme traceur universel, il faut que  $V_e \cdot \sqrt{2}$  soit supérieur à la tension  $V_z$  de la zener la plus élevée en votre possession. Pour mesurer  $I_D$ , on mesure en fait  $V_R$ , tension aux bornes de R, qui, après division par la valeur de R, donnera la valeur de I (autre possibilité : retoucher les calibres variables de voies de l'oscilloscope pour obtenir une lecture directe du courant !). Attention, la particularité du montage réside en la connexion de la masse de l'oscilloscope au point commun R et D, pour obtenir une mesure correcte de  $V_D$  et de  $I_D$ . Alors, attention si votre transformateur a une borne reliée à la masse !

**EMPLOI PRÉFÉRENTIEL DE LA ZENER (fig. 9)**

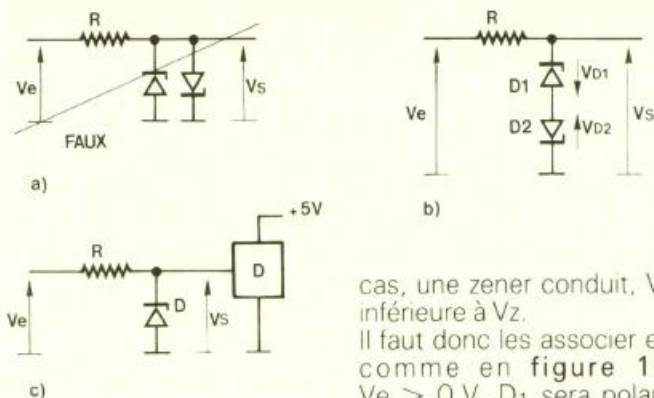
Quel emploi réserve-t-on à une zener ? La régulation en tension ! En effet, pour des variations faibles de  $I_D$ , la tension  $V_z$  reste relativement stable. Il en était de même pour la diode, mais la tension était fixée par le semi-conducteur à environ 0,6 V. Dans les applications de la revue, on considérera que cette tension constante est égale à  $V_z$ . Pour exploiter  $V_z$ , il faut polariser la diode zener en inverse. Si  $V_e > 0$  V, la diode est donc polarisée en inverse, à sa tension de zener si  $V_e > V_z$ , alors  $V_s = -V_D = V_z$ . Si la tension  $V_e$  n'est pas constante, mais reste supérieure à  $V_z$ , alors  $V_s$  reste constante grâce à la zener. En revanche, si

$V_e < V_z$ , alors la zener est bloquée (même en inverse !) et  $V_s = V_e$ . Pour la polariser correctement, il suffit de savoir définir R. On considère la régulation en tension correcte, et donc  $V_z$  stable et, par là même,  $V_s$  si  $I_s$ , courant exploité par la charge en sortie, est très inférieur à  $I_D$ . On considère en pratique  $I_s$  inférieur à  $(I_D/10)$ . Si tel est le cas, alors on peut négliger  $I_s$ . Sinon, la stabilité de la tension  $V_s$  sera mauvaise et il faudra se tourner vers un autre montage, qu'on découvrira prochainement.  $V_e$  est supérieur à  $V_z$ , la zener sera toujours polarisée en inverse ; elle acceptera donc un courant  $I_D$  maximum égal à  $P/V_z$ , avec P = puissance de la zener et  $V_z$  = tension de zener (valeur normalisée). Les zeners courantes ont une puissance de 0,4 W, 1 W ou 1,3 W. Le calcul de R nécessite un double calcul pour définir la fourchette dans laquelle on va choisir R. Ainsi,  $R_{min} = (V_e - V_z)/I_{D_{max}}$ . La valeur maximale de R,  $R_{max} = (V_e - V_z)/I_{D_{min}}$ , avec  $I_{D_{min}}$  défini par  $I_D > (10 \cdot I_s)$ , soit  $R_{max} = (V_e - V_z)/(10 \cdot I_s)$ . Si  $V_e$  varie, il faudra tenir compte de sa valeur minimale, soit  $V_{e_{min}}$ , qui doit être supérieure à  $V_z$ . La puissance de R sera définie par le carré de la tension à ses bornes, divisé par la valeur normalisée de R, soit  $P_R = (V_e - V_z)^2/R$  (avec  $V_e$ , valeur maximale si elle n'est pas constante). Par exemple, si  $V_e = 25$  V, D = zener 10 V 0,4 W et  $I_s = 2$  mA ; alors,  $I_{D_{max}} = 0,4/10 = 40$  mA et  $R_{min} = (25 - 10)/0,04 = 375 \Omega$ ,  $R_{max} = (25 - 10)/(20 \cdot 0,002) = 750 \Omega$ . On pourra choisir  $R = 680 \Omega$  pour limiter le courant  $I_D$  inutile. Sa puissance sera de  $(25 - 10)^2/680 = 0,33$  W. Une 1/2 W conviendra, mais la marge est faible, alors déjà plutôt une résistance de 1 W. Mais si  $V_e$  va

de 16 V à 30 V, alors  $R_{min} = (16 - 10)/0,04 = 150 \Omega$ ,  $R_{max} = (16 - 10)/0,02 = 300 \Omega$ , on choisira par exemple  $270 \Omega$ , alors  $P_R = (30 - 10)^2/270 = 1,5$  W, soit une résistance de 2 W. On remarque que les résistances de puissance sont à nouveau à l'honneur, mais plus pour longtemps !... Autre exemple : D = 5,6 V 1 W, R = 470 Ω 1 W ; quel sera alors  $V_{e_{max}}$  ? Quel sera le courant  $I_{s_{max}}$  disponible ? Le courant maximal dans R vaut :  $I_R = \sqrt{P/R} = \sqrt{(1/470)} = 46$  mA et  $V_{e_{max}} = V_z + \sqrt{(P \cdot R)} = 5,6 + \sqrt{(1 \cdot 470)} = 27,2$  V environ. Le courant  $I_{s_{max}}$  doit être inférieur à 1/10 de  $I_D$ , donc  $I_R/11 = 4,2$  mA environ. Ces caractéristiques sont intéressantes, car on passe à la mise en œuvre de ce montage en figure 9b, en conservant les mêmes valeurs. On sait maintenant que l'alim 1 pourra varier de 0 V à 25 V, sans détruire R ou D.  $V_1$  permettra la mesure précise de l'alim 1 et  $V_2$  la tension de sortie. En faisant varier P (boîte à décades ou potentiomètre 10 kΩ - log -), on varie  $I_s$ . On vérifiera que la tension est presque stable et égale environ à  $V_z$ , en faisant varier l'alim 1 de 5,6 V à 25 V. De même, vous pourrez constater la stabilité de  $V_s$ , selon la valeur de  $I_s$  et de P. La valeur de  $I_s$  sera déduite en faisant  $V_s/R$  ou plus simplement en insérant un ampèremètre en série avec P. Il est possible de faire un relevé précis point par point et de tracer les courbes  $V_s = f(V_e)$  avec P = infini et  $V_s = f(P, I_s)$ , qui vous permettront d'évaluer les qualités de la régulation en tension. On l'exprime en pourcentage, soit  $\Delta V_s / \Delta V_e \cdot 100$  (%). Plus la valeur est faible, meilleure est la régulation ! Vous verrez chuter  $V_s$  sous 5,6 V pour  $I_s > 4$  mA environ. Il vous

# 10

La zener permet de s'affranchir des deux tensions  $V_1$  et  $V_2$ , mais l'association est différente.



sera aisé de modifier ce montage pour d'autres éléments D, R ou alim 1, d'après l'analyse théorique.

## ECRETEUR A ZENERS (fig. 10)

C'est une variante du montage de la figure 4c. La zener permet de s'affranchir des deux tensions  $V_1$  et  $V_2$ . Mais, attention, l'association est différente ! Non pas en parallèle comme en figure 10a, car  $V_s$  sera limitée à  $\pm 0,6$  V, tension directe des zeners. En effet, dans chacun des

cas, une zener conduit,  $V_D$  étant inférieure à  $V_z$ . Il faut donc les associer en série, comme en figure 10b. Si  $V_e > 0$  V,  $D_1$  sera polarisée en inverse et  $D_2$  en direct. Le seuil et tension d'écrêtage de  $V_s$  sera donc  $V_{z1} + V_{D2}$ . Si  $V_e < 0$  V,  $D_1$  est en inverse,  $D_2$  en direct et  $V_s$  est limité, en valeur négative, à  $-V_{D1} - V_{z2}$ . Il suffira de choisir correctement les diodes zeners dans l'application envisagée ! Ainsi, si on désire limiter  $V_s$  dans la fourchette  $-6,2$  V /  $+12,6$  V, on choisira  $D_1$ , zener de 12 V et  $D_2$  zener de 5,6 V. On calculera R selon l'amplitude de  $V_e$  et le courant maximal dans les zeners, déduit de la puissance de ces zeners (cf. calculs précédents). En figure 10c, on a une variante ! Si on veut se limiter à  $-0,6$  V /

+ 5,6 V, on en déduit  $D_1$  zener 5,6 V mais avec une tension directe de 0 V. Or, dans ce cas, une seule zener suffit. Elle limitera  $V_s$  par sa caractéristique, donc  $-0,6$  V et  $V_z$ , soit D zener de 5,6 V. Ce montage conviendra aussi bien que celui de la figure 6a pour une alimentation de 5 V. Si  $V_{CC} = 12$  V, on choisira une zener de 12 V, et quel que soit  $V_{CC}$ , une valeur  $V_z$  proche de  $V_{CC}$  conviendra, et ce pour une alimentation monotension uniquement ! Pour le calcul de R, on se ramène à une simple régulation zener, comme en figure 9. Nous voici à la fin de ce quatrième volet. N'hésitez pas à écrire à la revue pour faire part de vos problèmes, quitte à compléter un chapitre qui aurait pu me sembler suffisamment clair ou qui vous apporte d'autres problèmes que ceux mentionnés. Dans le prochain volet, nous décortiquerons les portes logiques à diodes, les circuits intégrateurs et différentiateurs (à réseau RC, RCD), et compléterons l'analyse par de nombreux exercices.

P. WALLERICH

## CATALOGUE CDA 1989

La société CDA, « Construction d'Appareillage », s'affirme comme l'un des tout premiers constructeurs français d'appareils de mesures électriques et électroniques. L'artisan, l'industriel et l'enseignant trouveront dans le catalogue CDA 89 les produits adaptés à leurs besoins. La sortie du Man'x Top peut être qualifiée de révolutionnaire : c'est le seul multimètre numérique et analogique antichoc du marché pour un prix extrêmement compétitif.

Les autres innovations au catalogue CDA 89 :

- Pour la prestigieuse série Man'x (8 modèles)
  - Le Man'x 04B, boîtier résistant aux hydrocarbures et cadran photoluminescent.
  - Le Man'x 102, la version économique pour tous.
- Pour la gamme laboratoire-enseignement
  - Le générateur CDA 9020, de 0,2 Hz à 2 MHz.
  - Les Manip A et V, ampèremètre et voltmètre en boîtier Man'x.



- Pour les pinces ampèremétriques (plus de 20 modèles)
  - La série D, 9 modèles jusqu'à 1 000 A, 2 000 A et 3 000 A, sortie 1A ou 5A, mono ou tri-calibres.
- CDA propose aussi :
  - Des contrôleurs spécialisés (mégohmmètre, résistance de terre...).

- Le système Canam (mesure de bruit, éclairage, humidité, température...).
  - Des boîtes de résistance, alimentations stabilisées, oscilloscope, stroboscope-tachymètre...
  - De nombreux accessoires pour extension de mesure.
- CDA, 5, rue du square Carpeaux, 75018 Paris. Tél. : (1) 46.27.52.50.

# LA PAGE COURRIER

## Petites Annonces

### COMMENT DEVENIR RADIO AMATEUR

Grâce à une méthode étonnante. Doc. sur demande à : **Philippe GEORGES EDITIONS BP 176 - LES ROLES 21205 BEAUNE**

### RECHERCHE ELECTRONICIEN avec BTS ou équivalent.

Envoyer C.V. ou téléphoner au **38.67.09.78**

Société **CASADEI**

96, avenue de la République 45000 GIEN

### BREVETEZ VOUS-MÊME VOS INVENTIONS

Grâce à notre Guide complet, vos idées nouvelles peuvent vous rapporter gros, mais pour cela il faut les breveter. Demandez la notice 78 « Comment faire breveter ses inventions » contre 2 timbres à :

**ROPA**

BP 41 - 62101 CALAIS

### NOUVEAUX COFFRETS PLASTIQUES 1073

TRANSPARENTS FLUO

Blanc - Gris - Noir - 100 x 70 x 30.

Détailants, contactez :

**DIPTAL**

01410 CHEZERY

Tél. : 50.56.94.97

Fax : 50.56.95.17

### A VENDRE FONDS DE COMMERCE DE COMPOSANTS ELECTRONIQUES

(HP - CB - KIT - LIBRAIRIE - OUTILLAGE - MESURE...)

● Installé depuis 6 ans ● Région Centre ● Ville de 70 000 habitants ● Bail : reste 5 ans ● Prix du fonds : 450 000 F + stock éventuel **POUR TOUTS RENSEIGNEMENTS : 54.22.46.92**

### IMPRELEC

B.P. 5 - 74550 PERRIGNIER

Tél. : 50.72.46.26

Réalise vos C.I. (étamés, percés) sur V.E. : 30 F/dm<sup>2</sup> en S.F.

40 F/dm<sup>2</sup> en D.F., métallisation par ceilllets. Délais rapides. Qualité professionnelle. Chèque à la commande + 12 F de frais de port.

Appareils de mesures électroniques d'occasion. Achat et vente.

### HFC AUDIOVISUEL

Tour de l'Europe - 68100 MULHOUSE

Tél. : 89.45.52.11

Le service du Courrier des Lecteurs d'Electronique Pratique est ouvert à tous et est entièrement gratuit. Les questions d'« intérêt commun » feront l'objet d'une réponse par l'intermédiaire de la revue. Il sera répondu aux autres questions par des réponses directes et personnelles dans les limites du temps qui nous est imparti.

**COLLABORATION DES LECTEURS** - Tous les lecteurs ont la possibilité de collaborer à « Electronique Pratique ». Il suffit pour cela de nous faire parvenir la description technique et surtout pratique d'un montage personnel ou bien de nous communiquer les résultats de l'amélioration que vous avez apportée à un montage déjà publié par nos soins (fournir schéma de principe et réalisation pratique dessinés au crayon à main levée). Les articles publiés seront rétribués au tarif en vigueur de la revue.

**PETITES ANNONCES** - 38 F la ligne de 33 lettres, signes ou espaces, taxes comprises - Supplément de 38 F pour domiciliation à la Revue - 48 F pour encadrement de l'annonce.

Toutes les annonces doivent parvenir avant le 5 de chaque mois à la Société AUXILIAIRE DE PUBLICITE (Sce EL Pratique), 70, rue Compans, 75019 Paris C.C.P. Paris 3793-60. Prière de joindre le montant en chèque C.P. ou mandat poste.

## TRANSMISSION AUDIO

### Numéro 121, page 83

Dans la liste des composants il manquait les valeurs suivantes :

R16 - R17 = 1 MΩ (marron, noir, vert)

R18 - R19 = 100 kΩ (marron, noir, jaune)

R20 = 470 Ω (jaune, violet, marron)

R21 = 1,8 kΩ (marron, gris, rouge)

## INITIATION (2<sup>e</sup> partie)

### Numéro 122, page 123

Sur les exercices de la figure 11, en b, C est placé en parallèle à Vs et non en série, de plus la référence C manque.

## ALIMENTATION STABILISÉE

### LABO 14

### Numéro 123, page 88

L'alimentation stabilisée en question fait appel à deux circuits intégrés. Sur le schéma de principe de la figure 1 le circuit intégré Cl<sub>1</sub> LM117 convient tout comme un LM317 mais en revanche pour Cl<sub>2</sub> mentionné LM317, il s'agit d'une erreur. Il fallait lire LM337 sur le schéma et dans la liste des composants.

## COMPTE-TOURS A RAMPE DE LED

### Numéro 123, page 100

Sur le schéma de principe de la figure 1, deux erreurs apparaissent au niveau des diodes D<sub>6</sub> et D<sub>7</sub>. La diode D<sub>6</sub> a été placée à l'envers tandis que la diode D<sub>7</sub> doit se situer l'anode à la masse et la cathode à la base de T<sub>2</sub>. L'implantation et le tracé du circuit imprimé sont bons.

Photocomposition :

ALGAPRINT - 75020 PARIS

Distribution :

S.A.E.M. TRANSPORT PRESSE

Le Directeur de la publication :

M. SCHOCK

DEPOT LEGAL

MARS 1989

N° D'EDITEUR 1114

Copyright © 1989

Société des PUBLICATIONS

RADIOELECTRIQUES et SCIENTIFIQUES



La reproduction et l'utilisation même partielles de tout article (communications techniques ou documentation) extrait de la revue « Electronique Pratique » sont rigoureusement interdites ainsi que tout procédé de reproduction mécanique, graphique, chimique, optique, photographique, cinématographique ou électronique, photostat tirage, photographie, microfilm, etc.

Toute demande à autorisation pour reproduction, quel que soit le procédé, doit être adressée à la Société des Publications Radio Electriques et Scientifiques.

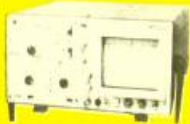
Direction de la Publication : M. SCHOCK. - Imprimeur : LA HAYE-MUREAUX Commission paritaire 60165.

## Répertoire des Annonceurs

ABONNEMENT .....	34
ACER .... 3, 94, 110, 130 + II <sup>e</sup> et III <sup>e</sup> couv.	
AG ELECTRONIQUE .....	5
ARQUIE COMPOSANTS .....	121
BLANC MECA ELECTRONIQUE .....	111
C.D.A. ....	114
CENTRE ETUDES .....	124
CENTRAD .....	64
CIBOTRONIC .....	35
CIF .....	19
COMTELEC .....	124
COMPTOIR DU LANGUEDOC .....	31
CRELEC .....	104
CYCLADES (LES) .....	37
DECOCK ELECTRONIQUE .....	83
DEPOT ELECTRONIQUE (LE) (RETEX) . 7, 124	
DIFECO .....	7
DISTRIMESURE .....	123
EDITIONS WEKA (Pour une moitié, un encart 4 et 6 pages au centre de la revue.)	
EDUCATEL (UNIECO) .....	8, 9
ELECTROME .....	127
ELC (Centrad) .....	64
ELECTROKIT (Starkit) .....	33
EPE .....	30
ETSF .....	82
EURELEC .....	24
FRANÇAISE D'INSTRUMENTATION .....	7
FRANCLAIR ELECTRONIQUE (Teko) ..	38
GODEFROY (EDITIONS) .....	16, 122
IPIG .....	26
KARL LEISTER .....	30
KN ELECTRONIQUE .....	128
LDTM (Electrokit) (Starkit) .....	33
LEXTRONIC .....	6
MANUDAX .....	98
MATEK .....	126
MATILEC .....	104
MESURELEC .....	17
MILLE ET UNE PILES (1001 piles) .....	22
MMP .....	22
PENTASONIC .....	25, 27, 28, 29, 104
PERLOR RADIO .....	4
PRAGMA SCANNER'S .....	125
PRES (Electronique Pratique) .....	124
RAM .....	10, 11
RADIO MJ .....	22, 23
RADIO TUBES .....	126
ROCHE .....	36
SAFICO .....	111
SAINT QUENTIN RADIO .....	20-21
STARKIT .....	33
SELECTRONIC .....	30-108
SLOWING .....	18
S.N. GENERATION VPC .....	32
SOLISELEC .....	13, 14, 15
SNRP (SOCIETE NOUVELLE RADIO PRIM) .....	12
SVE ELECTRONIC .....	123
TECNI TRONIC .....	123
TSM (TELE S <sup>1</sup> MARC) .....	39, 40, 41
TERAL .....	IV <sup>e</sup> de couv.
TOLERIE PLASTIQUE (LA) .....	65
UNIECO (EDUCATEL) .....	8, 9
YAKECEM .....	5

NOUVEAU

UNAOHM



G 4020. 2 x 20 MHz. Ligne à retard.  
Testeur de composant.  
Recherche automatique  
de la trace. Avec 2 sondes ... **3730F**

# Composants TERAL

HEURES D'OUVERTURE : le lundi de 13 h 30 à 19 h.  
du mardi au samedi de 9 h 30 à 19 h SANS INTERRUPTION

26

RUE TRAVERSIÈRE  
PARIS 12°  
TÉL. : 43.07.87.74 +  
MÉTRO : GARE DE LYON

Beckman



9020  
Double trace 2 x 20 MHz. Ligne à retard.  
Testeur de composants.  
Chercheur de trace.  
Livré avec 2 sondes combinées **3890 F**

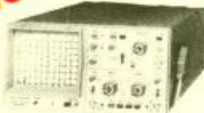
## COMPOSANTS - MESURES - LAMPES - SUPPORTS CI TULIPES - CONTACTS DORES A DES PRIX TERAL

### FLUKE PROMOTION

DM 73 ..... **839 F**  
DM 77 avec housse anti-choc ..... **1499 F**

### OSCILLOSCOPES

**HAMEG**



**NOUVEAU**  
HM 203/6  
Double trace 2 x 20 MHz 2mV à 20 V, add. sous, déclench.  
AG-DC-HF-BF. Testeur de composants.  
Livrés avec 2 sondes combinées ..... **3830 F**

HM 100/5  
3 x 100 MHz avec 2 sondes ..... **8780 F**

**NOUVEAU**  
HM 205-2  
Double trace 2 x 20 MHz. Testeur de composants.  
Mémoire numérique 2 x 1 K. Chercheur de trace.  
Livrés avec 2 sondes combinées ..... **6580 F**

HM 604. 2 x 60 MHz avec expansion Y X 5. Post.  
accélééré 14 KV avec 2 sondes combinées ..... **6760 F**

HM 8001. Appareil de base avec alimentation  
permettant l'emploi de 2 modules ..... **1550 F**

HM 8021-2. Fréquence-mètre  
10 Hz à 1 MHz Digital ..... **2478 F**

HM 8032. Générateur sinusoïdal  
20 Hz à 20 MHz. Affichage de la fréquence ..... **1850 F**

HM 8035. Générateur d'impulsions  
2 Hz à 30 MHz ..... **PROMOTION 2355 F**

### UNAOHM

G 4030  
Double base de temps. Double trace.  
2 x 20 MHz. Bases de temps  
réglables. Testeur composant  
chercheur de trace  
avec 2 sondes. **4680F**



UNAOHM MESUREUR DE CHAMP  
PANORAMIQUE

MCP 9001. Fréquence  
47 MHz à 860 MHz ..... **19500F**

Sur commande : AFFICHAGE DIGITAL de la fréquence sur 4 chiffres - Bande FM - Résolution 10 kHz - Son stéréo BISTANDARD L et BG

### CHAUVIN ARNOUX

« SPECIAL ENSEIGNEMENT »

Campus est conçu pour supporter le survoltage et les étincelles dues aux fausses manœuvres. Simple et robuste, il résiste aux chocs ..... **494F TTC**



Accessoires mesure. Pince de test.  
Adaptateur. Cordons. Pointe de touche.  
**Demandez notre tarif**

Fers  
Antex CS 17 LD ..... **125 F** | JBC 15 W LD ..... **135 F**  
Antex XS 25 LD ..... **125 F** | JBC 30 ..... **124 F**  
Panne LD à partir de ..... **27 F** | JBC 40 ..... **124 F**

Fer à souder rechargeable Express ..... **379 F**

**TERAL LE SPECIALISTE DES COMPOSANTS ET DE LA MESURE. UNE VISITE S'IMPOSE A VOUS DE JUGER**

### MULTIMETRES

Beckman

DM 10 - Modèle de poche ..... **340 F**  
DM 15 B - AD/DC - 10 A - Bip ..... **440 F**  
DM 20 L - Gain trans. Bip ..... **497 F**  
DM 23 - Précision 0,5 % HFE ..... **587 F**  
DM 25 L - Test trans. et Capa ..... **680 F**  
DM 71 ..... **399 F**  
DM 73 - Gamme Auto-Mini ..... **490 F**  
DM 77 - Gamme Auto-Hold ..... **610 F**  
DM 850 ..... **1650 F**  
T 100 B - 2000 points - Bip ..... **850 F**  
T 110 B - 2000 points - Hold ..... **995 F**  
DM 78 - Multi de poche. Avec étui ..... **249 F**

EDM 1122 - Multimètre digital. Très grand display. 11 fonctions. Test de continuité sonore. Fréquence-mètre. Test capacité. Test diode ..... **649 F**

### METRIX MULTIMETRES

• MX 112 A ..... **620 F**  
• MX 512 ..... **940 F**  
• MX 562. 2000 points 3 1/2 digits. Précision 0,2 %. 6 fonctions. 25 calibres ..... **1290 F**  
• MX 563 ..... **2590 F**  
• MX 575. 20 000 points. 21 calibres. 2 gammes. Compte de fréquence ..... **3190 F**  
• MX 573. Multimètre digital analogique ..... **2950 F**  
• MX 453. 20 000 Ω/V CC. VC : 3 à 750 V.I.C : 30 mA à 15 A IA : 30 mA à 15 A. Ω : 0 à 15 kΩ ..... **840 F**  
• MX 202 C. T. DC 50 mV à 1000 V.T. AC 15 à 1000 V. Int. DC 25 μA à 5 A. AC 50 mA à 5 A. Résist. 10 Ω à 12 MΩ. Décibel 0 à 55 dB. 40 000 Ω/V ..... **1090 F**  
• MX 462 G. 20 000 Ω/V CC/AC. 1,5 VC : 1,5 à 1000 V. VA : 3 à 1000 V. IC : 100 μA à 5 A. IA : 1 mA à 5 A. 5 Ω à 10 MΩA ..... **880 F**  
• MX 111. Analogique. 42 gammes. 20 000 Ω/VCC. 6320 Ω/VCA. 1600 V/CC-CA ..... **550 F**

### FREQUENCEMETRES

UC 10. 5 Hz à 100 MHz. Compte. Intervalles. Périodes. 8 afficheurs ..... **3070 F**

Beckman

### CENTRAD

346 - 1 Hz 600 MHz ..... **1880 F**  
MC 713 - Mesureur de champ ..... **3499 F**

### GENERATEURS DE FONCTIONS

FG2. 7 gammes. Sinus carrés triangles. Entrée VCF-OFFSET Beckman ..... **1978 F**  
AG 1000. Générateur BF. 10 Hz à 1 MHz. 5 calibres. Faible dist. imp. 800 Ω ..... **1270 F**  
SG 1000. Générateur HF. 100 kHz à 150 MHz. 6 calibres. Précis 1,5 %. Sortie 100 mV Monacor ..... **1200 F**  
368. Générateur de fonction. 1 Hz à 200 kHz. Signaux carré sinus triangle Centrad ..... **1420 F**

### ALIMENTATIONS

AL 784 ..... **350F**  
AL 785 ..... **450F**  
AL 745 AX ..... **650F**  
AL 812 ..... **690F**  
AL 813 ..... **750F**  
AL 781 N ..... **1845F**

ELC

PROMOTION DU MOIS ALIMENTATION **13,8 V - 5 A**  
PRIX TERAL **450 F**  
ALIM - ELC

**CATALOGUES ET DOCUMENTATION SUR TOUTES LA MESURE - KITS - ILP COMPOSANTS - FICHES - CABLES A DES PRIX FOUS**

### MONACOR

### NOUVEAUTES

DMT 1000 A. Multimètres digital automatique. Grand affichage. 19 mm. Avec mémoire. Clavier avec touches sensibles. 20 A. **498 F**

DMT 7000. Multimètre digital. Grand affichage. 19 mm. Test Capacité. Fréquence-mètre. 20 Hz à 200 kHz. Test diode. Test transistor. 20 A. **597 F**

PROMO ..... **597 F**

### ANTENNES EXTERIEURES U.H.F - V.H.F. AMPLI ANTENNE EXTERIEUR, INTERIEUR

### ANTENNE INTERIEURE AMPLIFIÉE

Forme satellite, 30 dB ..... **380 F**

### Modules, adaptation video

UNI - 1 A. Module d'adaptation SECAM sur un magnéscope VHS/PAL. Le module ..... **350 F**  
Pour autre adaptation, nous consulter.

### CIRCUITS TTL PROMO

Régulateurs ..... **3,90 F**  
74 LS 00 ..... **1,20 F** | 74 LS 138 ..... **2,40 F**  
74 LS 02 ..... **1,10 F** | 74 LS 139 ..... **2,40 F**  
74 LS 05 ..... **1,30 F** | 74 LS 157 ..... **2,20 F**  
74 LS 42 ..... **1,30 F** | 74 LS 244 ..... **4,20 F**

### SUPPORTS TULIPE

8 B - 14 B - 16 B - 18 B - 20 B - 24 B - 28 B - 40 B.  
La broche ..... **0,20 F**

### RELAIS TYPE EUROPÉEN

6 V - 2 RT ..... **43 F** | 12 V - 2 RT ..... **33 F**  
Support relais 2 RT ..... **7,80 F**

### LIGNE RETARD

470 - NS ..... **25 F** | Quartz 6-5536 ..... **12 F**

### PERCEUSES MAXICRAFT

Perceuse 42 W avec 9 outils ..... **99F**  
Perceuse 42 W avec 15 outils ..... **176F**  
Perceuse 50 W ..... **190F**  
Alimentation pour perceuse ..... **135F**  
Support perceuse ..... **85F**  
Forets, meules, polissoirs ..... disponibles

### MICRO-PROCESSEUR

MC 1488 ..... **9,50** | MM 53200 ..... **47,00**  
MC 1489 ..... **9,50**  
MC 6809 E ..... **63,00**  
MC 68 A 02 ..... **45,00**  
MC 68 A 21 ..... **25,00**  
MM 4164 ..... **17,00**  
MM 2732 ..... **37,00**  
MM 2716 ..... **35,00**  
MM 2764 ..... **35,00**  
SPO 256 ALL ..... **135,00**  
MM 53200 ..... **47,00**  
68705 P3 ..... **120,00**  
6802 ..... **38,00**  
6821 ..... **14,00**  
MM 2732 ..... **37,00**  
MM 2114 ..... **19,00**  
MM 4116 ..... **24,00**  
TDA 2822 ..... **14,00**

### DEPARTEMENT UNIQUE EN TRANSFORMATEUR

5 VA, 1 second ..... **36,00** | 5 VA, 2 second ..... **39,00**  
12 VA, 1 second ..... **46,00** | 12 VA, 2 second ..... **49,00**  
25 VA, 1 second ..... **66,50** | 25 VA, 2 second ..... **69,00**  
40 VA, 1 second ..... **89,00** | 40 VA, 2 second ..... **93,00**  
60 VA, 1 second ..... **98,00** | 60 VA, 2 second ..... **103,00**

### LABOTEC

Pour faire vos circuits imprimés, TERAL s'est équipé de la célèbre machine LABOTEC. Elle est à votre service pour les réaliser vous mêmes au moind coût. Tout le matériel nécessaire est, comme d'habitude, disponible chez TERAL.

Résistance 1/2 W, valeur courante  
Prix uniquement par quantité  
Panachés : **7,50 F** les 100 - Panachés : **32,50 F** les 500  
Panachés : **55 F** les 1000

### COMPOSANTS

### TRIMMER MULTITOURS

AJUSTABLES (25 T)  
100 Ω - 200 Ω - 500 Ω - 1 kΩ - 2 kΩ - 5 kΩ - 10 kΩ - 50 kΩ  
100 kΩ - 200 kΩ - 500 kΩ ..... **9,70 F**

### CONDENSATEURS MKH

De 1 nF à 0,1 μF ..... **1,20 F** pièce  
De 0,15 μF à 0,22 μF ..... **1,90 F** pièce  
De 0,27 μF à 0,39 μF ..... **2,15 F** pièce  
De 0,47 μF à 0,68 μF ..... **3,20 F** pièce

### CANON A SOUDER

9 Br mâle ..... **3,95 F** | 25 Br mâle ..... **6,10 F**  
9 Br fem ..... **4,20 F** | 25 Br fem ..... **7,10 F**  
Capot 9 B ..... **3,50 F** | Capot 25 B ..... **4,50 F**  
15 Br mâle ..... **5,30 F** | 37 Br mâle ..... **22 F**  
15 Br fem ..... **6,00 F** | 37 Br fem ..... **24 F**  
Capot 15 B ..... **4,00 F** | Capot ..... **16 F**

### COFFRETS

ESM ..... **84 F** | P1 ..... **15 F** | P2 ..... **22 F**  
EB 2108 FA ..... **130 F** | P3 ..... **35 F** | P4 ..... **52 F**  
ET 3211 ..... **196 F** | AUS 12 ..... **76 F**  
ER 4804 ..... **248 F** | AUS 22 ..... **87 F**  
ER 4809 ..... **337 F** | CABO22 ..... **62 F**

Remise valable jusqu'au 30 novembre  
**TOUS LES MODELES DISPONIBLES**  
DOC ET TARIF SUR DEMANDE



CIRCUITS PREAMPLIFICATEURS - AMPLIS HYBRIDES ET MOS DE PUISSANCE - ALIMENTATION TORIQUES - TRANSFORMATEURS TORIQUES

### FICHES

DINS - JACKS - CANNON - FICHES BANANES - FICHES ALIM. - ETC.

### OK KIT

PL 66 alim. digitale  
PL 82 freq. 50 MHz  
OK 86. freq. 1 MHz  
PL 61 cap. digit.  
PL 56 Volt. digit.  
OK 123 Géné BF  
PL 44 Base de temps

### SAFICO

LOUTILLAGE POUR L'ETUDIANT ET LE PRO  
**CIF**

### PROMO NC

TOUTE LA GAMME DU N° 1 FRANÇAIS  
**JELT**  
POUR PROTEGER VOS MONTAGES ELECTRONIQUES ET LES ENTRETIEN.

### MECANORMA

**NOUS SOMMES DISTRIBUTEURS DES KITS TSM**



**TOUS LES COMPOSANTS DES «KITS COLLEGES» SONT DISPONIBLES SEPAREMENT. LISTE ET PRIX SUR DEMANDE**